

**APÉNDICE A. RESULTADOS DEL ANÁLISIS MEDIANTE EQUILIBRIO
LÍMITE DE TALUDES SOMETIDOS A PRESIONES EN
SU SUPERFICIE**

A.1 GRÁFICOS PARA LA OBTENCIÓN DEL VALOR DE LA PRESIÓN SOBRE UN TALUD PARA GARANTIZAR UN CIERTO COEFICIENTE DE SEGURIDAD. CASO DE TALUD INDEFINIDO

Se presentan los gráficos que proporcionan los valores de la presión necesaria para un cierto coeficiente de seguridad, en función de la cohesión, el ángulo de rozamiento interno, la inclinación del talud y las condiciones de filtración, para el caso de talud indefinido.

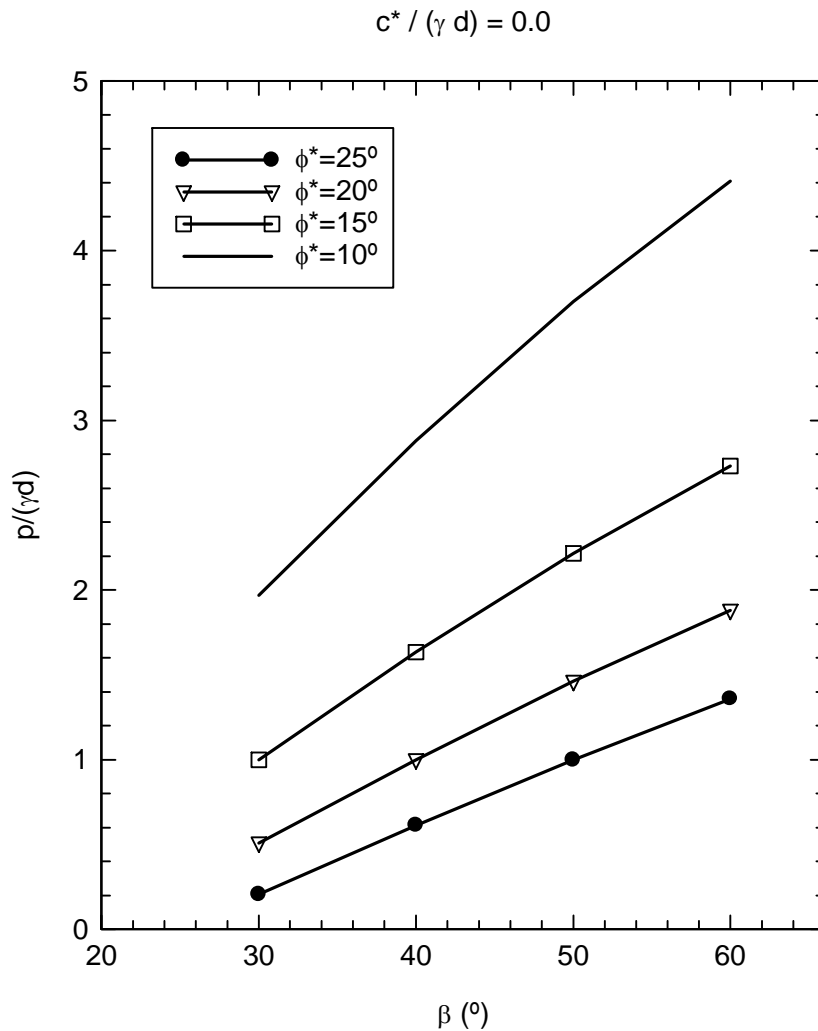


Figura A.1. Obtención de la presión en la superficie del talud para $c^*/(\gamma \cdot d) = 0.0$. Talud seco

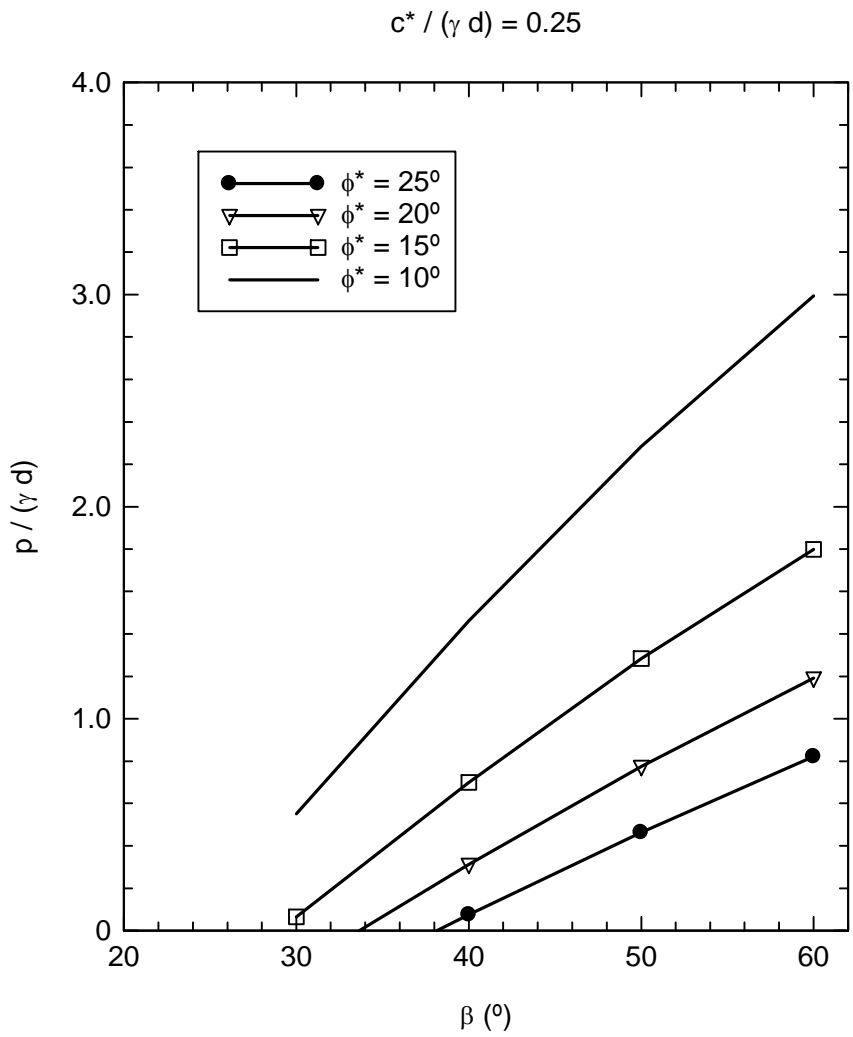


Figura A.2. Obtención de la presión en la superficie del talud para $c^*/(\gamma \cdot d) = 0.25$. Talud seco

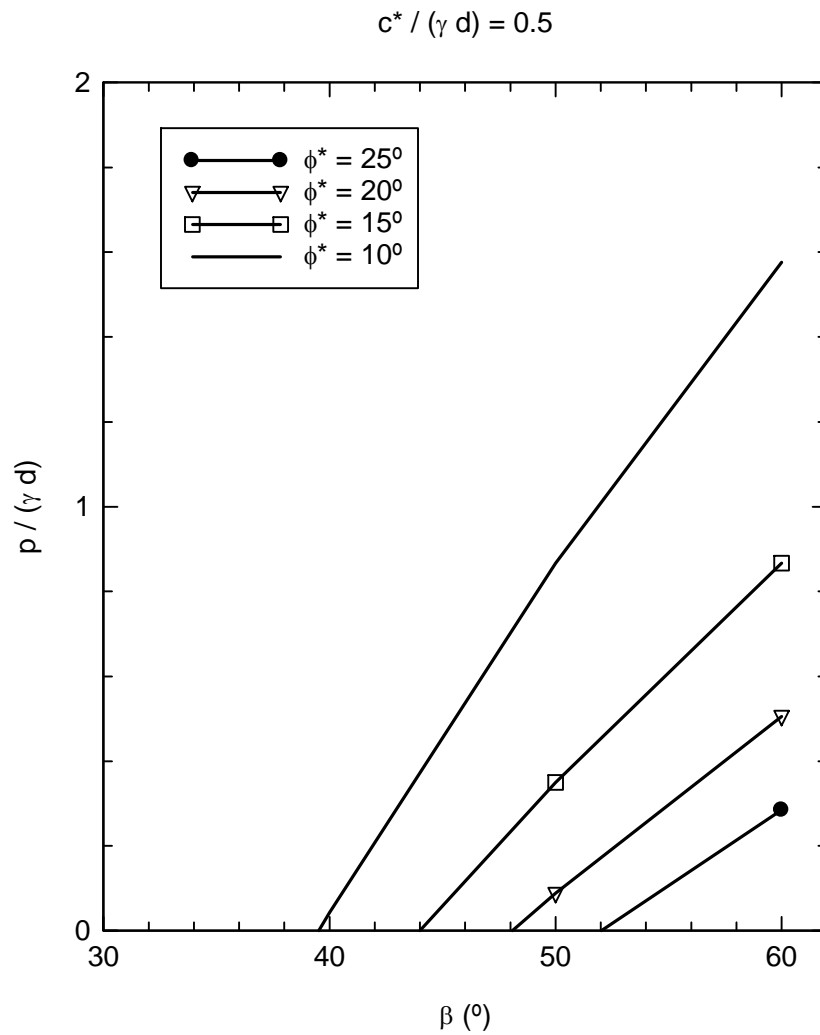


Figura A.3. Obtención de la presión en la superficie del talud para $c^*/(\gamma \cdot d) = 0.5$. Talud seco

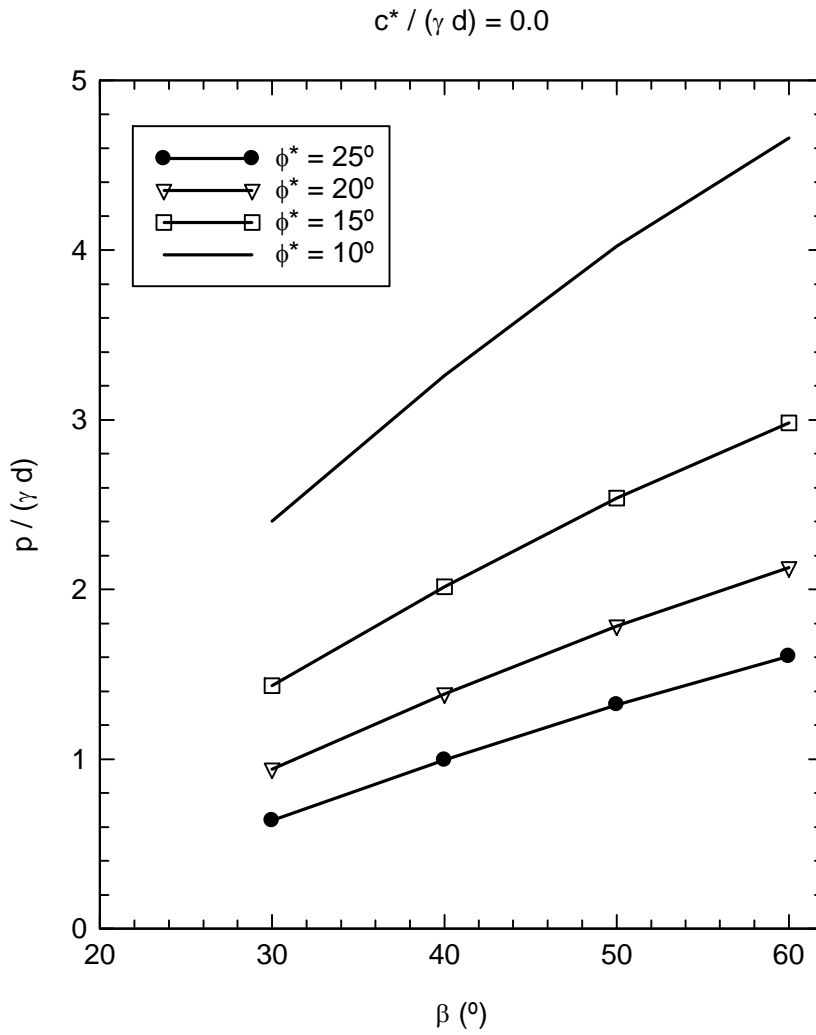


Figura A.4. Obtención de la presión en la superficie del talud para $c^*/(\gamma \cdot d) = 0.0$.
Talud con filtración paralela

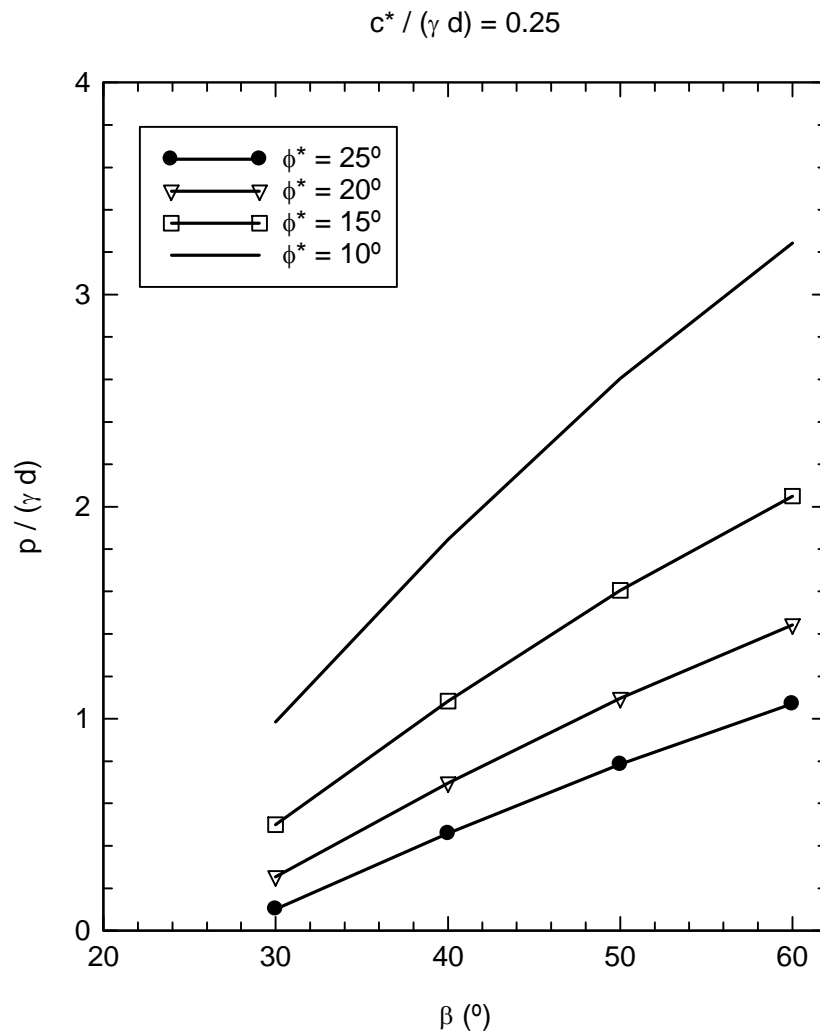


Figura A.5. Obtención de la presión en la superficie del talud para $c^*/(\gamma \cdot d) = 0.25$. Talud con filtración paralela

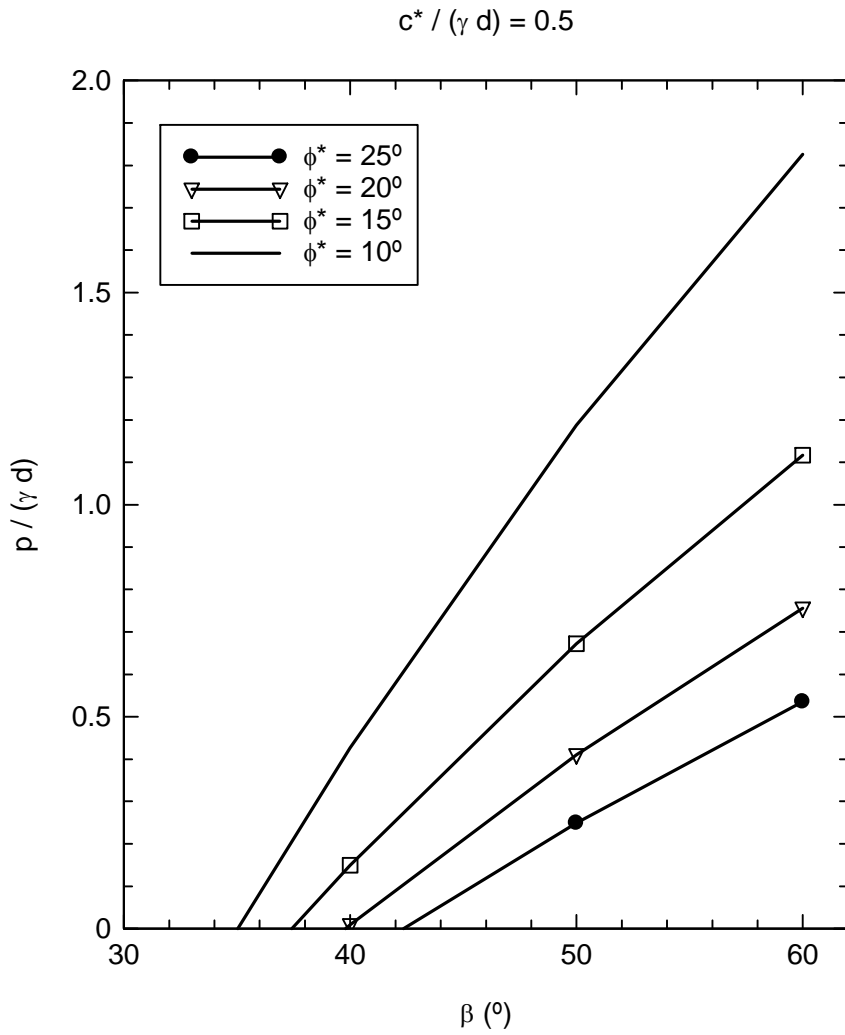


Figura A.6. Obtención de la presión en la superficie del talud para $c^*/(\gamma \cdot d) = 0.5$.
Talud con filtración paralela

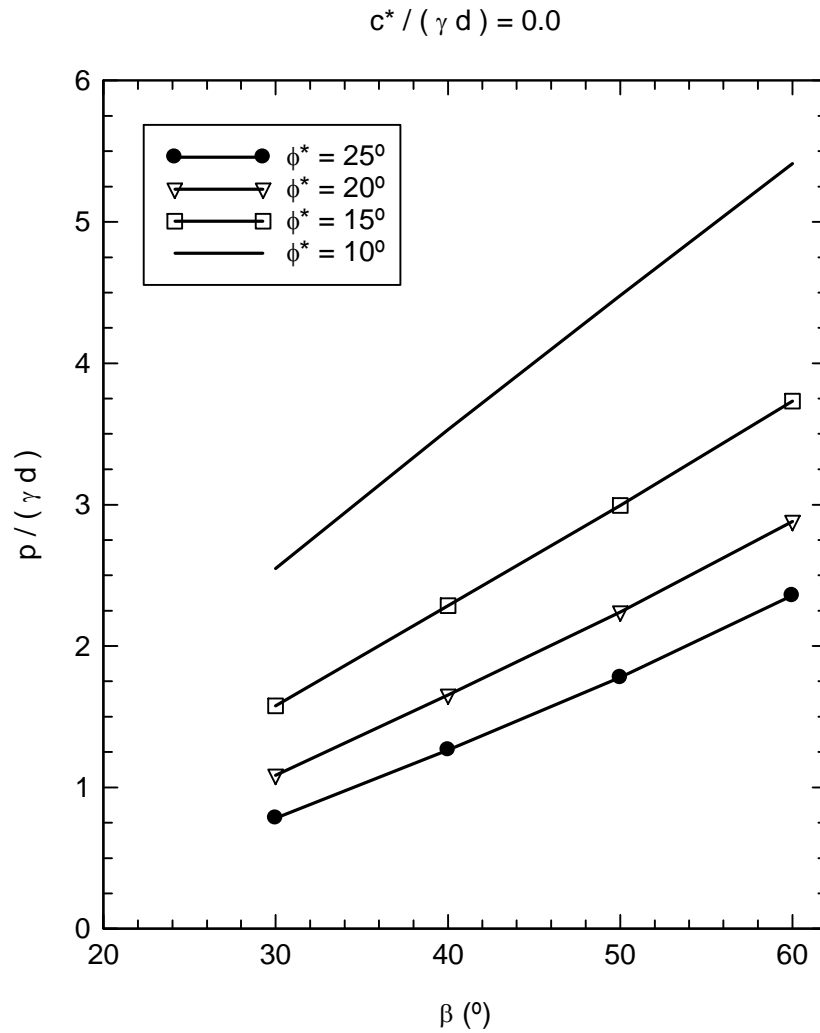


Figura A.7. Obtención de la presión en la superficie del talud para $c^*/(\gamma \cdot d) = 0.0$. Talud con filtración horizontal

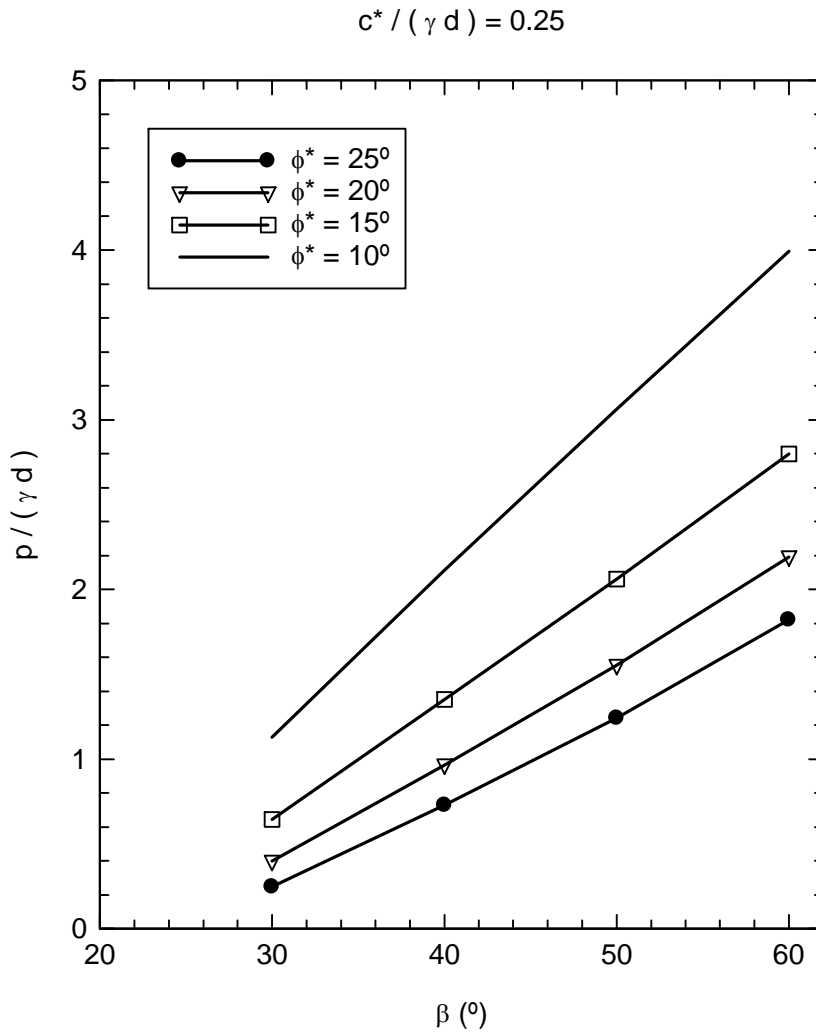
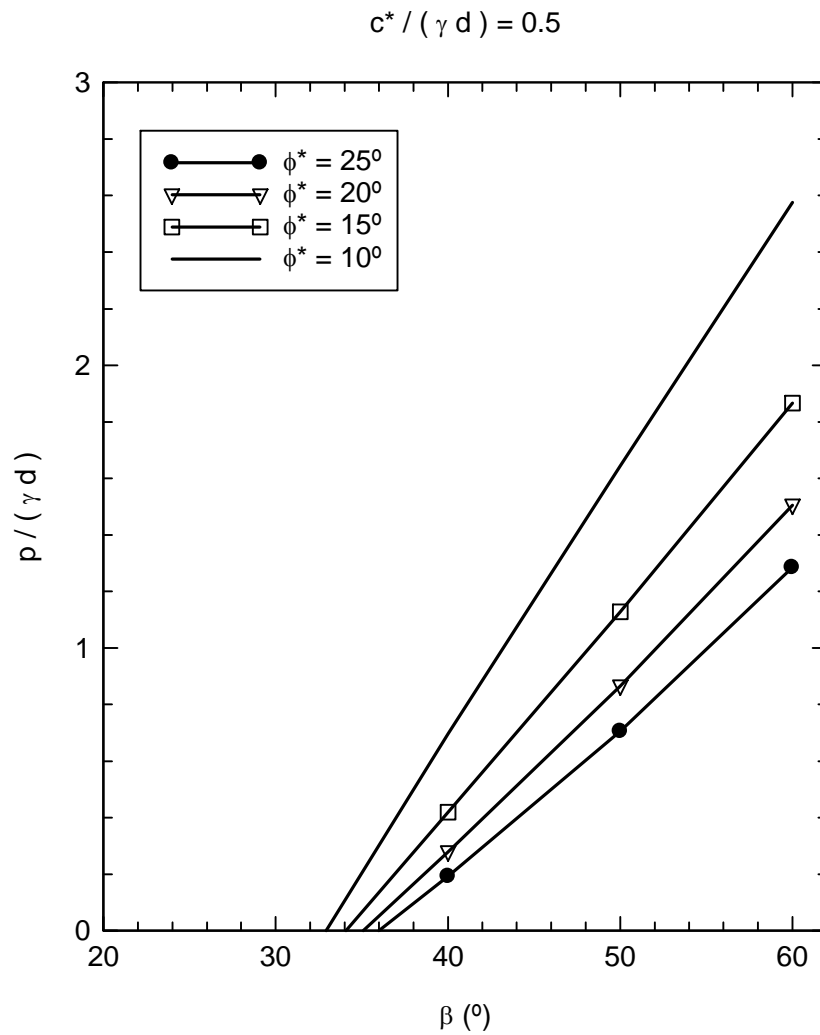


Figura A.8. Obtención de la presión en la superficie del talud para $c^*/(\gamma \cdot d) = 0.25$. Talud con filtración horizontal



**Figura A.9. Obtención de la presión en la superficie del talud para $c^*/(\gamma \cdot d) = 0.5$.
Talud con filtración horizontal**

A.2 EXPRESIONES PARA EL CÁLCULO DEL VALOR DE LA PRESIÓN NECESARIA SOBRE UN TALUD PARA GARANTIZAR UN CIERTO COEFICIENTE DE SEGURIDAD. CASO DE TALUD DE ALTURA FINITA

Se presentan las expresiones que proporcionan, para el caso de talud finito, los valores de las tensiones efectivas normales en los planos de deslizamiento, y de la presión normal que es necesario que transmita la red para conseguir un cierto coeficiente de seguridad al deslizamiento. Estas expresiones se presentan para diferentes casos, según cuales de las tensiones efectivas normales en los planos de deslizamiento sean negativas.

CASO I

Al resolver las ecuaciones se obtiene: N'_1, N'_2 y $N'_3 > 0$.

$$N'_2 = \frac{c'^* \cdot \left\{ d \cdot \operatorname{tg} \phi'^* - (i-1) \cdot s - \frac{d}{\operatorname{tg} \beta} \right\} + G_1 \cdot \{ \operatorname{sen} \beta - \cos \beta \cdot \operatorname{tg} \phi'^* \}}{1 - (\operatorname{tg} \phi'^*)^2} +$$

$$+ \frac{-s \cdot \{ \operatorname{tg} \phi'^* + \operatorname{tg} \delta \} \cdot \sum_{j=1}^{j=i-1} p_j + u_1 \cdot \operatorname{tg} \phi'^* - u_2}{1 - (\operatorname{tg} \phi'^*)^2} \quad (\text{A.1})$$

$$N'_1 = G_1 \cdot \cos \beta + \sum_{j=1}^{j=i-1} p_j \cdot s - c'^* \cdot d - N'_2 \cdot \operatorname{tg} \phi'^* - u_1 \quad (\text{A.2})$$

$$p_i = \frac{N'_2 \cdot \{ 1 - k \cdot \operatorname{tg} \phi'^* \} + G_2 \cdot \{ \operatorname{sen} \beta - k \cdot \cos \beta \} - c'^* \cdot \{ s + 2 \cdot k \cdot d \}}{s \cdot (k + \operatorname{tg} \delta)} +$$

$$+ \frac{u_3 \cdot \{ k \cdot \cos \lambda - \operatorname{sen} \lambda \} + u_2}{s \cdot (k + \operatorname{tg} \delta)} \quad (\text{A.3})$$

$$N'_3 = \left\{ \frac{k}{k + tg\delta} \right\} \cdot \left\{ \frac{c'^* \{2 \cdot d \cdot tg\delta - s\} + N'_2 \cdot \{1 + tg\delta \cdot tg\phi'^*\}}{sen\lambda + \cos\lambda \cdot tg\phi'^*} \right\} +$$

$$+ \frac{G_2 \cdot \{sen\beta + tg\delta \cdot \cos\beta\} + u_2 - u_3 \cdot \{sen\lambda + tg\delta \cdot \cos\lambda\}}{sen\lambda + \cos\lambda \cdot tg\phi'^*} \quad (A.4)$$

CASO II

Al resolver las ecuaciones se obtiene: N'_1 y $N'_2 > 0$ y $N'_3 < 0$.

$$N'_2 = \frac{c'^* \cdot \left\{ d \cdot tg\phi'^* - (i-1) \cdot s - \frac{d}{tg\beta} \right\} + G_1 \cdot \{sen\beta - \cos\beta \cdot tg\phi'^*\}}{1 - (tg\phi'^*)^2} +$$

$$+ \frac{-s \cdot \{tg\phi'^* + tg\delta\} \cdot \sum_{j=1}^{j=i-1} p_j + u_1 \cdot tg\phi'^* - u_2}{1 - (tg\phi'^*)^2} \quad (A.5)$$

$$N'_1 = G_1 \cdot \cos\beta + \sum_{j=1}^{j=i-1} p_j \cdot s - c'^* \cdot d - N'_2 \cdot tg\phi'^* - u_1 \quad (A.6)$$

$$p_i = \frac{u_3 \cdot (s \cdot \cos\lambda + d \cdot sen\lambda) - N'_2 \cdot (d + s \cdot tg\phi'^*) - c'^* \cdot d \cdot s}{s^2 - d \cdot s \cdot tg\delta} +$$

$$+ \frac{-G_2 \cdot (d \cdot sen\beta + s \cdot \cos\beta) - u_2 \cdot d}{s^2 - d \cdot s \cdot tg\delta} \quad (A.7)$$

$$F_3 = \frac{c' \cdot s}{u_2 + N'_2 + G_2 \cdot sen\beta - u_3 \cdot sen\lambda - p_i \cdot s \cdot tg\delta} \quad (A.8)$$

CASO III

Al resolver las ecuaciones se obtiene: $N'_1 > 0$ y $N'_2 < 0$.

$$N'_1 = \frac{G_1 \cdot \text{sen}\beta - u_2 - c'^* \cdot \left\{ (i-1) \cdot s + \frac{d}{\text{tg}\beta} \right\} - \sum_{j=1}^{j=i-1} p_j \cdot \text{tg}\delta \cdot s}{\text{tg}\phi'^*} \quad (\text{A.9})$$

$$F_2 = \frac{c' \cdot d}{G_1 \cdot \cos\beta + \sum_{j=1}^{j=i-1} p_j \cdot s - u_1 - N'_1} \quad (\text{A.10})$$

1) $N'_3 \geq 0$.

$$N'_3 = \left\{ \frac{k}{k + \text{tg}\delta} \right\} \cdot \left\{ \frac{c'^* \{d \cdot \text{tg}\delta - s\} + \frac{c'}{F_2} \cdot d \cdot \text{tg}\delta}{\text{sen}\lambda + \cos\lambda \cdot \text{tg}\phi'^*} + \right. \\ \left. + \frac{G_2 \cdot \{ \text{sen}\beta + \text{tg}\delta \cdot \cos\beta \} + u_2 - u_3 \cdot \{ \text{sen}\lambda + \text{tg}\delta \cdot \cos\lambda \}}{\text{sen}\lambda + \cos\lambda \cdot \text{tg}\phi'^*} \right\} \quad (\text{A.11})$$

$$p_i = \frac{G_2 \cdot \{ \text{sen}\beta - k \cdot \cos\beta \} - c'^* \cdot \{ s + d \cdot k \} - \frac{c'}{F_2} \cdot d \cdot k}{s \cdot (k + \text{tg}\delta)} + \\ + \frac{u_3 \cdot \{ k \cdot \cos\lambda - \text{sen}\lambda \} + u_2}{s \cdot (k + \text{tg}\delta)} \quad (\text{A.12})$$

2) $N'_3 < 0$.

$$p_i = \frac{u_3 \cdot (s \cdot \cos \lambda + d \cdot \operatorname{sen} \lambda) - \frac{c'}{F_2} \cdot d \cdot s - G_2 \cdot (d \cdot \operatorname{sen} \beta + s \cdot \cos \beta) - u_2 \cdot d}{s^2 - d \cdot s \cdot \operatorname{tg} \delta} \quad (\text{A.13})$$

$$F_3 = \frac{c' \cdot s}{u_2 + G_2 \cdot \operatorname{sen} \beta - u_3 \cdot \operatorname{sen} \lambda - p_i \cdot s \cdot \operatorname{tg} \delta} \quad (\text{A.14})$$

CASO IV

Al resolver las ecuaciones se obtiene: $N'_1 < 0$ y $N'_2 > 0$.

$$N'_2 = \frac{G_1 \cdot \cos \beta + \sum_{j=1}^{j=i-1} p_j \cdot s - c'^* \cdot d - u_1}{\operatorname{tg} \phi'^*} \quad (\text{A.15})$$

$$F_1 = \frac{c' \cdot \left\{ (i-1) \cdot s + \frac{d}{\operatorname{tg} \beta} \right\}}{G_1 \cdot \operatorname{sen} \beta - u_2 - N'_2 - \sum_{j=1}^{j=i-1} p_j \cdot s \cdot \operatorname{tg} \delta} \quad (\text{A.16})$$

1) $N'_3 > 0$.

$$N'_3 = \left\{ \frac{k}{k + \operatorname{tg} \delta} \right\} \cdot \left\{ \frac{c'^* \{2 \cdot d \cdot \operatorname{tg} \delta - s\} + N'_2 \cdot \{1 + \operatorname{tg} \delta \cdot \operatorname{tg} \phi'^*\}}{\operatorname{sen} \lambda + \cos \lambda \cdot \operatorname{tg} \phi'^*} \right\} + \left\{ \frac{G_2 \cdot \{\operatorname{sen} \beta + \operatorname{tg} \delta \cdot \cos \beta\} + u_2 - u_3 \cdot \{\operatorname{sen} \lambda + \operatorname{tg} \delta \cdot \cos \lambda\}}{\operatorname{sen} \lambda + \cos \lambda \cdot \operatorname{tg} \phi'^*} \right\} \quad (\text{A.17})$$

$$p_i = \frac{N'_2 \cdot \{1 - k \cdot \operatorname{tg} \phi'^*\} + G_2 \cdot \{\operatorname{sen} \beta - k \cdot \cos \beta\} - c'^* \cdot \{s + 2 \cdot k \cdot d\}}{s \cdot (k + \operatorname{tg} \delta)} + \frac{u_3 \cdot \{k \cdot \cos \lambda - \operatorname{sen} \lambda\} + u_2}{s \cdot (k + \operatorname{tg} \delta)} \quad (\text{A.18})$$

2) $N'_3 < 0$.

$$p_i = \frac{u_3 \cdot (s \cdot \cos \lambda + d \cdot \operatorname{sen} \lambda) - N'_2 \cdot (d + s \cdot \operatorname{tg} \phi'^*) - c'^* \cdot d \cdot s}{s^2 - d \cdot s \cdot \operatorname{tg} \delta} + \frac{-G_2 \cdot (d \cdot \operatorname{sen} \beta + s \cdot \cos \beta) - u_2 \cdot d}{s^2 - d \cdot s \cdot \operatorname{tg} \delta} \quad (\text{A.19})$$

$$F_3 = \frac{c' \cdot s}{u_2 + N'_2 + G_2 \cdot \operatorname{sen} \beta - u_3 \cdot \operatorname{sen} \lambda - p_i \cdot s \cdot \operatorname{tg} \delta} \quad (\text{A.20})$$

CASO V

Al resolver las ecuaciones se obtiene: $N'_1 < 0$ y $N'_2 < 0$.

$$F_1 = \frac{c' \cdot \left\{ (i-1) \cdot s + \frac{d}{\operatorname{tg} \beta} \right\}}{G_1 \cdot \operatorname{sen} \beta - u_2 - \sum_{j=1}^{j=i-1} p_j \cdot s \cdot \operatorname{tg} \delta} \quad (\text{A.21})$$

$$F_2 = \frac{c' \cdot d}{G_1 \cdot \cos \beta + \sum_{j=1}^{j=i-1} p_j \cdot s - u_1} \quad (\text{A.22})$$

1) $N'_3 > 0$.

$$N'_3 = \left\{ \frac{k}{k + \text{tg} \delta} \right\} \cdot \left\{ \frac{c'^* \{d \cdot \text{tg} \delta - s\} + \frac{c'}{F_2} \cdot d \cdot \text{tg} \delta + G_2 \cdot \{\text{sen} \beta + \text{tg} \delta \cdot \cos \beta\}}{\text{sen} \lambda + \cos \lambda \cdot \text{tg} \phi'^*} + \right. \\ \left. + \frac{u_2 - u_3 \cdot \{\text{sen} \lambda + \text{tg} \delta \cdot \cos \lambda\}}{\text{sen} \lambda + \cos \lambda \cdot \text{tg} \phi'^*} \right\} \quad (\text{A.23})$$

$$p_i = \frac{G_2 \cdot \{\text{sen} \beta - k \cdot \cos \beta\} - c'^* \cdot \{s + d \cdot k\} - \frac{c'}{F_2} \cdot d \cdot k}{s \cdot (k + \text{tg} \delta)} + \\ + \frac{u_3 \cdot \{k \cdot \cos \lambda - \text{sen} \lambda\} + u_2}{s \cdot (k + \text{tg} \delta)} \quad (\text{A.24})$$

2) $N'_3 < 0$.

$$p_i = \frac{u_3 \cdot (s \cdot \cos \lambda + d \cdot \text{sen} \lambda) - \frac{c'}{F_2} \cdot d \cdot s - G_2 \cdot (d \cdot \text{sen} \beta + s \cdot \cos \beta)}{s^2 - d \cdot s \cdot \text{tg} \delta} + \\ + \frac{-u_2 \cdot d}{s^2 - d \cdot s \cdot \text{tg} \delta} \quad (\text{A.25})$$

$$F_3 = \frac{c' \cdot s}{u_2 + G_2 \cdot \text{sen} \beta - u_3 \cdot \text{sen} \lambda - p_i \cdot s \cdot \text{tg} \delta} \quad (\text{A.26})$$

donde:

$$G_1 = \frac{\gamma \cdot d}{2} \cdot \left\{ 2 \cdot (i-1) \cdot s + \frac{d}{\operatorname{tg}\beta} \right\} \quad (\text{A.27})$$

$$G_2 = \frac{\gamma \cdot d}{2} \cdot s \quad (\text{A.28})$$

$$k = \frac{\operatorname{sen}\lambda + \cos\lambda \cdot \operatorname{tg}\phi'^*}{\cos\lambda - \operatorname{sen}\lambda \cdot \operatorname{tg}\phi'^*} \quad (\text{A.29})$$

$$\lambda = \operatorname{arctg}\left(\frac{d}{s}\right) \quad (\text{A.30})$$

$$u_1 = \begin{cases} \psi \cdot \frac{\gamma_w \cdot d^2 \cdot \cos\beta}{2 \cdot \operatorname{tg}\beta} & \text{para } i=1 \\ \psi \cdot \frac{\left[2 \cdot (i-1) \cdot s + \frac{d}{\operatorname{tg}\beta} - d \cdot \operatorname{tg}(\beta-\lambda) \right] \cdot \gamma_w \cdot d \cdot \cos\alpha}{2 \cdot \cos(\beta-\lambda)} & \text{para } i=2,3,\dots \end{cases} \quad (\text{A.31})$$

$$u_2 = \begin{cases} \psi \cdot \frac{\gamma_w \cdot d^2 \cdot \cos\beta}{2} & \text{para } i=1 \\ \psi \cdot \frac{\gamma_w \cdot d^2 \cdot \cos\alpha}{2 \cdot \cos(\beta-\alpha)} & \text{para } i=2,3,\dots \end{cases} \quad (\text{A.32})$$

$$u_3 = \begin{cases} \psi \cdot \frac{\gamma_w \cdot d^2 \cdot \cos\beta}{2 \cdot \operatorname{sen}\lambda} & \text{para } i=1 \\ \psi \cdot \frac{\gamma_w \cdot d^2 \cdot \cos\alpha}{2 \cdot \operatorname{sen}\alpha \cdot \cos(\beta-\alpha)} & \text{para } i=2,3,\dots \end{cases} \quad (\text{A.33})$$

$$\psi = \begin{cases} 0 & \text{no presencia de agua} \\ 1 & \text{presencia de agua} \end{cases} \quad (\text{A.34})$$

$$\operatorname{tg}\phi'^* = \frac{\operatorname{tg}\phi'}{F_0} \quad (\text{A.35})$$

$$c'^* = \frac{c'}{F_0} \quad (\text{A.36})$$

A.3 GRÁFICOS PARA LA OBTENCIÓN DEL FACTOR DE REDUCCIÓN POR ALTURA FINITA DE TALUD

Se presentan las gráficas del factor de reducción por altura finita de talud y cohesión nula, para distintos ángulos de rozamiento interno, inclinación de talud y condiciones de filtración.

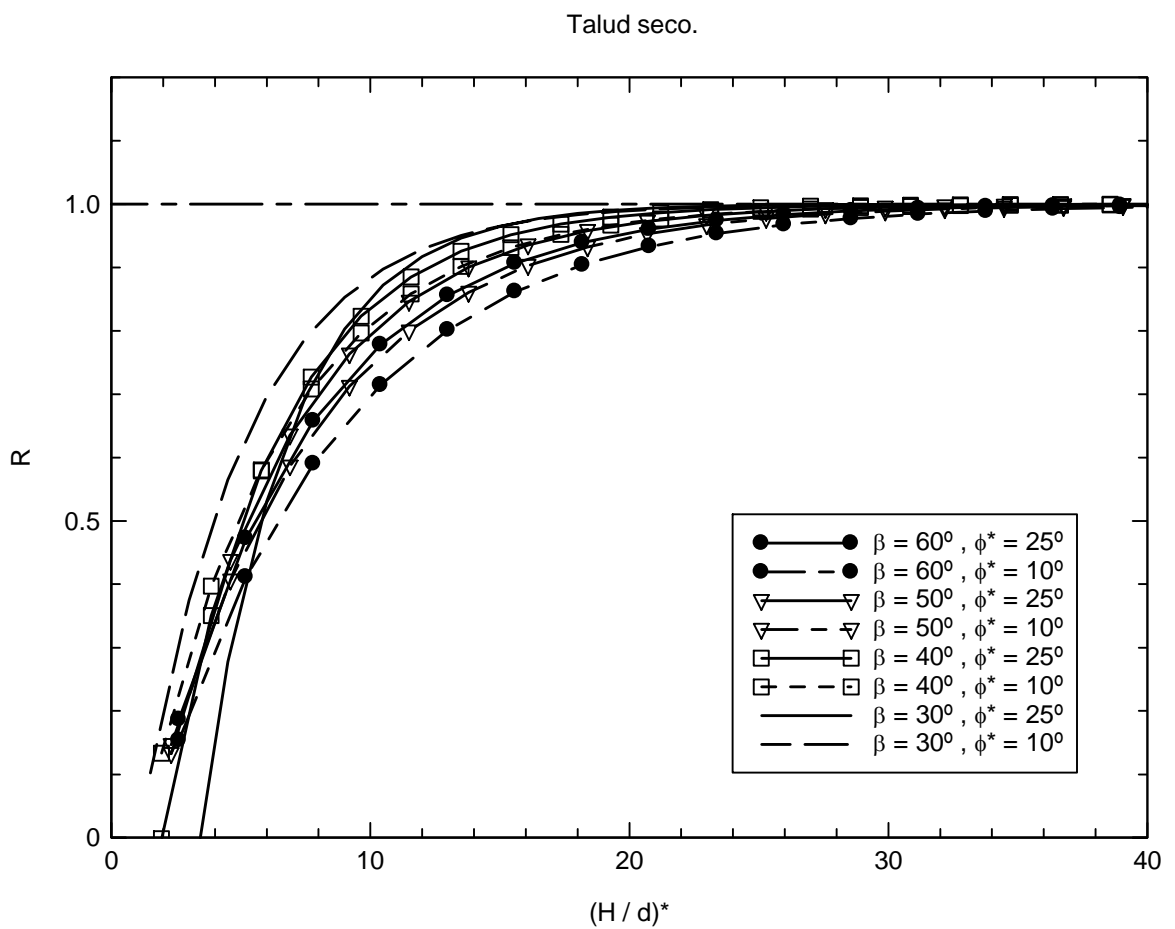


Figura A.10. Factor de reducción ($c = 0$). Talud seco

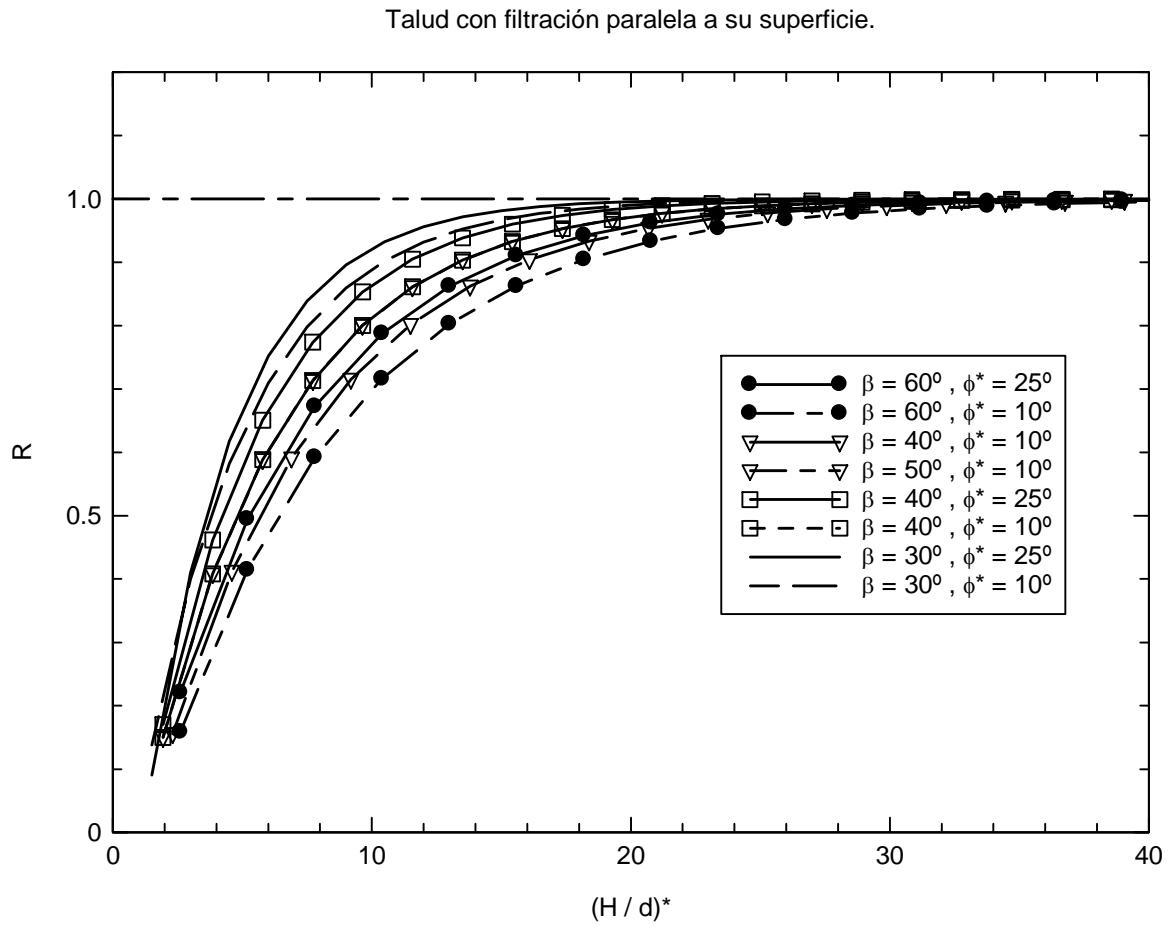


Figura A.11. Factor de reducción ($c = 0$). Talud con filtración paralela

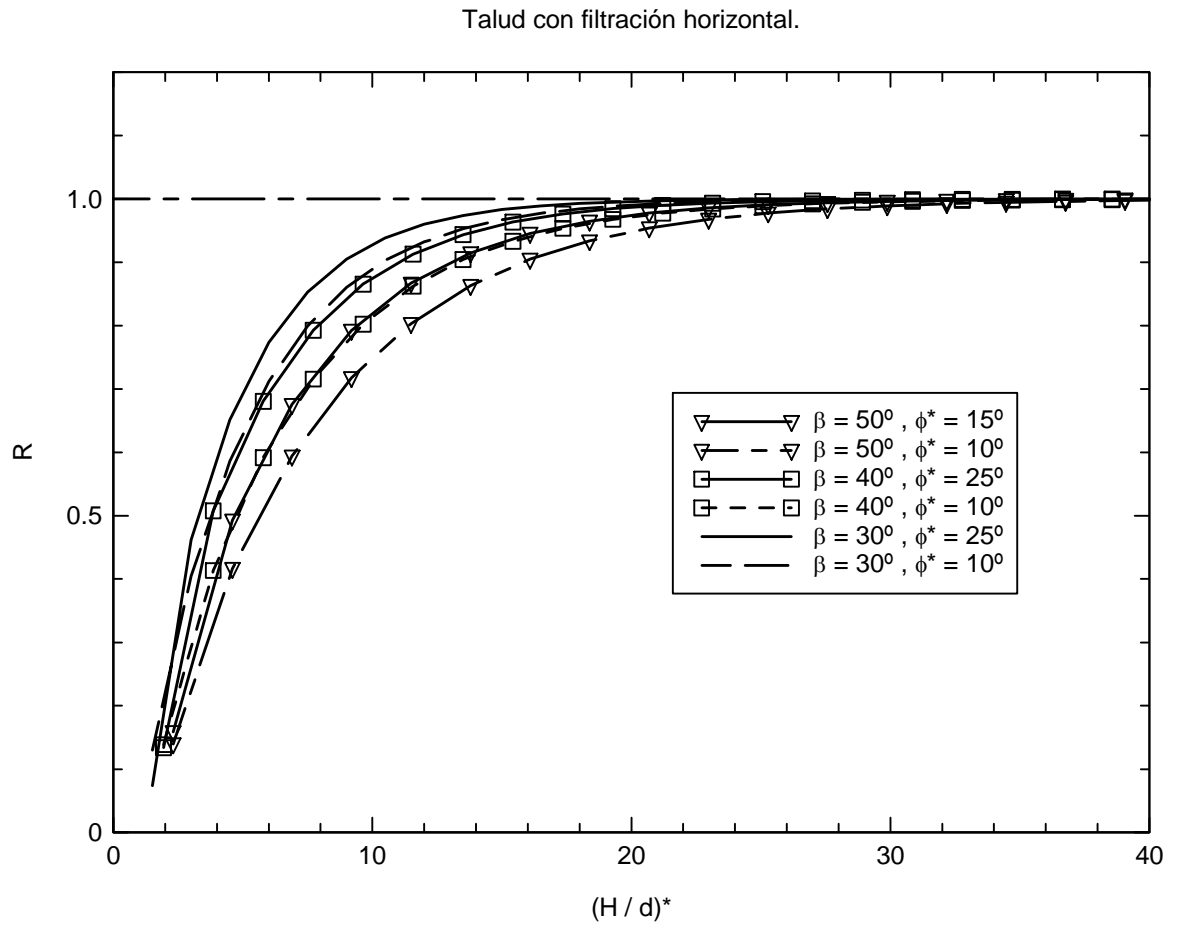


Figura A.12. Factor de reducción ($c = 0$). Talud con filtración horizontal

A.4 GRÁFICOS PARA LA OBTENCIÓN DE LA REDUCCIÓN DE ALTURA DE UN TALUD DEBIDO A LA COHESIÓN

Se presentan los gráficos correspondientes a la reducción en la altura del talud debido a la cohesión, para diferentes valores de ángulo de rozamiento interno, cohesión, inclinación del talud y condiciones de filtración.

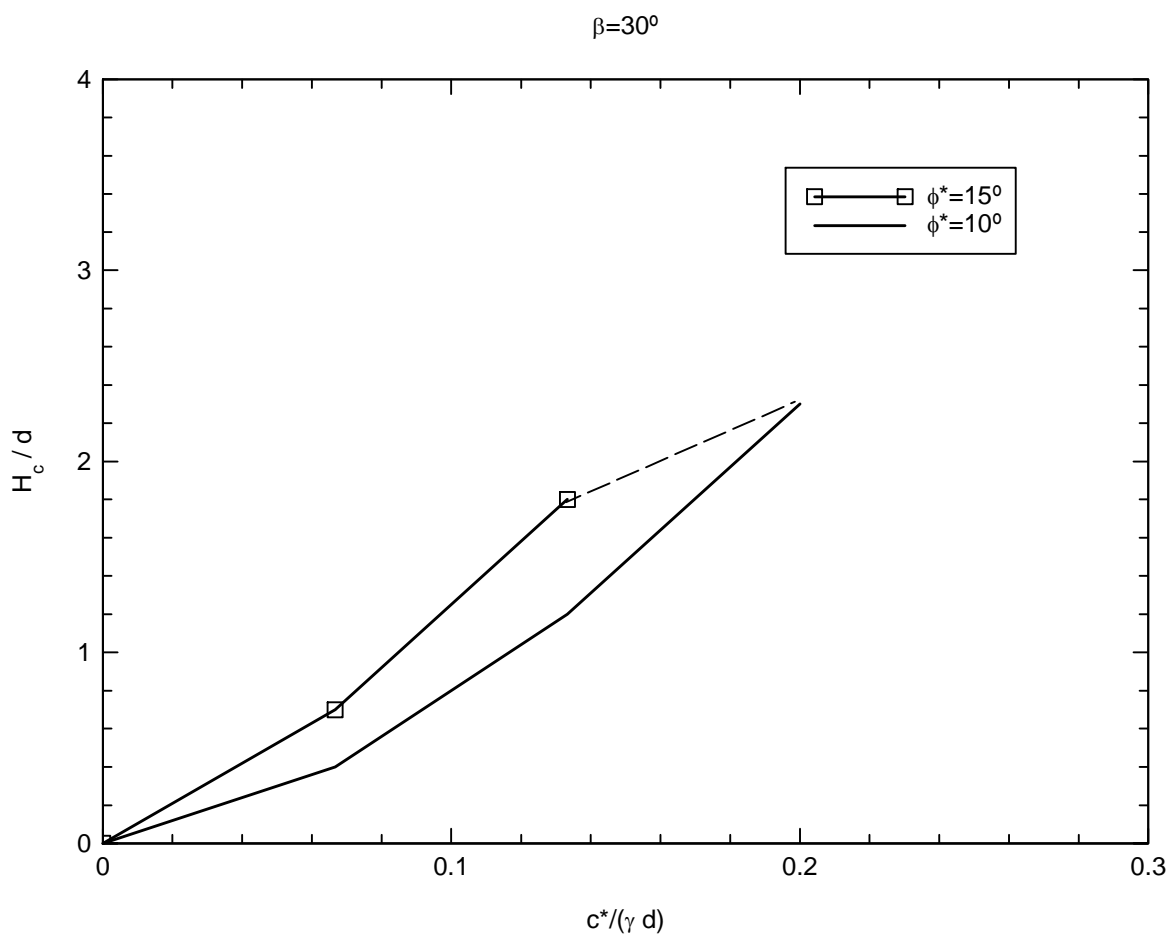


Figura A.13. Reducción de altura por cohesión ($\beta = 30^\circ$). Talud seco

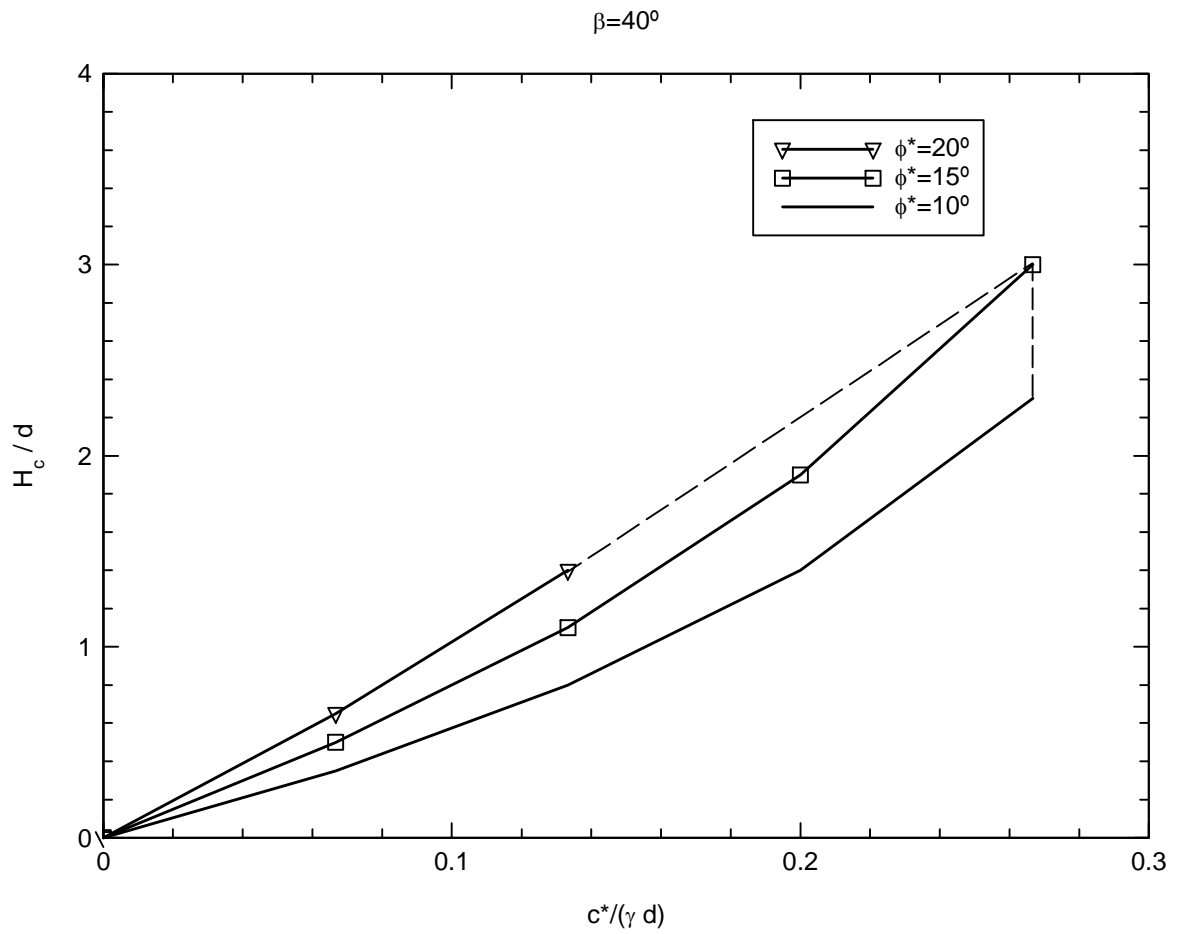


Figura A.14. Reducción de altura por cohesión ($\beta = 40^\circ$). Talud seco

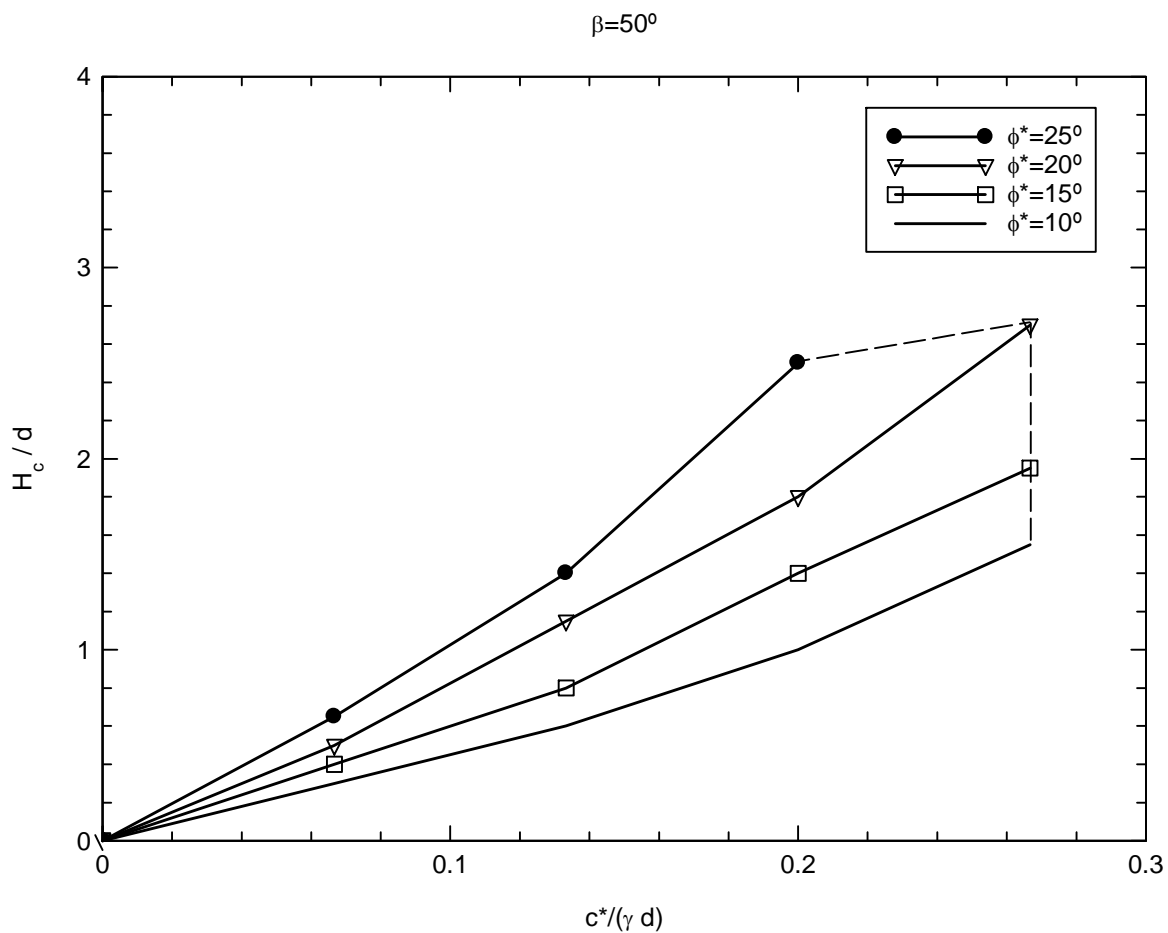


Figura A.15. Reducción de altura por cohesión ($\beta = 50^\circ$). Talud seco

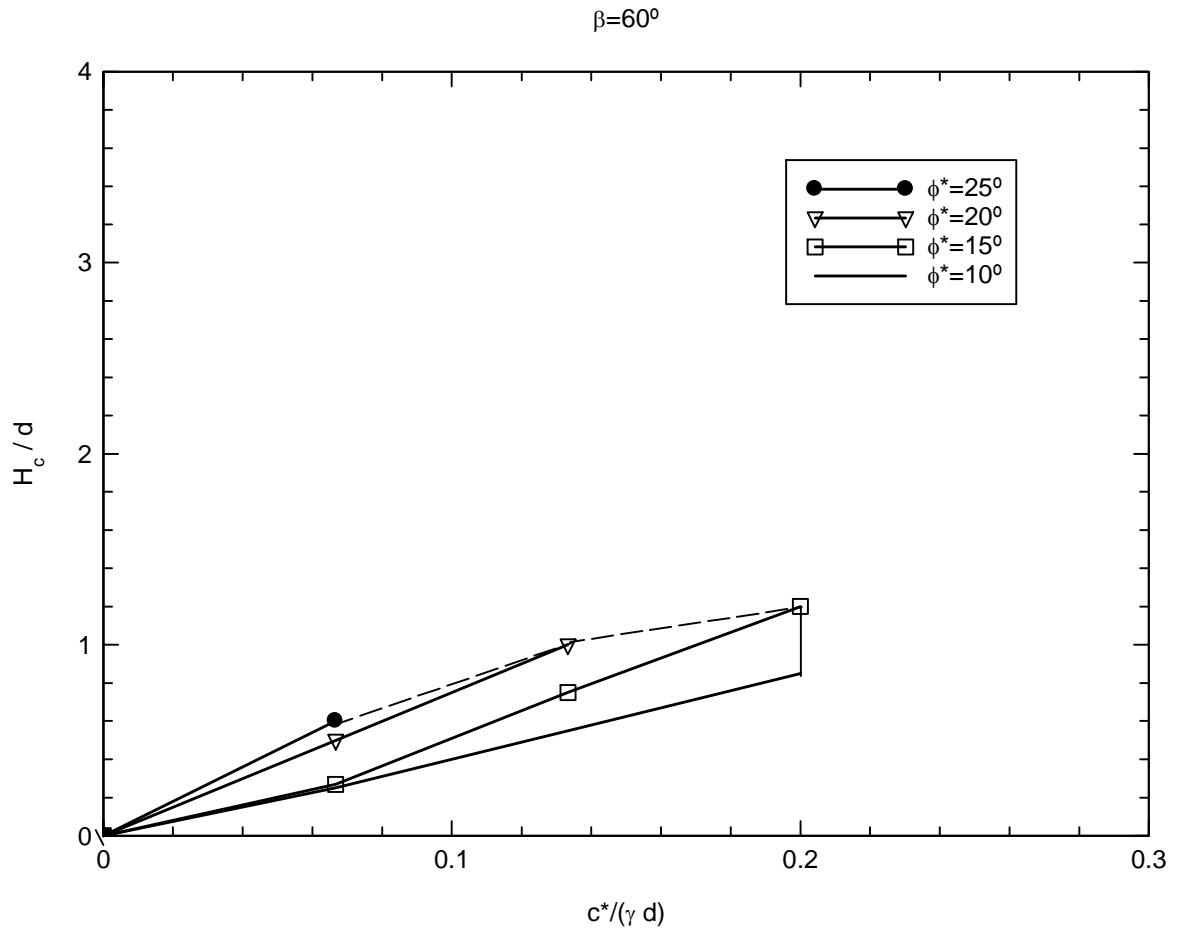


Figura A.16. Reducción de altura por cohesión ($\beta = 60^\circ$). Talud seco

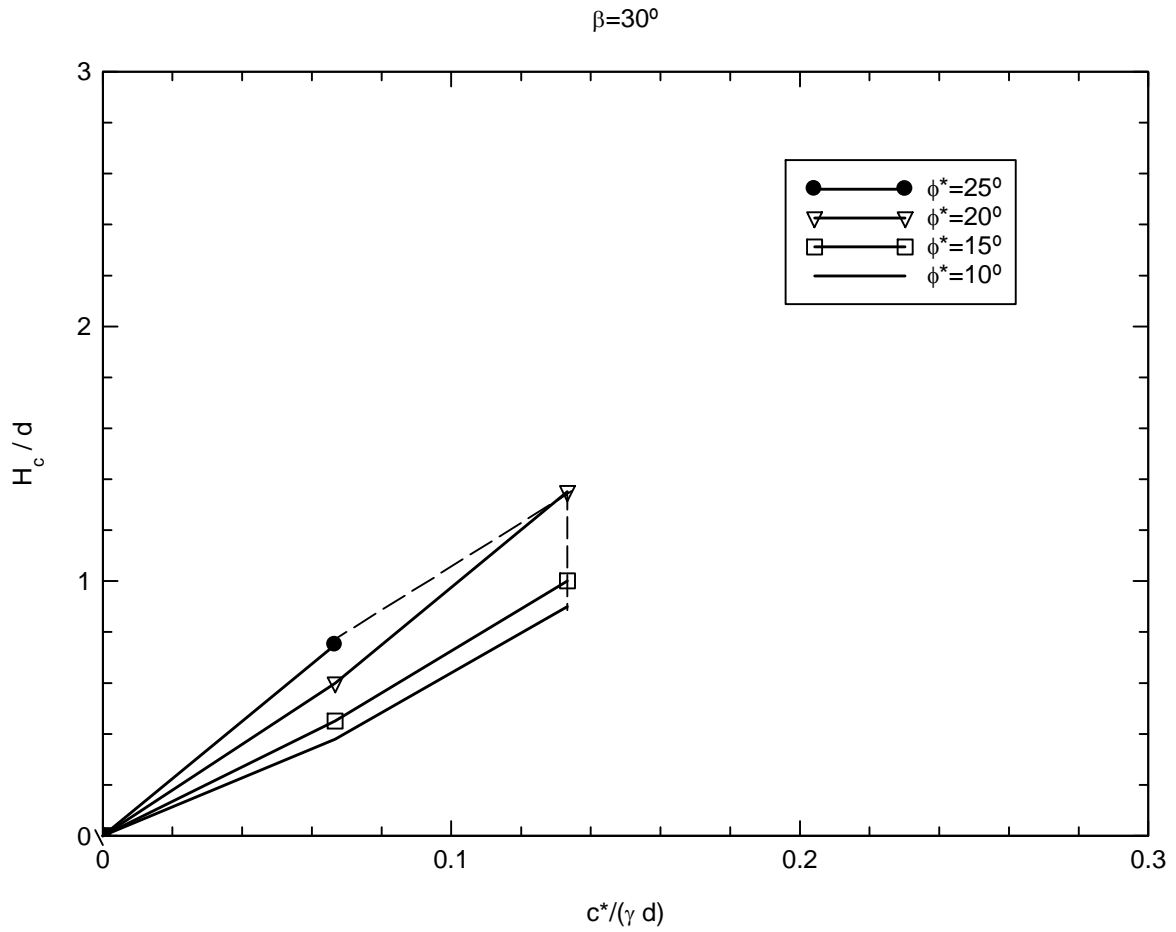


Figura A.17. Reducción de altura por cohesión ($\beta = 30^\circ$). Talud con filtración paralela

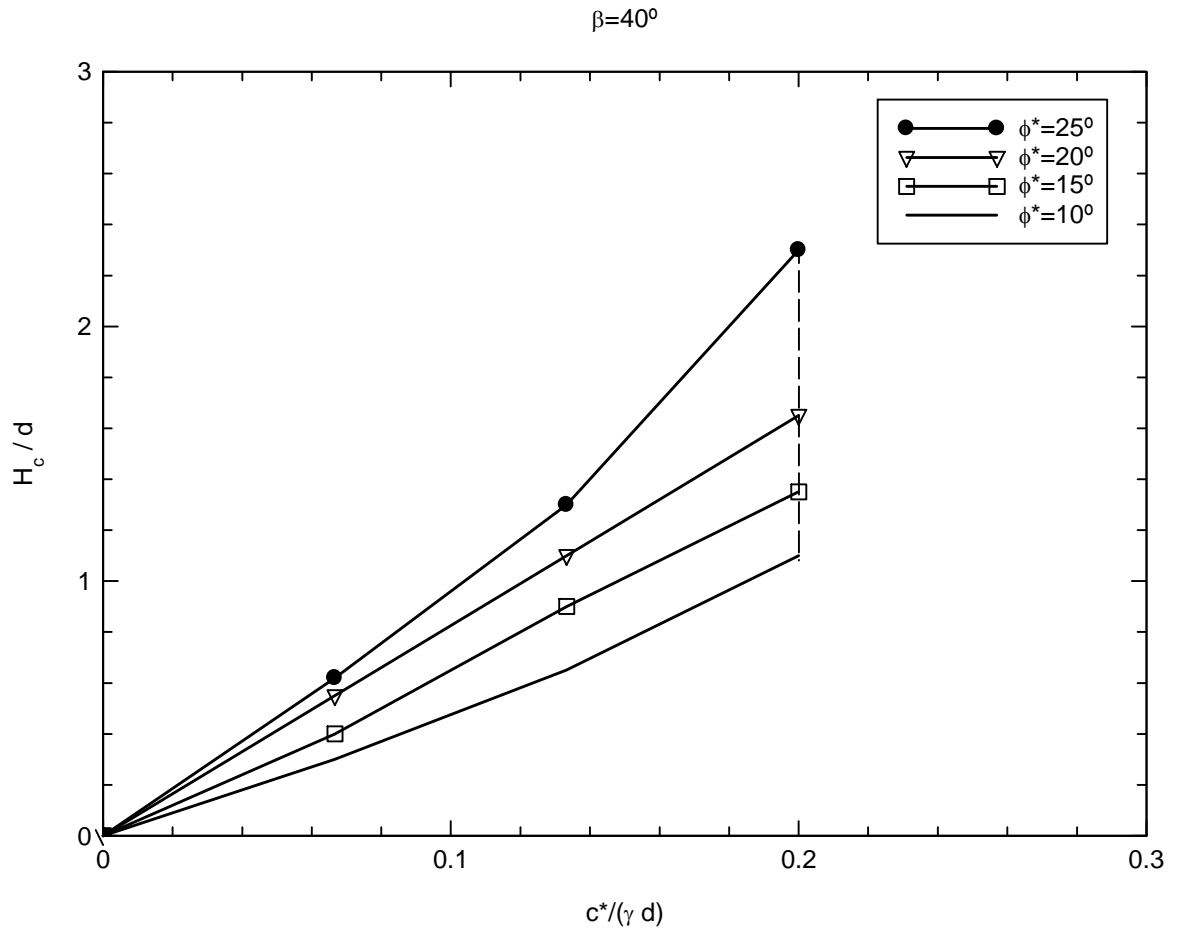


Figura A.18. Reducción de altura por cohesión ($\beta = 40^\circ$). Talud con filtración paralela

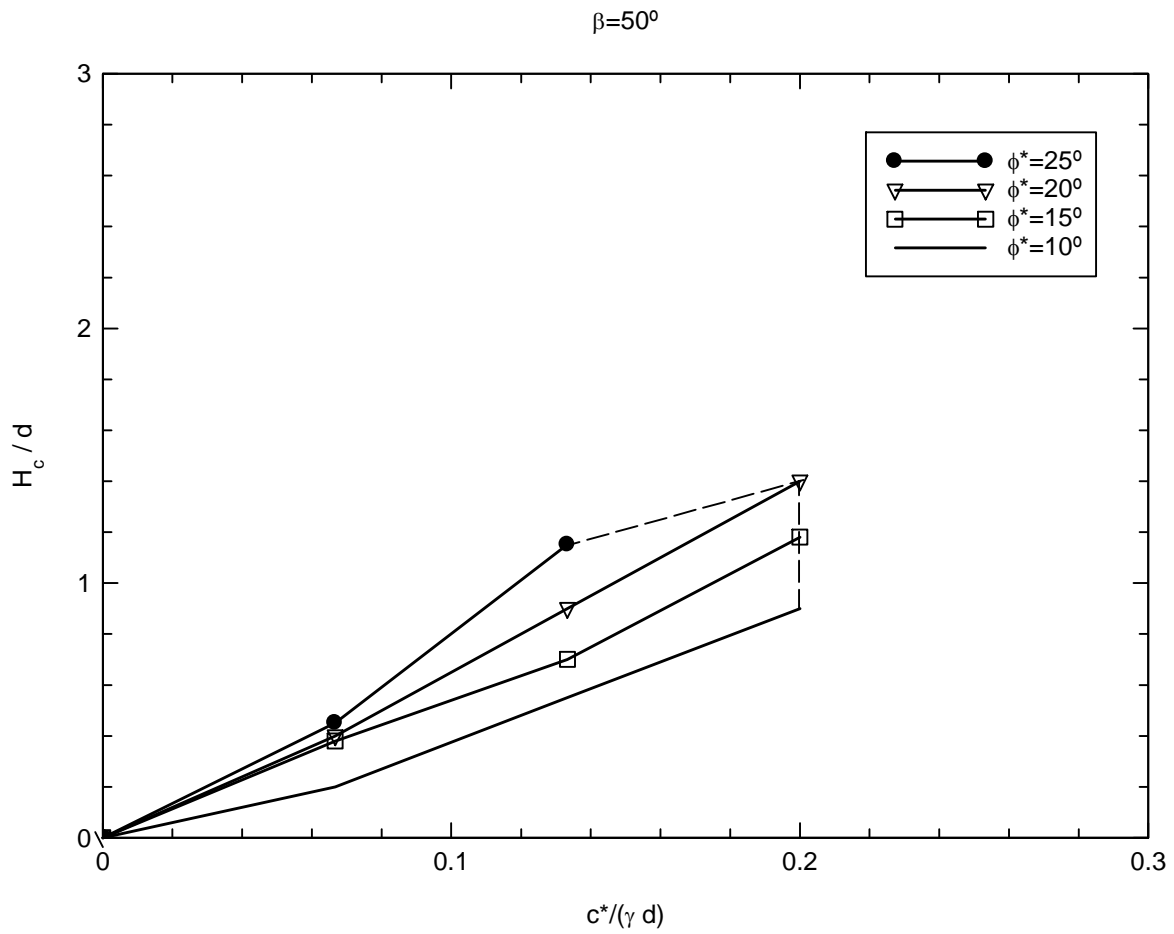


Figura A.19. Reducción de altura por cohesión ($\beta = 50^\circ$). Talud con filtración paralela

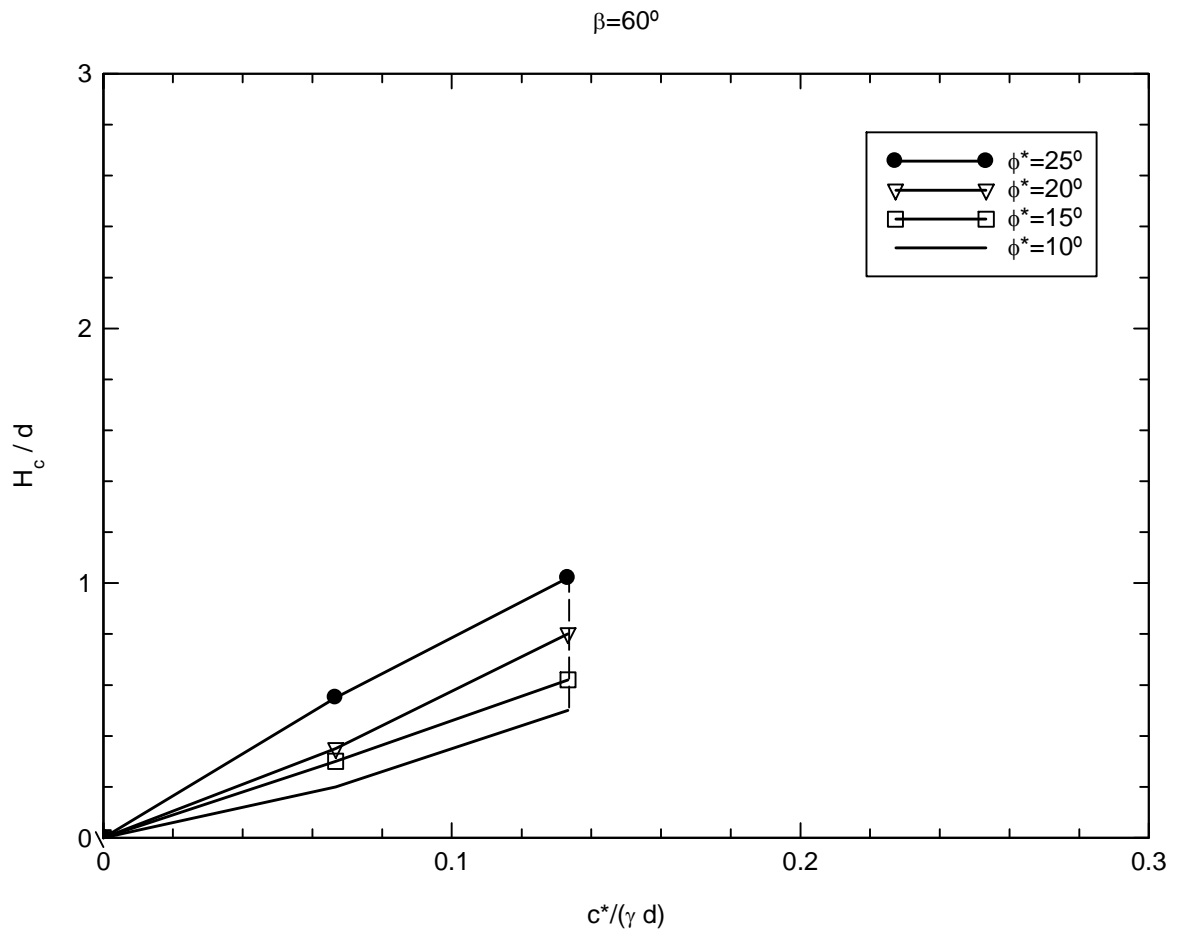


Figura A.20. Reducción de altura por cohesión ($\beta = 60^\circ$). Talud con filtración paralela

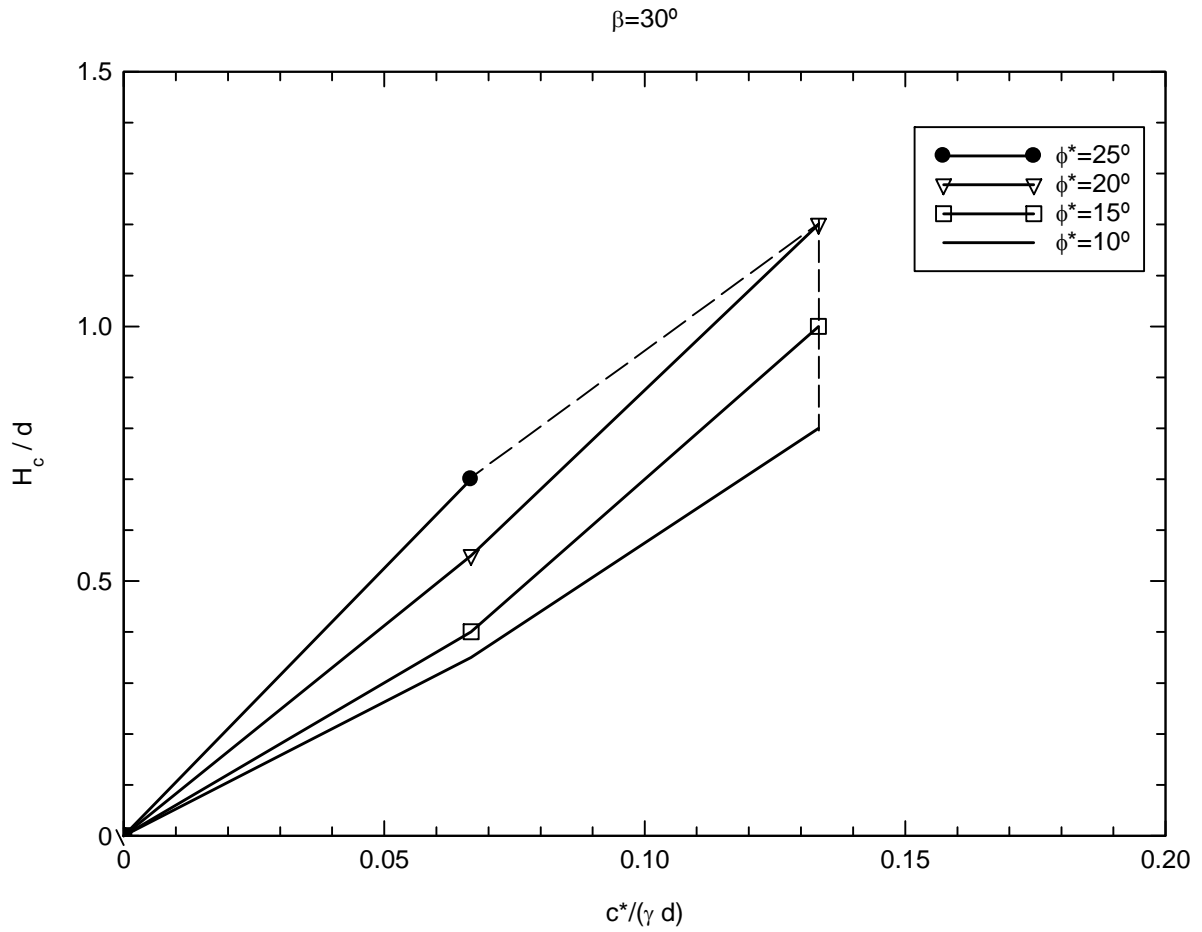


Figura A.21. Reducción de altura por cohesión ($\beta = 30^\circ$). Talud con filtración horizontal

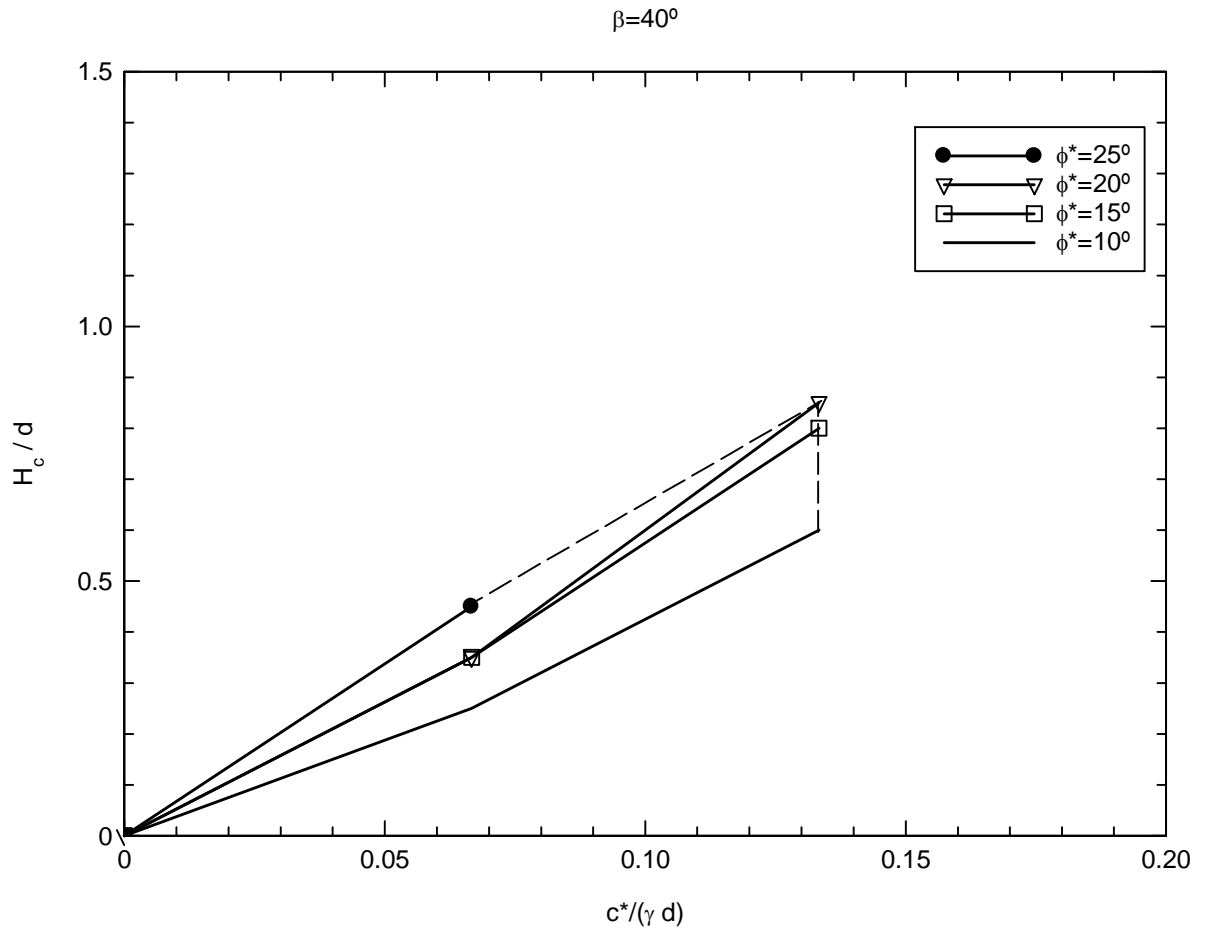


Figura A.22. Reducción de altura por cohesión ($\beta = 40^\circ$). Talud con filtración horizontal

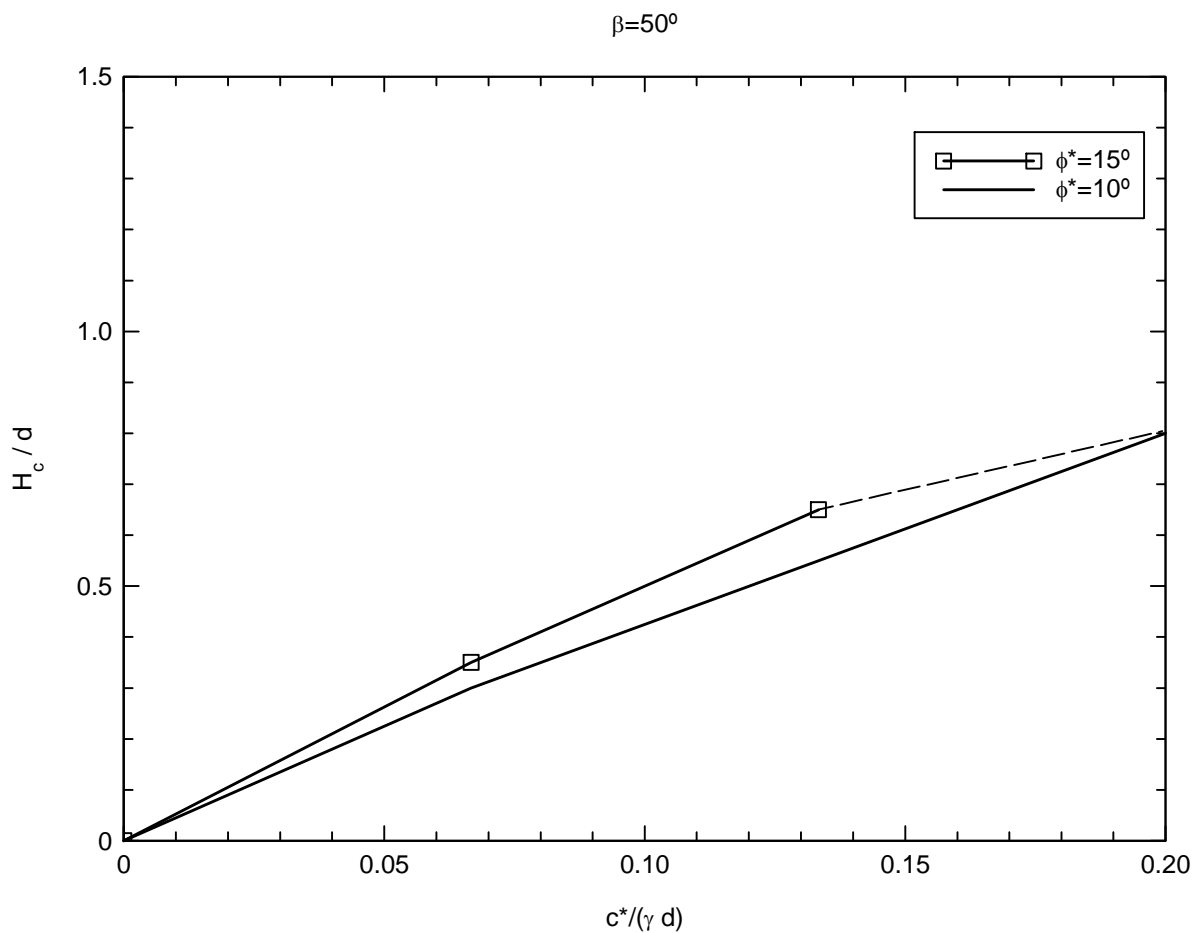


Figura A.23. Reducción de altura por cohesión ($\beta = 50^\circ$). Talud con filtración horizontal

**APÉNDICE B. RESULTADOS DE APLICACIÓN DE LOS MODELOS
PRESIÓN-CURVATURA A LOS ENSAYOS DE CARGA
DISTRIBUIDA SOBRE LA MALLA**

B.1. DEFORMADA DE LA MALLA TECCO G-65 SOMETIDA A CARGA UNIFORME EN SU SUPERFICIE

En el Capítulo 3 se presentan unos modelos de presión-curvatura para la malla de refuerzo, con los que se trata de obtener la deformada de una malla y el valor de la fuerza axial que está soportando, en función de sus características resistentes y la geometría, para el caso de una presión actuando sobre su superficie.

Dichos modelos se presentan para el caso de deformada cilíndrica de la malla, y para el de deformada esférica, correspondiendo cada uno de dichos casos a una diferente puesta en obra del sistema de refuerzo. Dada la similitud del caso de deformada cilíndrica con el caso del ensayo de laboratorio de carga distribuida sobre la superficie de la malla TECCO G-65, se compara en dicho Capítulo los resultados de los ensayos de laboratorio con los que se obtendrían, para las condiciones de dichos ensayos, con la aplicación del correspondiente modelo.

En este Apéndice se presentan los gráficos correspondientes a los resultados que se obtienen con respecto a la deformada que adquiere la malla debido a la acción de la carga distribuida en su superficie, obtenidos aplicando el modelo teórico citado anteriormente. Cada uno de los resultados obtenidos se acompaña del correspondiente al ensayo de laboratorio.

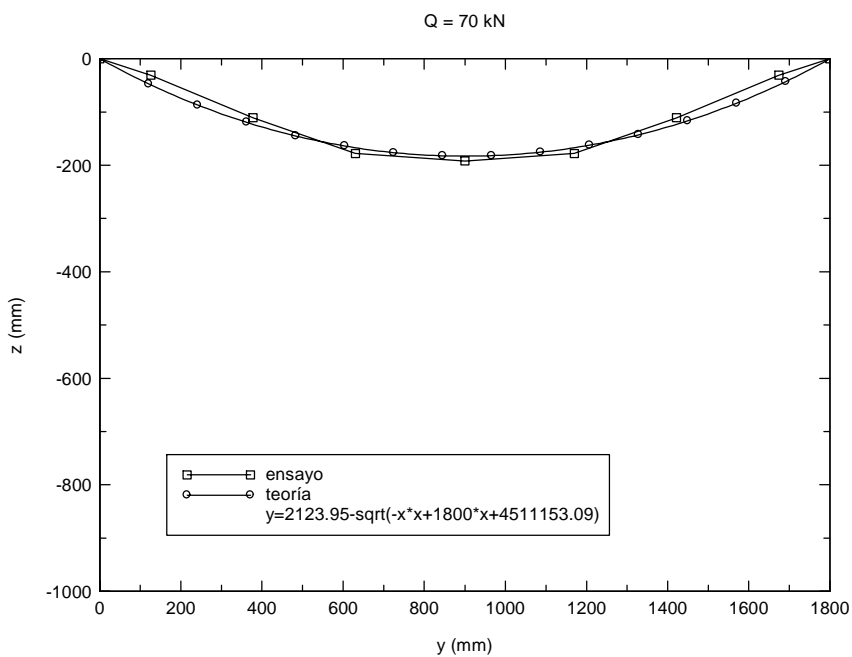


Figura B.1. Deformada de la malla de refuerzo sometida a carga distribuida sobre su superficie. Resultados teóricos (Q = 70 kN)

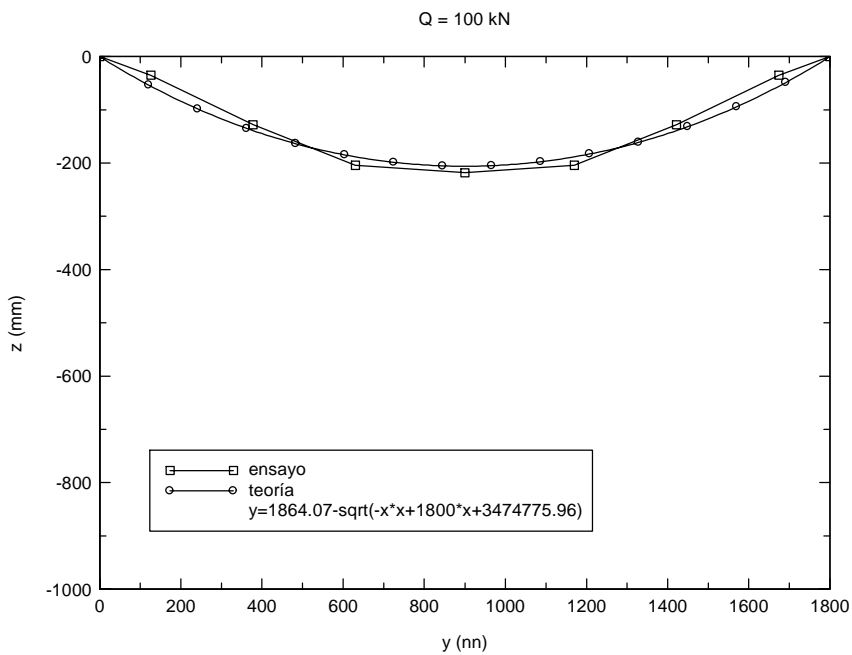


Figura B.2. Deformada de la malla de refuerzo sometida a carga distribuida sobre su superficie. Resultados teóricos (Q = 100 kN)

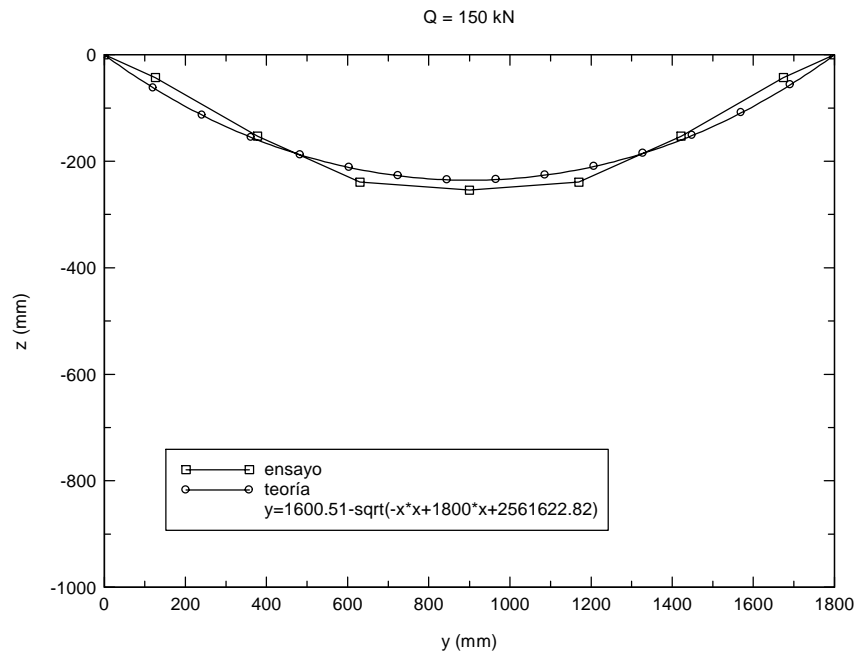


Figura B.3. Deformada de la malla de refuerzo sometida a carga distribuida sobre su superficie. Resultados teóricos (Q = 150 kN)

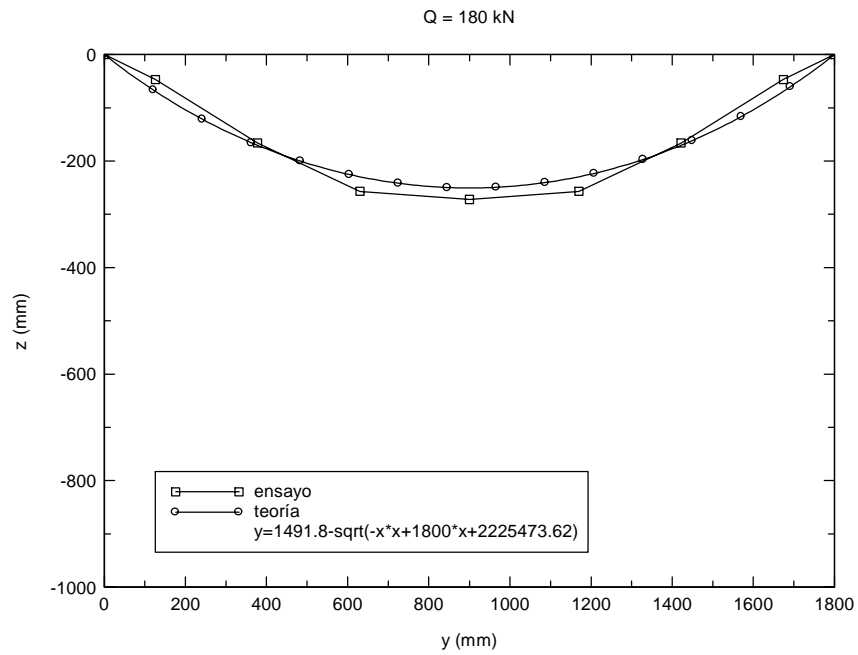


Figura B.4. Deformada de la malla de refuerzo sometida a carga distribuida sobre su superficie. Resultados teóricos (Q = 180 kN)

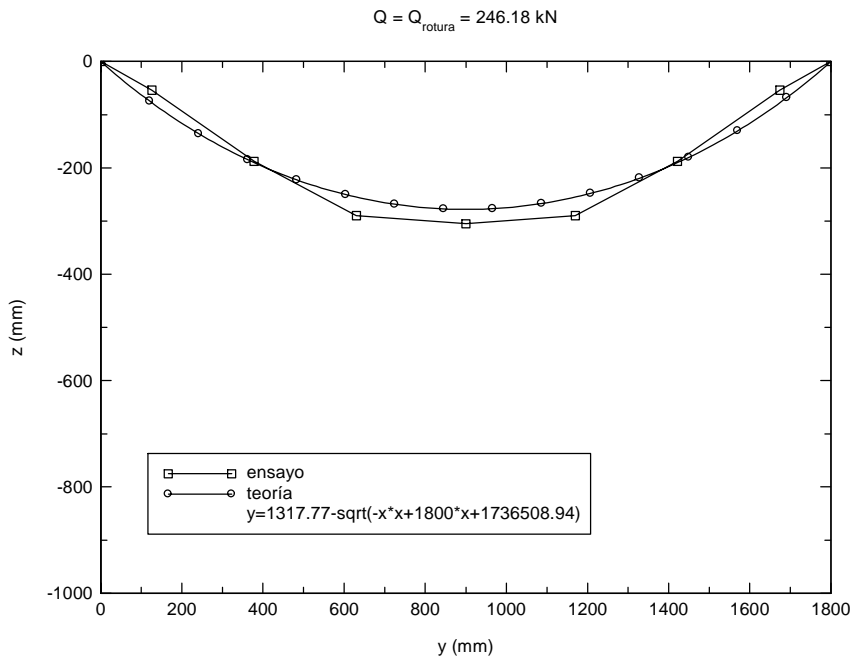


Figura B.5. Deformada de la malla de refuerzo sometida a carga distribuida sobre su superficie. Resultados teóricos ($Q = Q_{rot} = 246.18 \text{ kN}$)

**APÉNDICE C. RESULTADOS DEL ANÁLISIS DE LAS
CELDAS ELEMENTALES**

C.1. INTRODUCCIÓN

En el Capítulo 4 se analiza, mediante el empleo de los programas CRISP 90 y PLAXIS, una serie de celdas elementales.

En este apéndice se presentan los gráficos correspondientes a los resultados obtenidos sobre la deformada que adquiere la malla y la fuerza axial a la que se ve sometida. Dichos resultados se presentan para cada una de las celdas elementales analizadas, y para cada uno de los programas empleados.

Para analizar los resultados que se presentan, es preciso tener en cuenta el criterio de signos considerado en cada programa con respecto a las tensiones, tanto en el suelo como en los elementos que representan la malla de refuerzo.

En el programa CRISP90 se consideran positivas las compresiones en el suelo, y negativas las tracciones en los elementos 'bar' empleados para representar la malla.

En el programa PLAXIS se consideran negativas las compresiones en el suelo, y positivas las tracciones en los elementos 'geotextile' empleados para representar la malla.

C.2. EFECTO DEL PRETENSADO DE LOS ANCLAJES. RESULTADOS DEL PROGRAMA CRISP90

En las figuras siguientes se presentan los resultados obtenidos, con el programa CRISP90, del análisis de la celda elemental correspondiente al estudio del efecto del pretensado de los anclajes. Los resultados se refieren a la influencia del módulo de elasticidad, cohesión, y espesor de suelo considerado, en la deformada de la malla y la fuerza axial a la que se ve sometida.

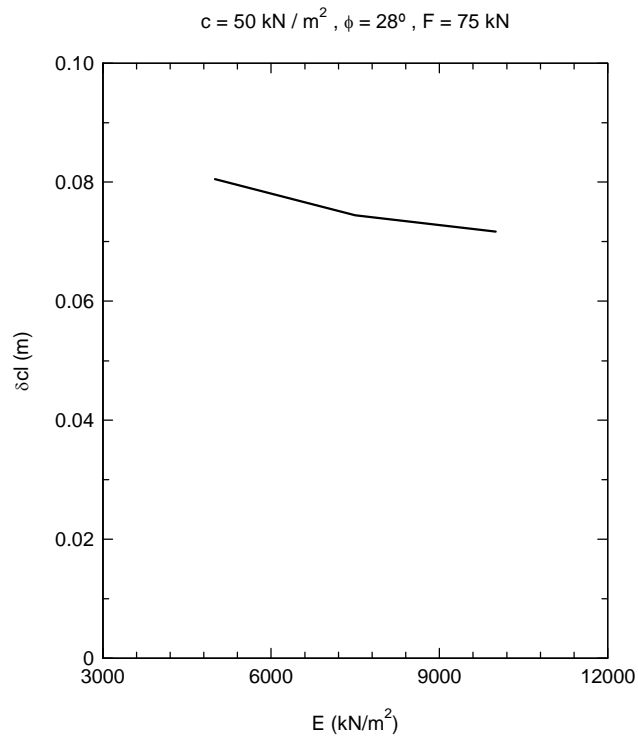
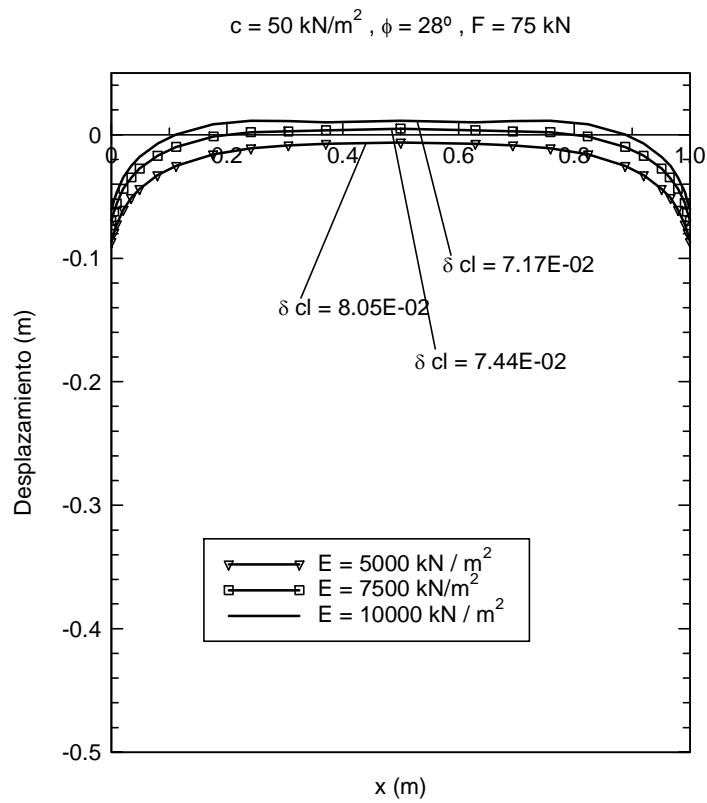


Figura C.1. Efecto de pretensado de anclajes. Deformada de la malla en función del módulo de elasticidad del suelo (CRISP90)

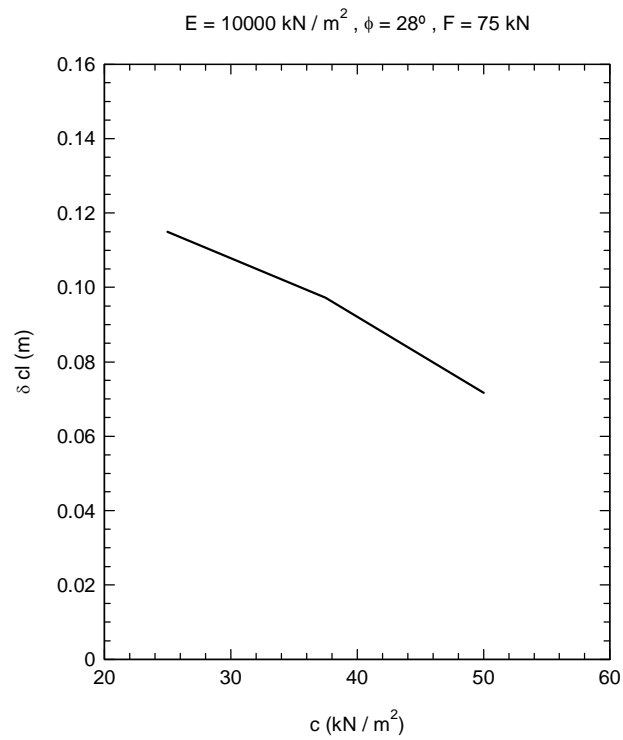
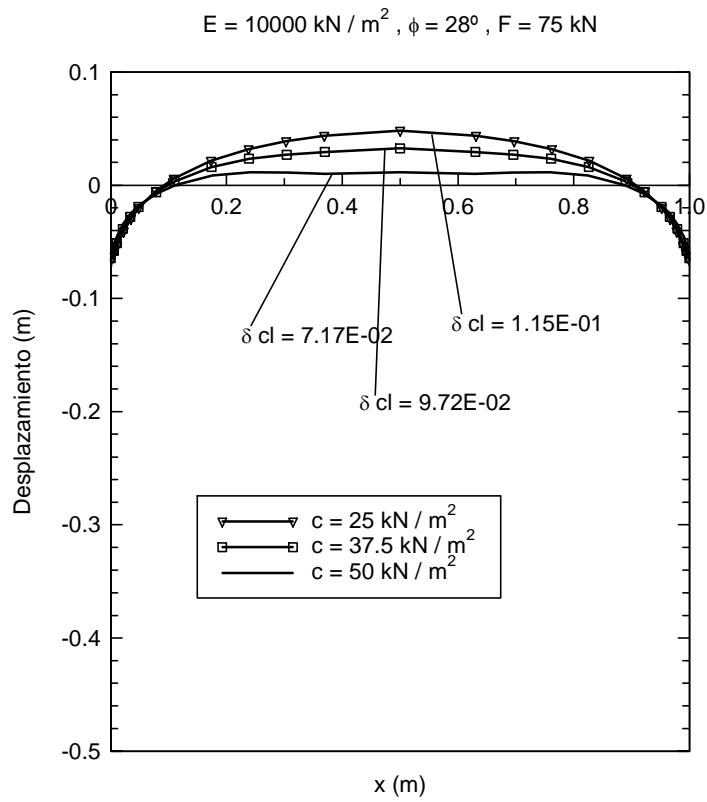


Figura C.2. Efecto de pretensado de anclajes. Deformada de la malla en función de la cohesión del suelo (CRISP90)

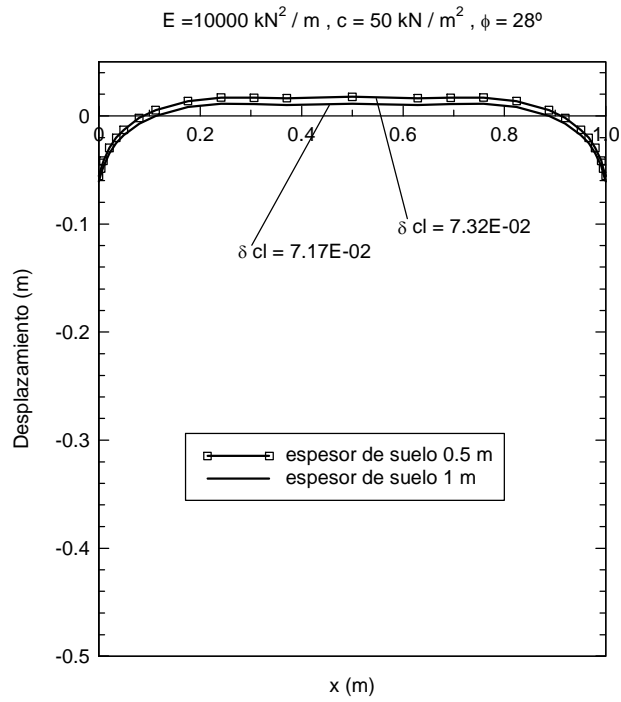


Figura C.3. Efecto de pretensado de anclajes. Deformada de la malla en función del espesor de suelo (CRISP90)

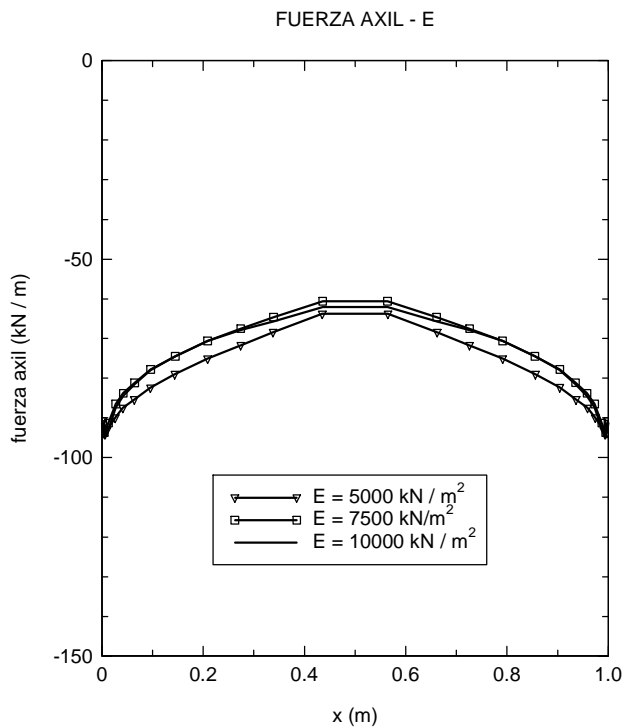


Figura C.4. Efecto de pretensado de anclajes. Fuerza axil en la malla en función del módulo de elasticidad del suelo (CRISP90)

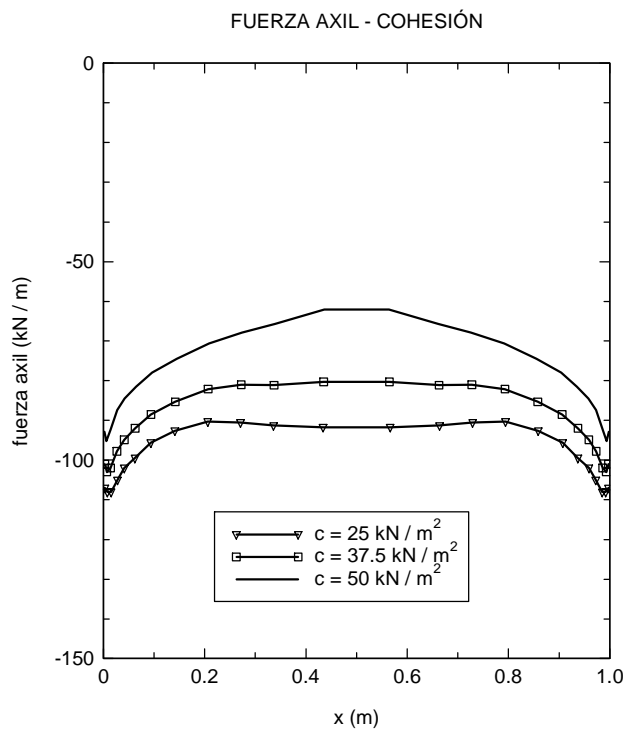


Figura C.5. Efecto de pretensado de anclajes. Fuerza axil en la malla en función de la cohesión del suelo (CRISP90)

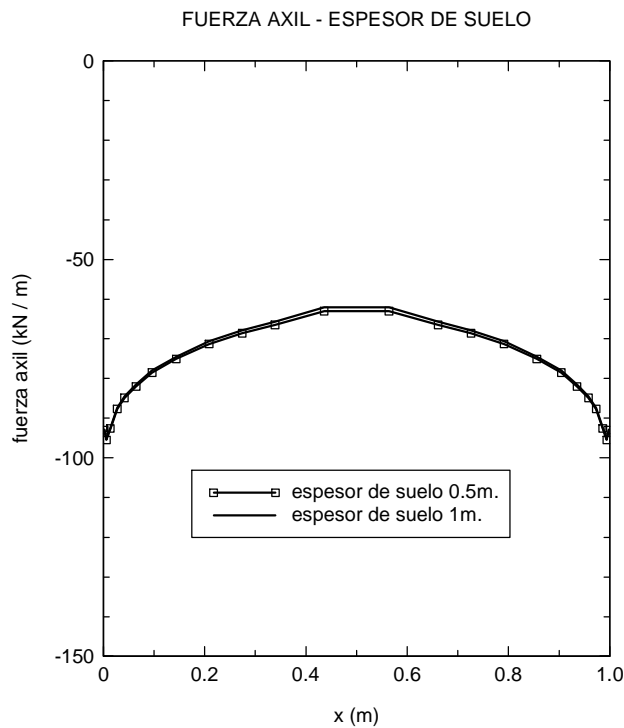


Figura C.6. Efecto de pretensado de anclajes. Fuerza axil en la malla en función del espesor de suelo (CRISP90)

C.3. EFECTO DEL PRETENSADO DE LOS ANCLAJES. RESULTADOS DEL PROGRAMA PLAXIS

En las figuras siguientes se presentan los resultados obtenidos, con el programa PLAXIS, del análisis de la celda elemental correspondiente al estudio del efecto del pretensado de los anclajes. Los resultados se refieren a la influencia del módulo de elasticidad, el ángulo de rozamiento interno, y la cohesión, en la deformada de la malla y la fuerza axial a la que se ve sometida. También se presentan resultados correspondientes a las tensiones normales y tangenciales del suelo situado en distintas secciones bajo la malla.

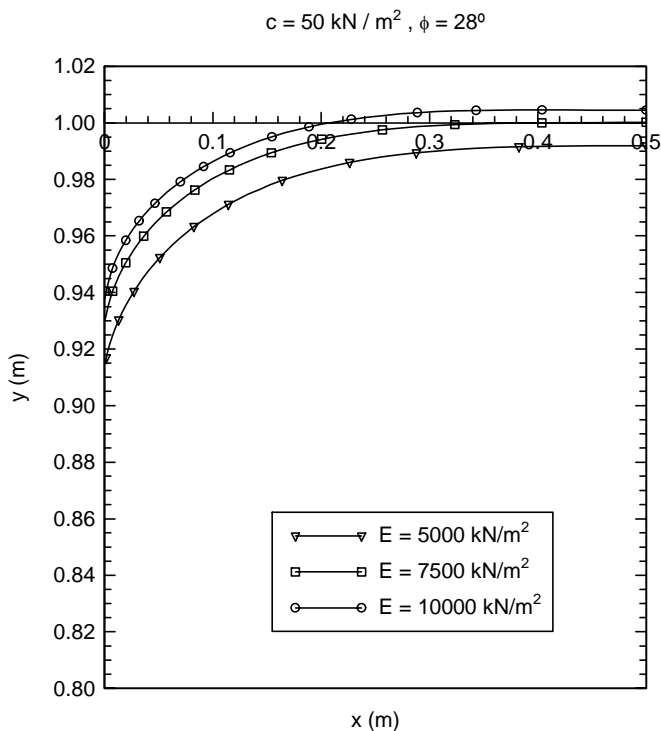


Figura C.7. Efecto de pretensado de anclajes. Deformada de la malla en función del módulo de elasticidad del suelo (PLAXIS)

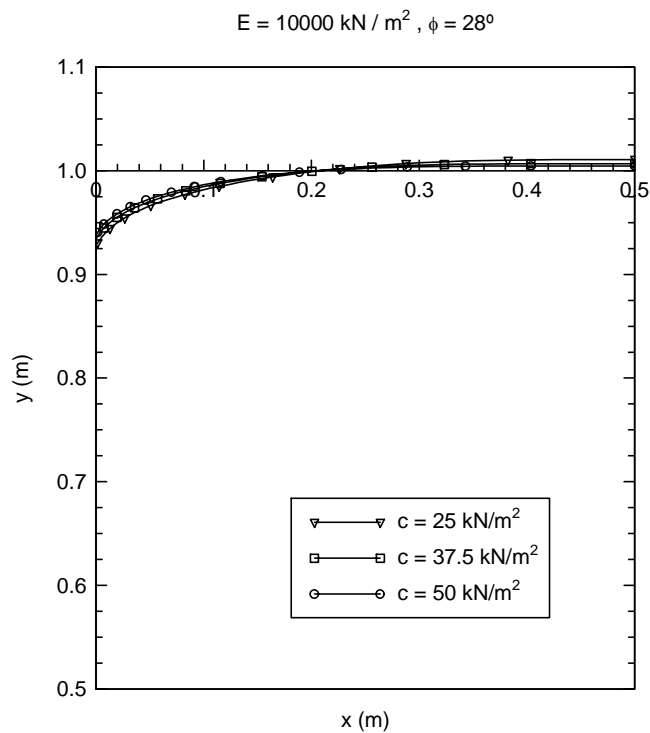


Figura C.8. Efecto de pretensado de anclajes. Deformada de la malla en función de la cohesión del suelo (PLAXIS)

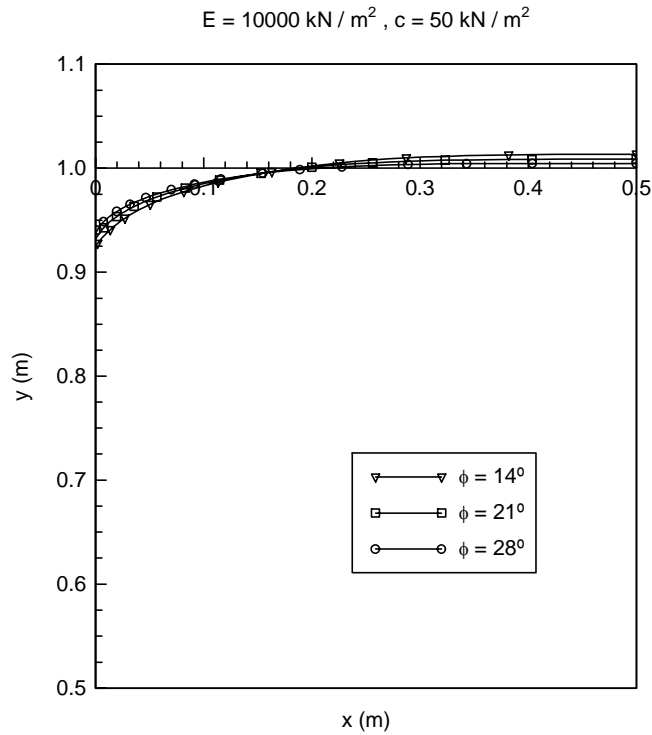


Figura C.9. Efecto de pretensado de anclajes. Deformada de la malla en función del ángulo de rozamiento del suelo (PLAXIS)

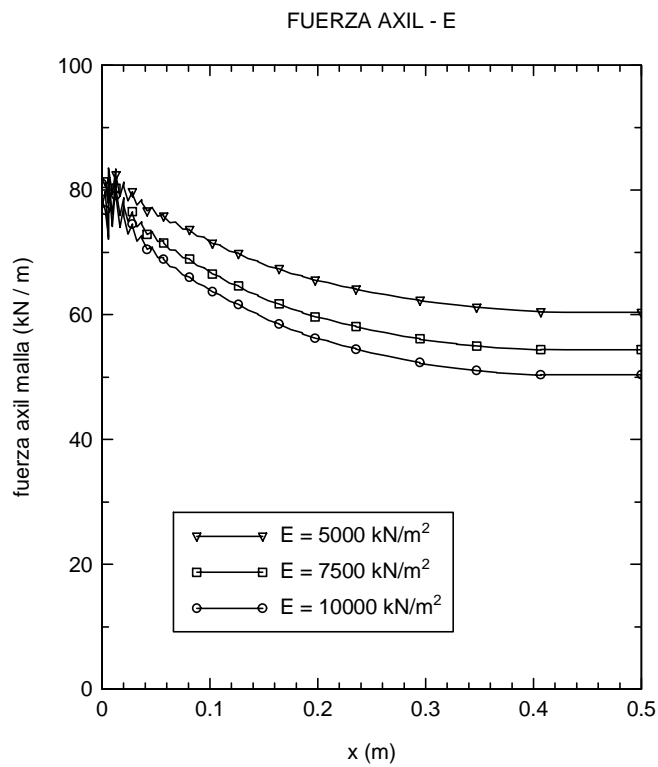


Figura C.10. Efecto de pretensado de anclajes. Fuerza axil en la malla en función del módulo de elasticidad del suelo (PLAXIS)

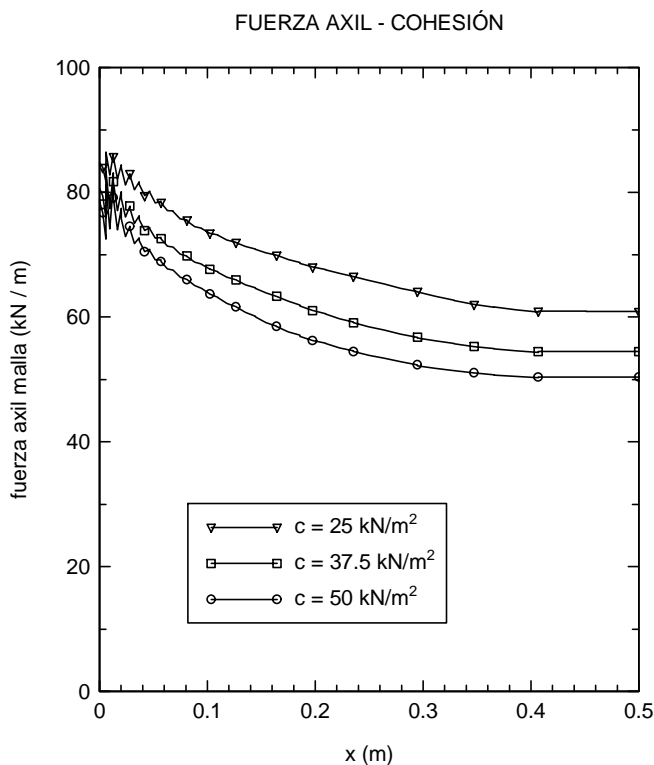


Figura C.11. Efecto de pretensado de anclajes. Fuerza axil en la malla en función de la cohesión del suelo (PLAXIS)

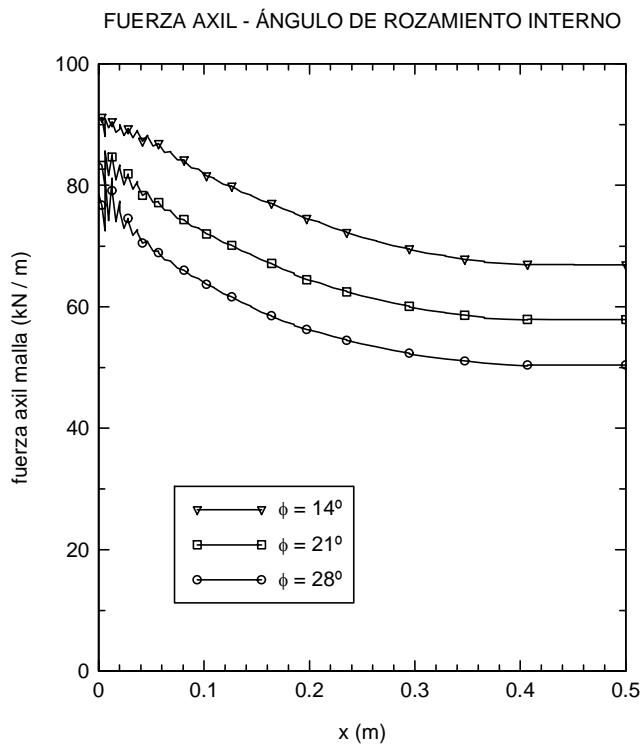


Figura C.12. Efecto de pretensado de anclajes. Fuerza axil en la malla en función del ángulo de rozamiento del suelo (PLAXIS)

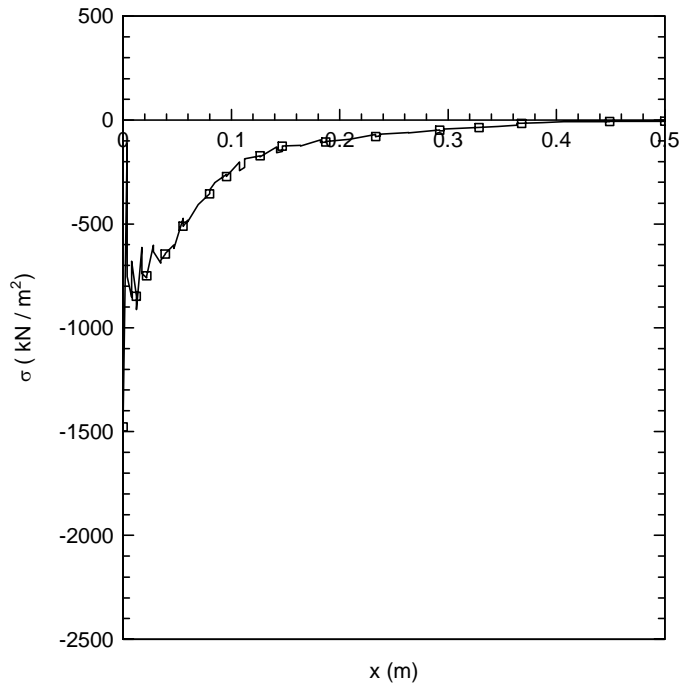


Figura C.13. Efecto de pretensado de anclajes. Tensiones normales en una sección de suelo bajo la malla (PLAXIS)

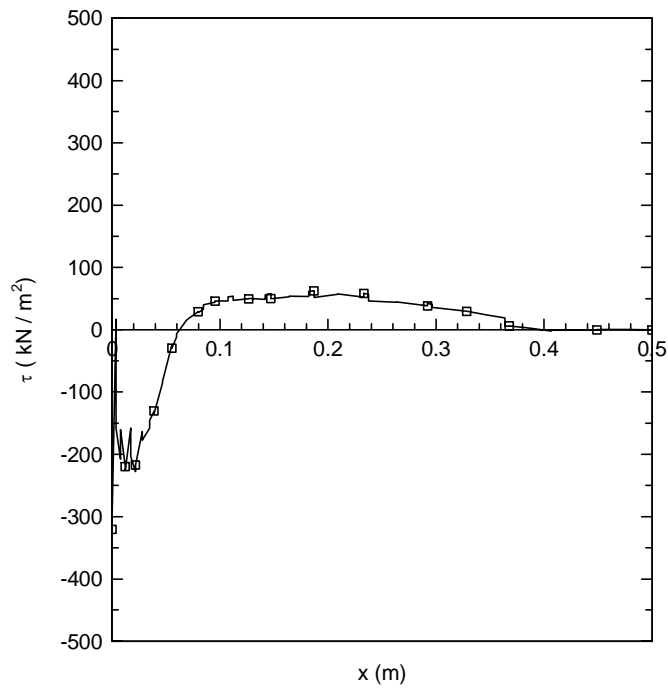


Figura C.14. Efecto de pretensado de anclajes. Tensiones tangenciales en una sección de suelo bajo la malla (PLAXIS)

C.4. EFECTO DE LA INESTABILIDAD SUPERFICIAL. RESULTADOS DEL PROGRAMA PLAXIS

En las figuras siguientes se presentan los resultados obtenidos, con el programa PLAXIS, del análisis de la celda elemental correspondiente al estudio de la pérdida de estabilidad superficial. Los resultados se refieren a la influencia de la cohesión, el ángulo de rozamiento interno, y el ángulo de dilatancia; en la deformada de la malla, y en la fuerza axial a la que se ve sometida.

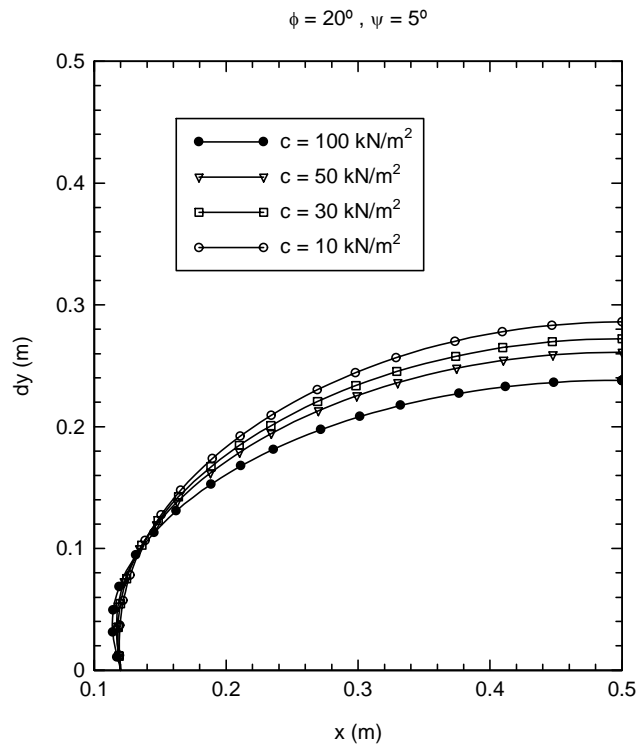


Figura C.15. Desplazamiento lateral impuesto. Influencia de la cohesión en la deformada de la malla (PLAXIS)

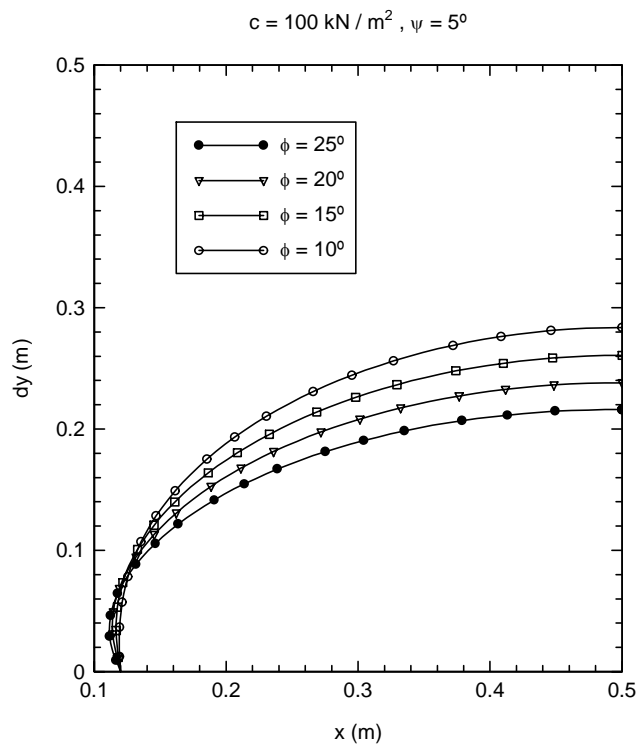


Figura C.16. Desplazamiento lateral impuesto. Influencia del ángulo de rozamiento en la deformada de la malla (PLAXIS)

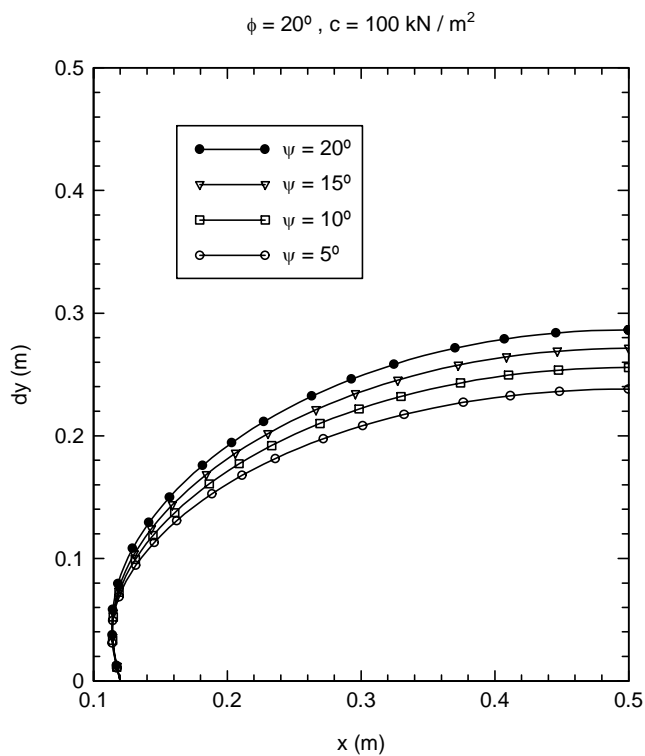


Figura C.17. Desplazamiento lateral impuesto. Influencia del ángulo de dilatación en la deformada de la malla (PLAXIS)

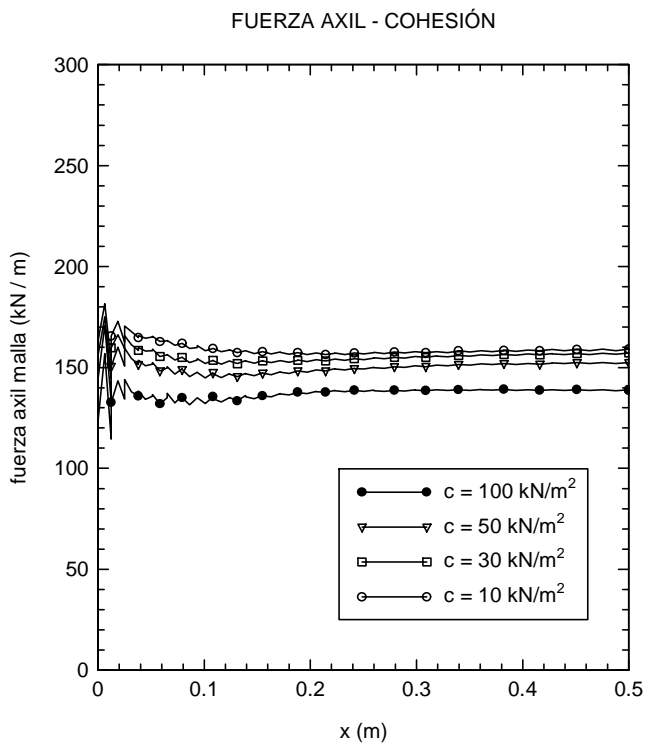


Figura C.18. Desplazamiento lateral impuesto. Fuerza axial en la malla en función de la cohesión del suelo (PLAXIS)

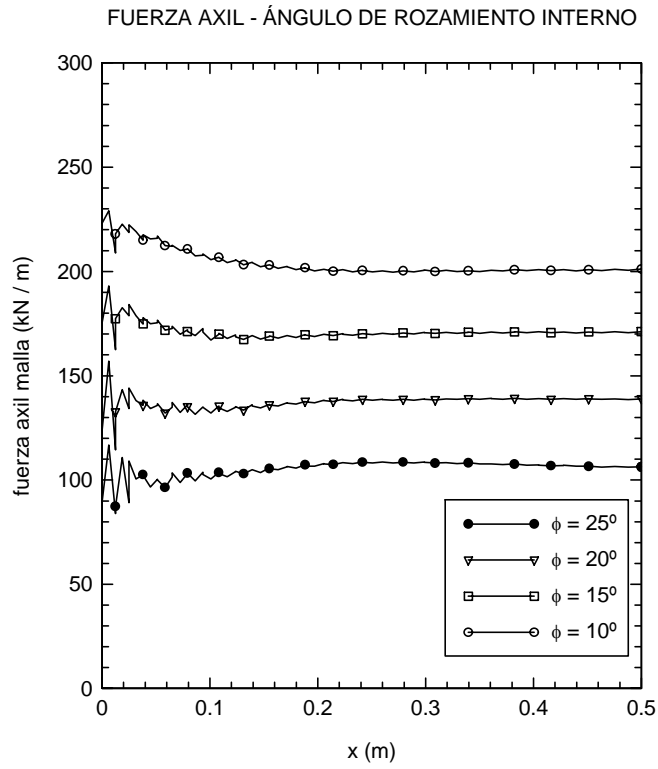


Figura C.19. Desplazamiento lateral impuesto. Fuerza axil en la malla en función del ángulo de rozamiento del suelo (PLAXIS)

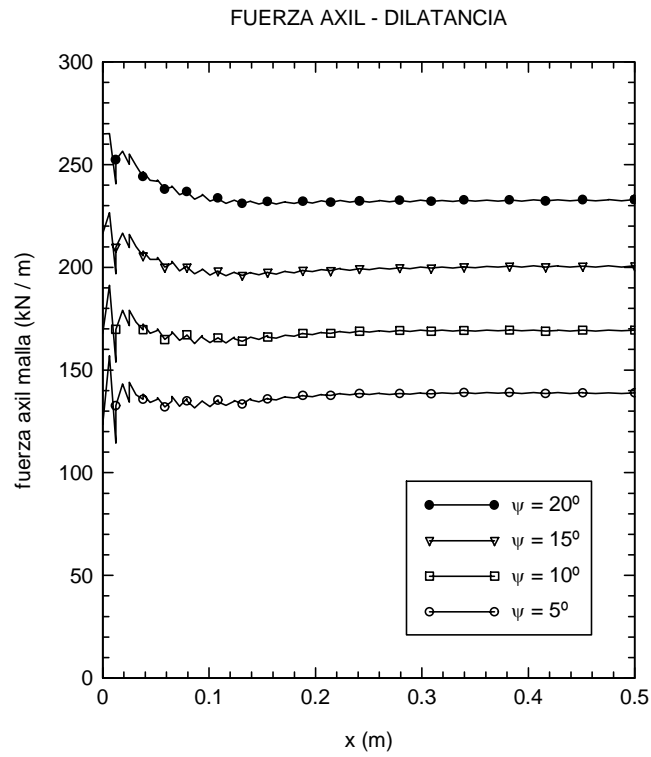


Figura C.20. Desplazamiento lateral impuesto. Fuerza axial en la malla en función del ángulo de dilatación del suelo (PLAXIS)

C.5. EFECTO CONJUNTO DEL PRETENSADO DE ANCLAJES E INESTABILIDAD SUPERFICIAL. RESULTADOS DEL PROGRAMA PLAXIS

Se presentan los gráficos correspondientes a los resultados que se obtienen con respecto a la deformada que adquiere la malla y la fuerza axial en ella, debidos al efecto conjunto del pretensado de anclajes y la inestabilidad superficial.

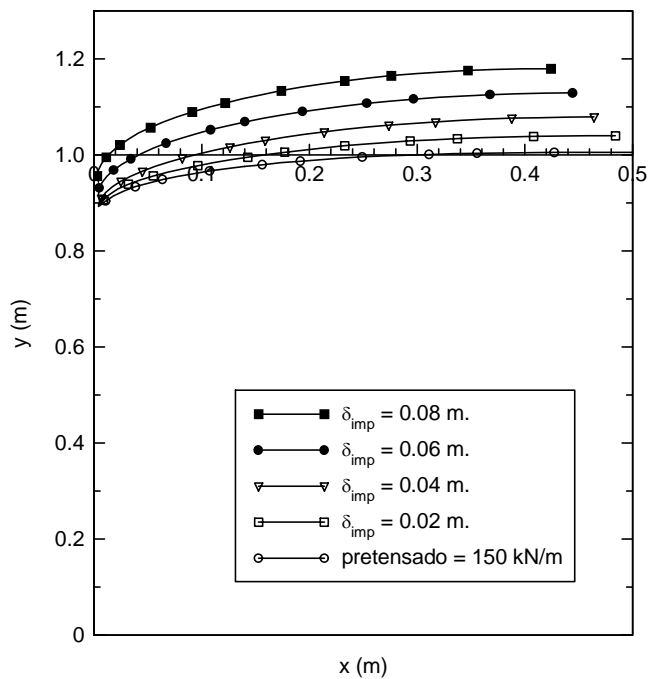


Figura C.21. Efecto pretensado-inestabilidad. Deformada de la malla en función del desplazamiento impuesto (PLAXIS)

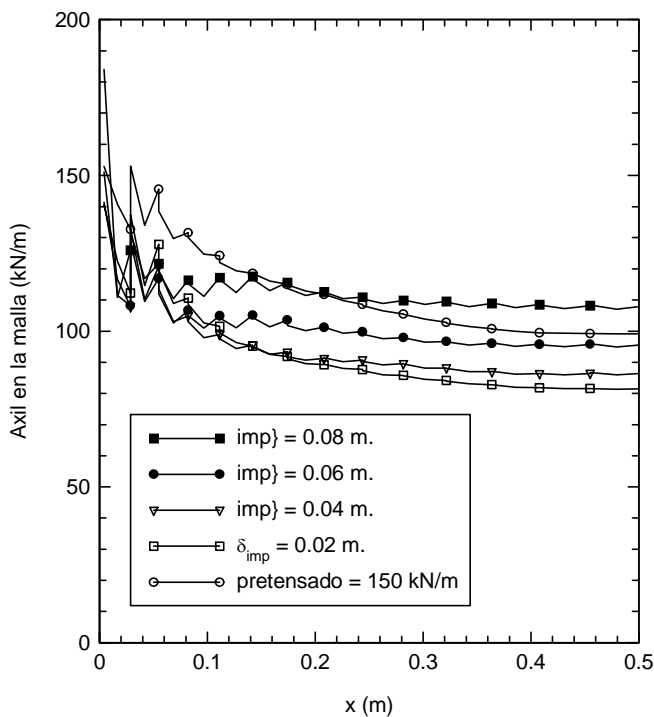


Figura C.22. Efecto pretensado-inestabilidad. Fuerza axil en la malla en función del desplazamiento impuesto (PLAXIS)

C.6. MALLA DE REFUERZO SOMETIDA A PRESIONES EN SUPERFICIE

Se presentan los resultados sobre la deformada de la malla, en función del espesor de suelo considerado, obtenidos con el empleo del programa CRISP90.

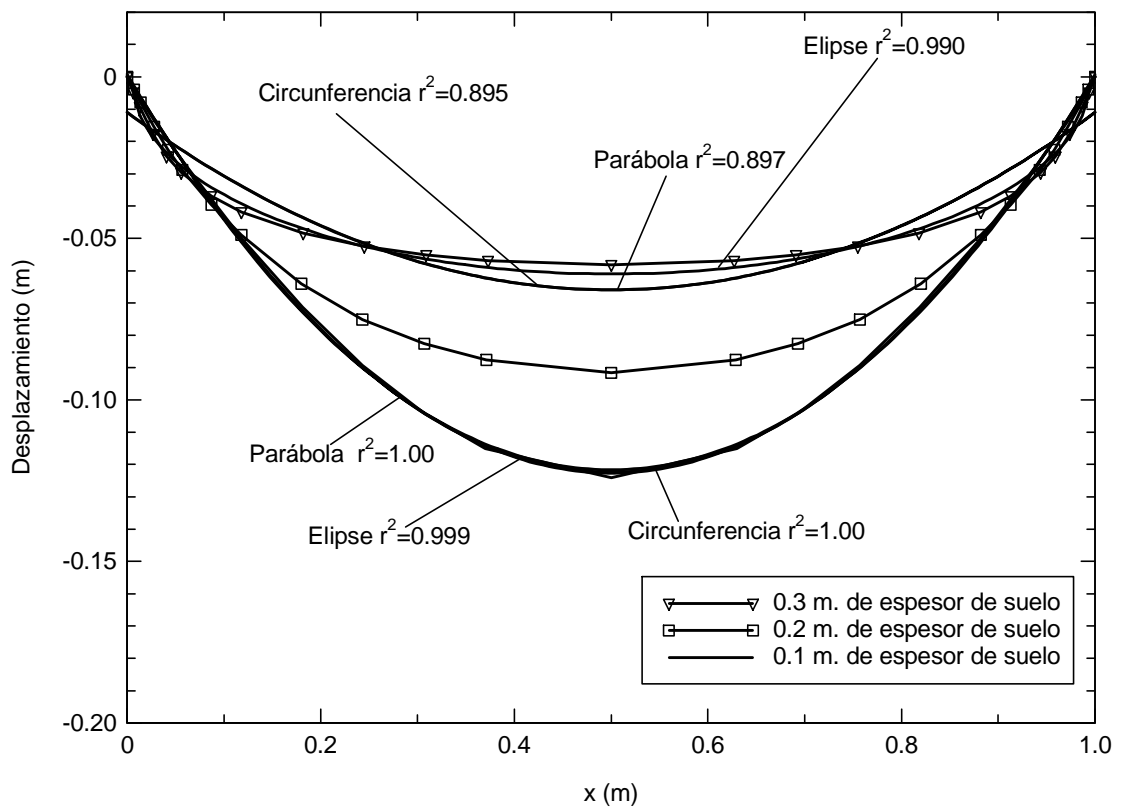


Figura C.23. Malla sometida a presión en superficie. Deformada de la malla de refuerzo en función del espesor de suelo (CRISP90)

C.7. EFECTO DE LA DILATANCIA DEL SUELO

Se presentan los resultados relacionados con el análisis con el programa PLAXIS, del efecto de la dilatancia del suelo.

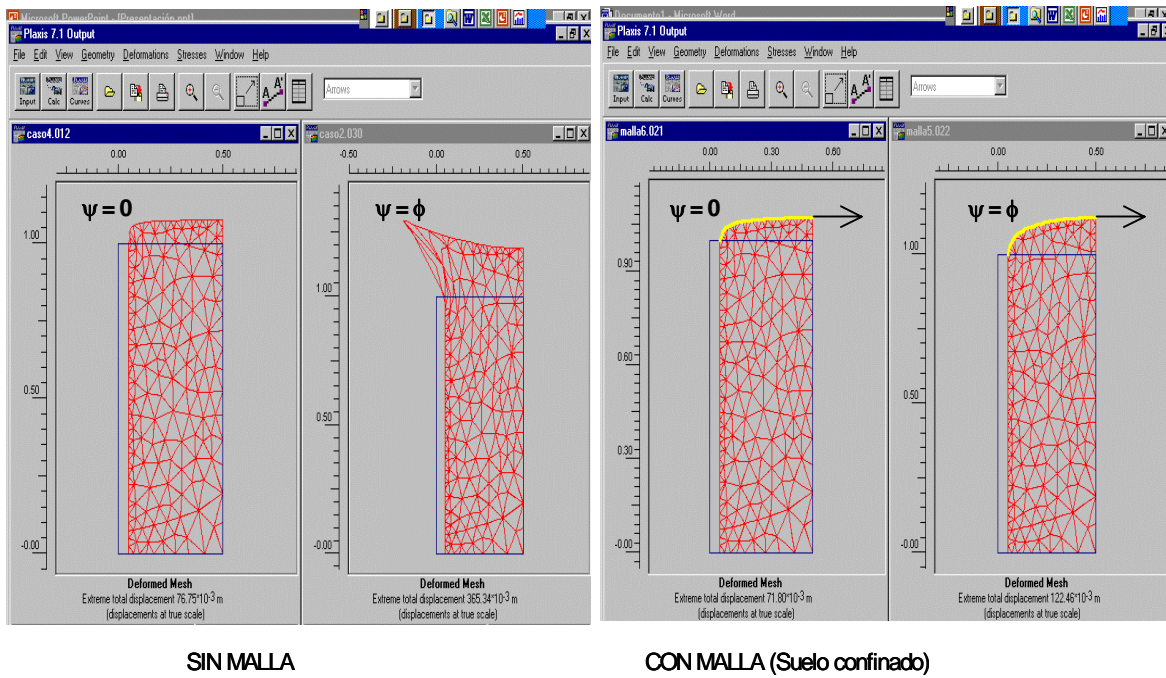


Figura C.24. Efecto de la dilatancia. Deformada de la malla (PLAXIS)

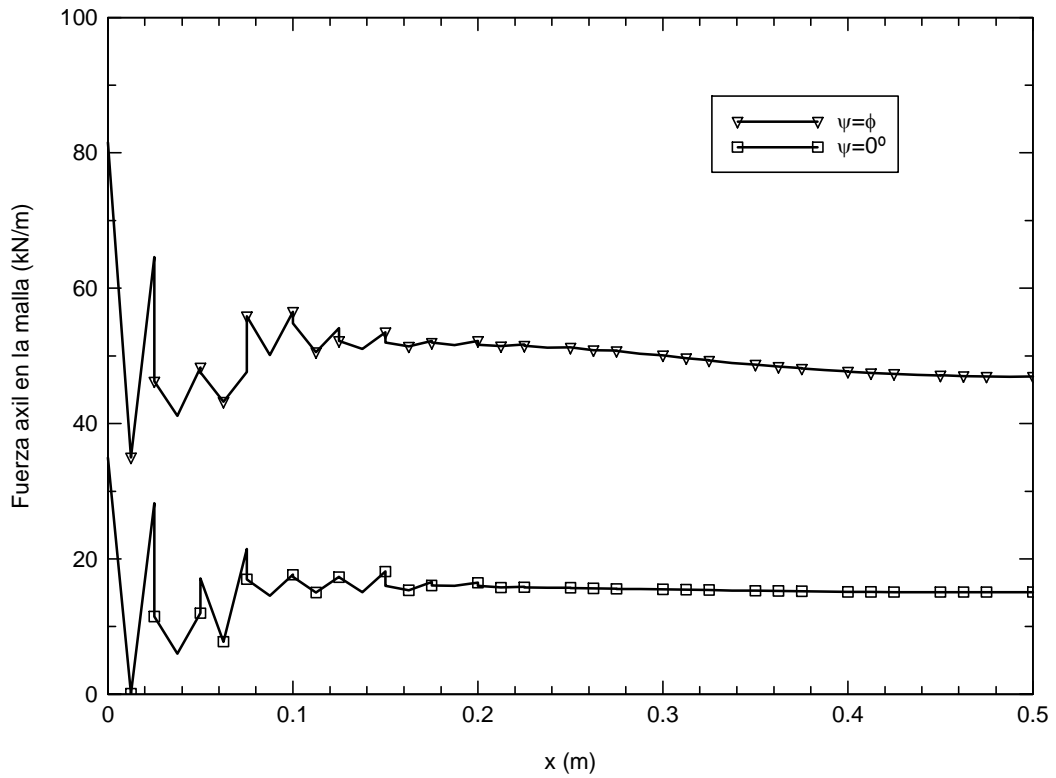


Figura C.25. Efecto de la dilatancia. Fuerza axial en la malla de refuerzo (PLAXIS)

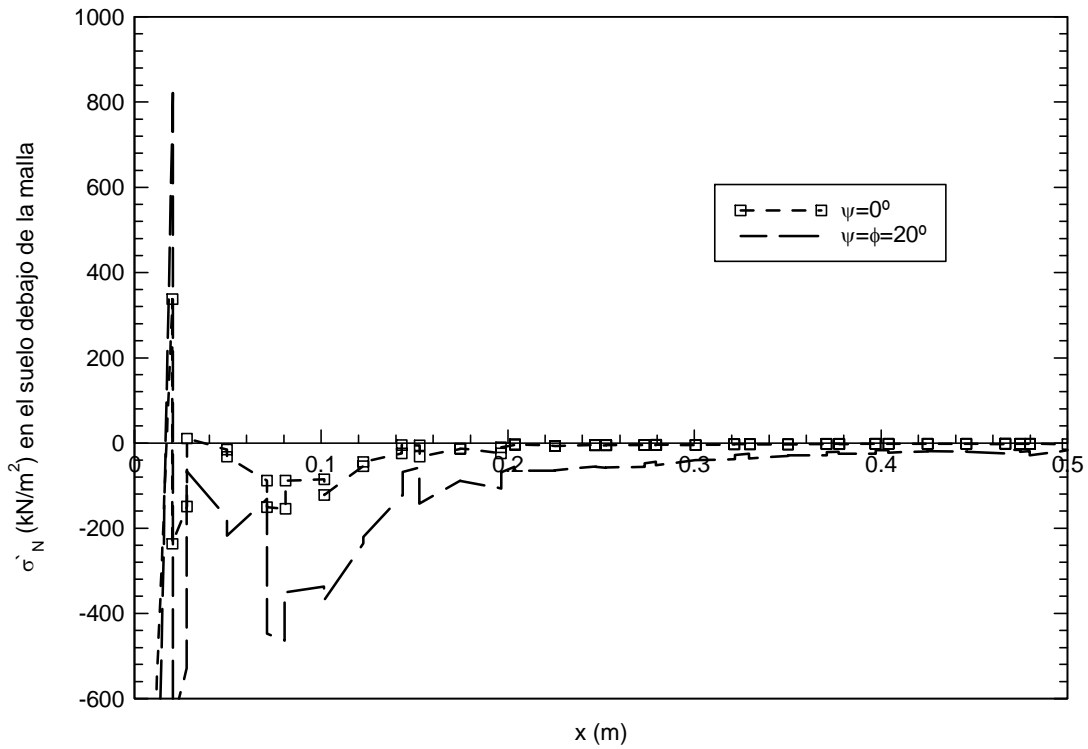


Figura C.26. Efecto de la dilatancia. Tensiones en el suelo bajo la malla de refuerzo (PLAXIS)

C.8. RESULTADOS DE LA REPRODUCCIÓN DEL ENSAYO DE CARGA DISTRIBUIDA

Se presentan los gráficos correspondientes a los resultados que se obtienen con respecto a la deformada que adquiere la malla debido a la acción de la carga distribuida en su superficie. Cada uno de los resultados obtenidos se acompaña del correspondiente al ensayo de laboratorio.

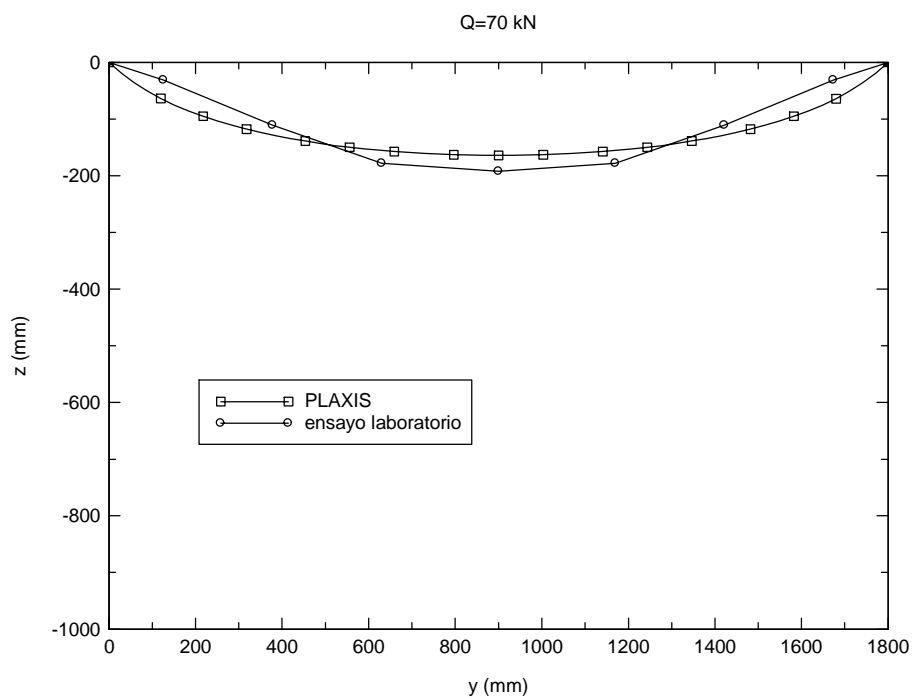


Figura C.27. Deformada de la malla de refuerzo sometida a carga distribuida sobre su superficie. Resultados numéricos (Q = 70 kN)

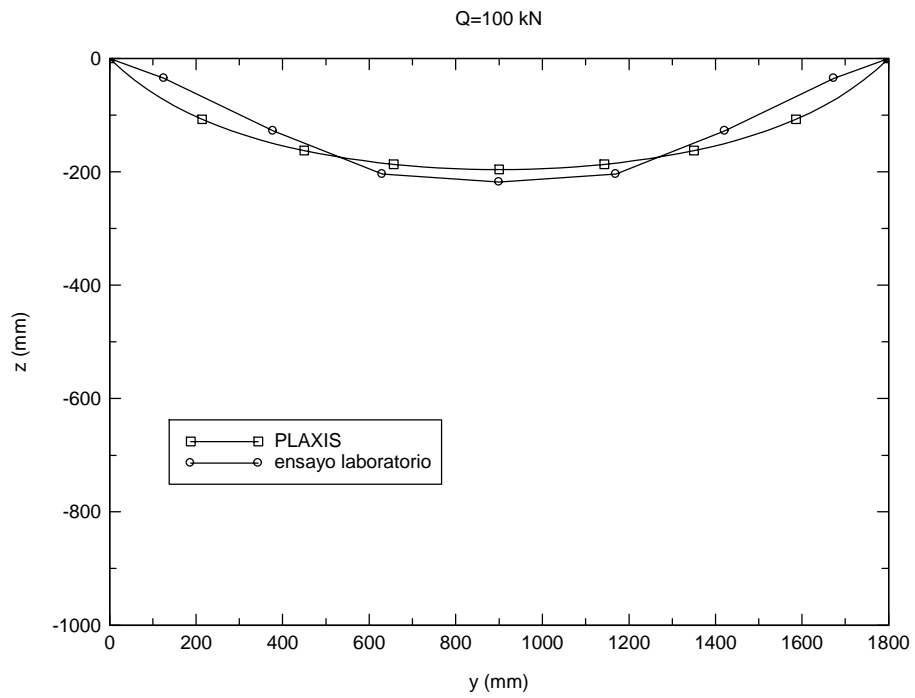


Figura C.28. Deformada de la malla de refuerzo sometida a carga distribuida sobre su superficie. Resultados numéricos (Q = 100 kN)

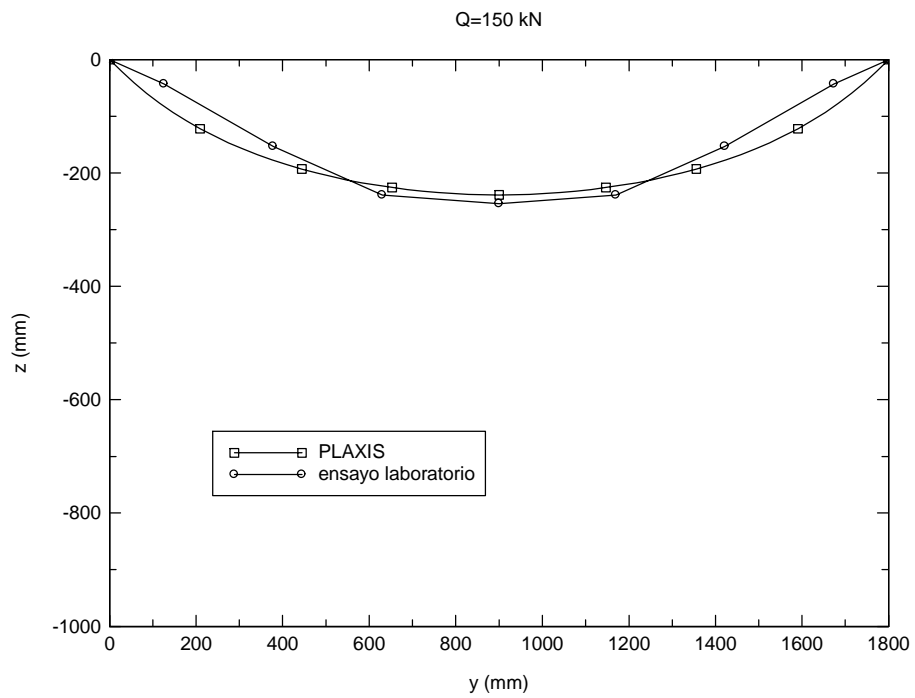


Figura C.29. Deformada de la malla de refuerzo sometida a carga distribuida sobre su superficie. Resultados numéricos (Q = 150 kN)

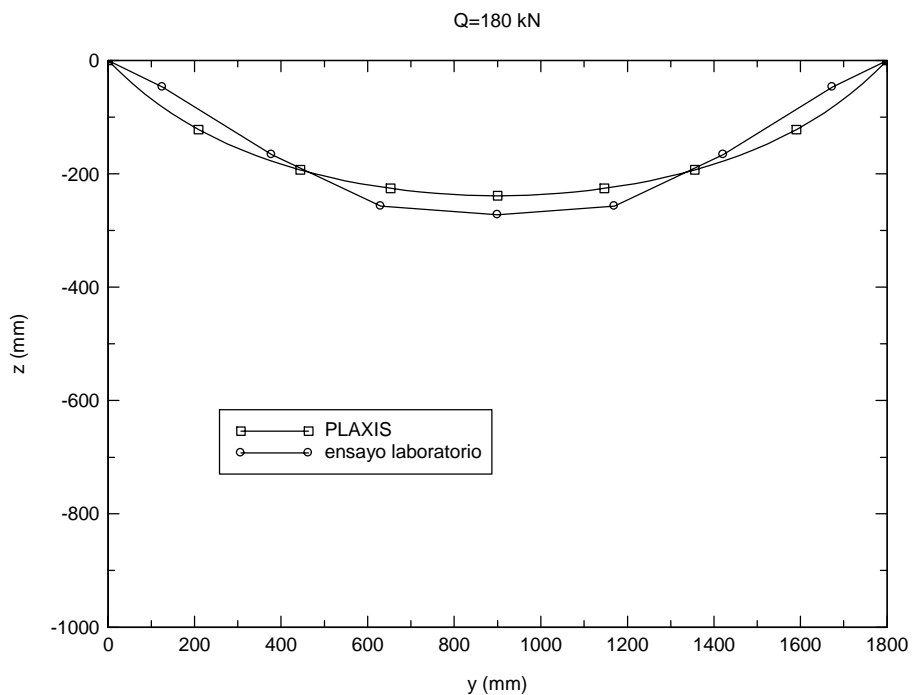


Figura C.30. Deformada de la malla de refuerzo sometida a carga distribuida sobre su superficie. Resultados numéricos (Q = 180 kN)

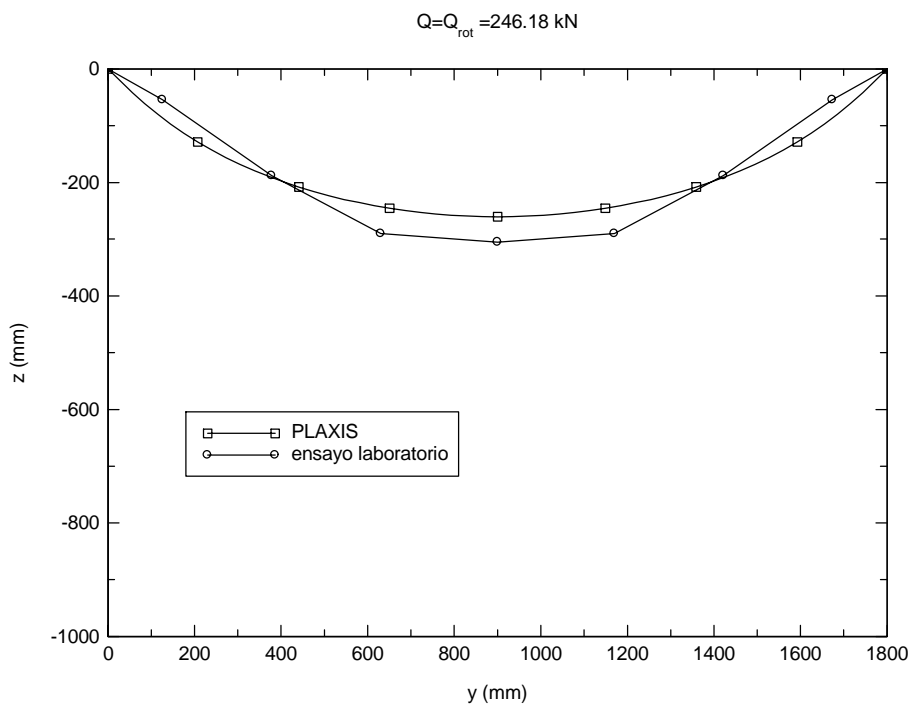


Figura C.31. Deformada de la malla de refuerzo sometida a carga distribuida sobre su superficie. Resultados numéricos (Q = Q_{rot} = 246.18 kN)

APÉNDICE D. DIAGRAMAS DE FLUJO DEL PROGRAMA OXFEM

D.1. DIAGRAMA DE FLUJO DEL PROGRAMA OXFEM

En la Figura D.1 se presenta el diagrama de flujo correspondiente al programa OXFEM. En él se presentan las subrutinas más importantes y representativas, las cuales se describen de forma muy breve a continuación.

- maxdim.- establece las máximas dimensiones para varias variables empleadas por el programa
- values.- establece valores de varias variables empleadas por el programa
- utils.- establece el valor de varias constantes empleadas por el programa
- var_restart.- definición de variables globales del programa
- not_restart.- definición de variables globales del programa
- var_alloc.- definición de variables dinámicas
- startup.- escribe en el fichero de salida los encabezados correspondientes al análisis
- initialise.- inicializa las variables necesarias para el cálculo
- allocate_arrays.- asignación de matrices empleadas por el programa
- input.- lee el fichero de entrada de datos
- echo_input_data.- escribe los datos del fichero de entrada a otro fichero
- standard_set_up.- establece varios vectores y matrices antes del comienzo del cálculo
- proset.- genera la matriz que contiene la propiedades de los elementos
- codes.- genera las matrices que relacionan el número de un grado de libertad con el número de nodo, y al revés
- initia.- calcula las tensiones iniciales

- body forces.- calcula las fuerzas correspondientes al peso propio
- external loads.- establece las cargas exteriores para cada fase de cálculo
- distrib loads.- establece las cargas distribuidas para cada fase de cálculo
- excavation.- establece las fuerzas debidas a la excavación o adicción de elementos para cada fase de cálculo
- prescribed disps.- establece los desplazamientos impuestos
- bound conds.- establece las condiciones de contorno
- change properties.- cambia las propiedades de los elementos si es necesario
- surface loads.- calcula el vector de fuerzas nodales equivalentes
- frontl.- ensambla las matrices de rigidez K de los elementos, y resuelve $\Delta F = K \cdot \Delta \delta$ obteniendo el incremento de desplazamientos
- elcod.- calcula las coordenadas de los nodos de un elemento
- stiffness.- calcula la matriz de rigidez de un elemento
- gauss.- calcula las funciones y pesos de integración
- shape.- calcula las funciones de forma
- bmatrix.- calcula la matriz B relacionada con la geometría del problema
- dmorg.- selecciona la subrutina adecuada para calcular la matriz de rigidez de un elemento, según el modelo de comportamiento del elemento
- update.- actualiza el valor de las tensiones y de las fuerzas
- strain.- calcula los incrementos de deformación correspondientes a los incrementos de desplazamiento

- stress.- calcula las tensiones correspondientes a un incremento de las deformaciones
- elast.- calcula el incremento de tensiones dentro del rango elástico
- plast.- llama a la subrutina correspondiente según el modelo de comportamiento, la cual calcula el incremento de tensiones en el rango plástico
- inter.- llama a la subrutina correspondiente según el modelo de comportamiento, la cual calcula la intersección con la superficie de plastificación
- yout.- llama a la subrutina correspondiente según el modelo de comportamiento, la cual comprueba si el punto se encuentra en una zona válida del espacio de tensiones o no
- dyfun.- llama a la subrutina correspondiente según el modelo de comportamiento, la cual calcula el incremento del valor de la función de plastificación
- numint.- calcula los incrementos de tensiones mediante la ecuación $\dot{\sigma} = D \cdot \dot{\varepsilon}$, aplicando el método de Runge-Kutta
- force.- calcula las fuerzas nodales equivalentes a las tensiones
- check_converge.- comprueba la convergencia de la solución
- coord_update.- actualiza las coordenadas en análisis con cambio de geometría
- step_output.- escribe resultados correspondientes a un escalón de carga en los ficheros de salida
- reset_displacements.- pone los desplazamientos a cero si así está indicado en la fase de cálculo
- estimate_end.- estima el tiempo restante hasta el final del análisis

- stage_output.- escribe resultados correspondientes a cada fase del análisis en los ficheros de salida
- end_output.- salida y limpieza de las variables empleadas en el cálculo
- deallocate_arrays.- desasignación de matrices empleadas en el programa





Figura D.1. Diagrama de flujo del programa OXFEM

D.2. SUBROUTINAS MODIFICADAS Y CREADAS PARA INTRODUCCIÓN DEL MODELO MATSUOKA-NAKAI GENERALIZADO EN EL PROGRAMA OXFEM

En la Figura D.2 se presenta de nuevo el diagrama de flujo correspondiente al diagrama OXFEM, indicando en este caso mediante subrayado las subrutinas que ha sido necesario modificar para introducir el modelo de comportamiento Matsuoka-Nakai generalizado, y mediante sombreado las nuevas subrutinas que ha sido necesario crear y que se describen brevemente a continuación.

- mtymd.- calcula la matriz de rigidez de un elemento cuyo modelo de comportamiento es el de Matsuoka-Nakai generalizado
- plastm.- calcula el incremento de tensiones en el rango plástico para elementos con modelo de comportamiento Matsuoka-Nakai generalizado
- intm.- calcula la intersección con la superficie de plastificación para elementos con modelo de comportamiento Matsuoka-Nakai generalizado
- outm.- comprueba si un punto de Gauss se encuentra en una zona válida del espacio de tensiones o no, para elementos con modelo de comportamiento Matsuoka-Nakai generalizado
- dfm.- calcula el incremento del valor de la función de plastificación para elementos con modelo de comportamiento Matsuoka-Nakai generalizado
- yfunm.- calcula el valor de la función de plastificación en un punto de Gauss, para elementos con modelo de comportamiento Matsuoka-Nakai generalizado
- matchkm1 y matchkm2. comprueban que los puntos de Gauss se encuentran en la zona válida del espacio de tensiones
- correctmc.- corrige las tensiones a la superficie de plastificación para elementos con modelo de comportamiento Matsuoka-Nakai generalizado
- vectorv.- calcula la dirección empleada en la corrección de tensiones para elementos con modelo de comportamiento Matsuoka-Nakai generalizado

- cosineteta.- calcula en ángulo que forma el eje correspondiente a $\sigma_1=\sigma_2=\sigma_3$, con el vector resultante de unir el vértice de la superficie de plastificación con un punto de gauss
- cosinetetamax.- calcula el ángulo de abertura máximo de la superficie de plastificación
- choosebi.- elige la solución correcta en la corrección de tensiones a la superficie de plastificación



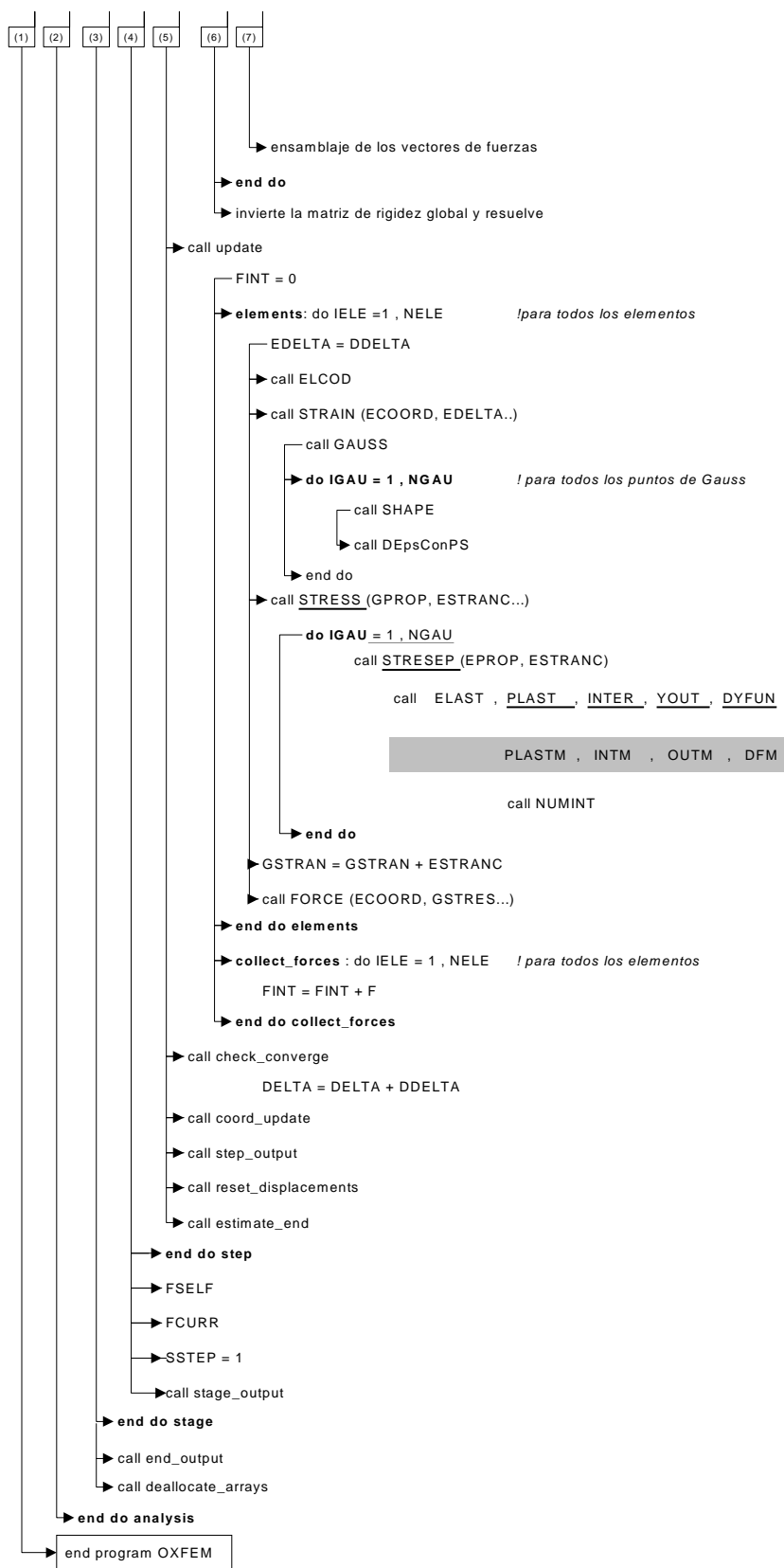


Figura D.2. Subrutinas modificadas y creadas para introducir el modelo de Matsuoka-Nakai generalizado en OXFEM

D.3. SUBROUTINAS MODIFICADAS Y CREADAS PARA INTRODUCCIÓN DE LA FORMULACIÓN DE LA DEGRADACIÓN EN EL PROGRAMA OXFEM

En la Figura D.3 se presenta un diagrama de flujo del programa OXFEM en el cual aparecen subrayadas las subrutinas que ha sido necesario modificar para introducir la formulación correspondiente a la degradación, y sombreada la que ha sido necesario crear llamada *degradation*. Esta subrutina llama a su vez a otras, también relacionadas con el cálculo de la degradación, para al final obtener el incremento de fuerzas en un escalón de carga, debidas al cambio del valor de la cohesión en los puntos de Gauss. A continuación se describen todas ellas.

- degradation.- es la subrutina general en la que al final se obtiene el incremento de fuerzas en un escalón de carga, debidas al cambio del valor de la cohesión en los puntos de Gauss
- stresdegra.- emplea el método de Runge-Kutta para la obtención del incremento de tensiones en un punto de Gauss, correspondiente al cambio del valor de la cohesión en un escalón de carga
- fixstresdegra.- emplea el método de Runge-Kutta para la obtención del incremento de tensiones en un punto de Gauss, correspondiente al cambio del valor de la cohesión en un escalón de carga, pero a diferencia de la anterior lo hace para un número fijo de pasos impuestos en el método de Runge-Kutta
- strsdegracal.- esta subrutina es llamada por las dos anteriores para calcular el incremento de tensiones en un punto de Gauss, correspondiente al cambio del valor de la cohesión, pero no del escalón de carga completo, sino de cada uno de los pasos en que se divide el método de Runge-Kutta
- origstrs.- corrige las tensiones de un punto de Gauss al vértice de la superficie de plastificación
- check_materia.- comprueba que el tipo de material es susceptible de ser degradado



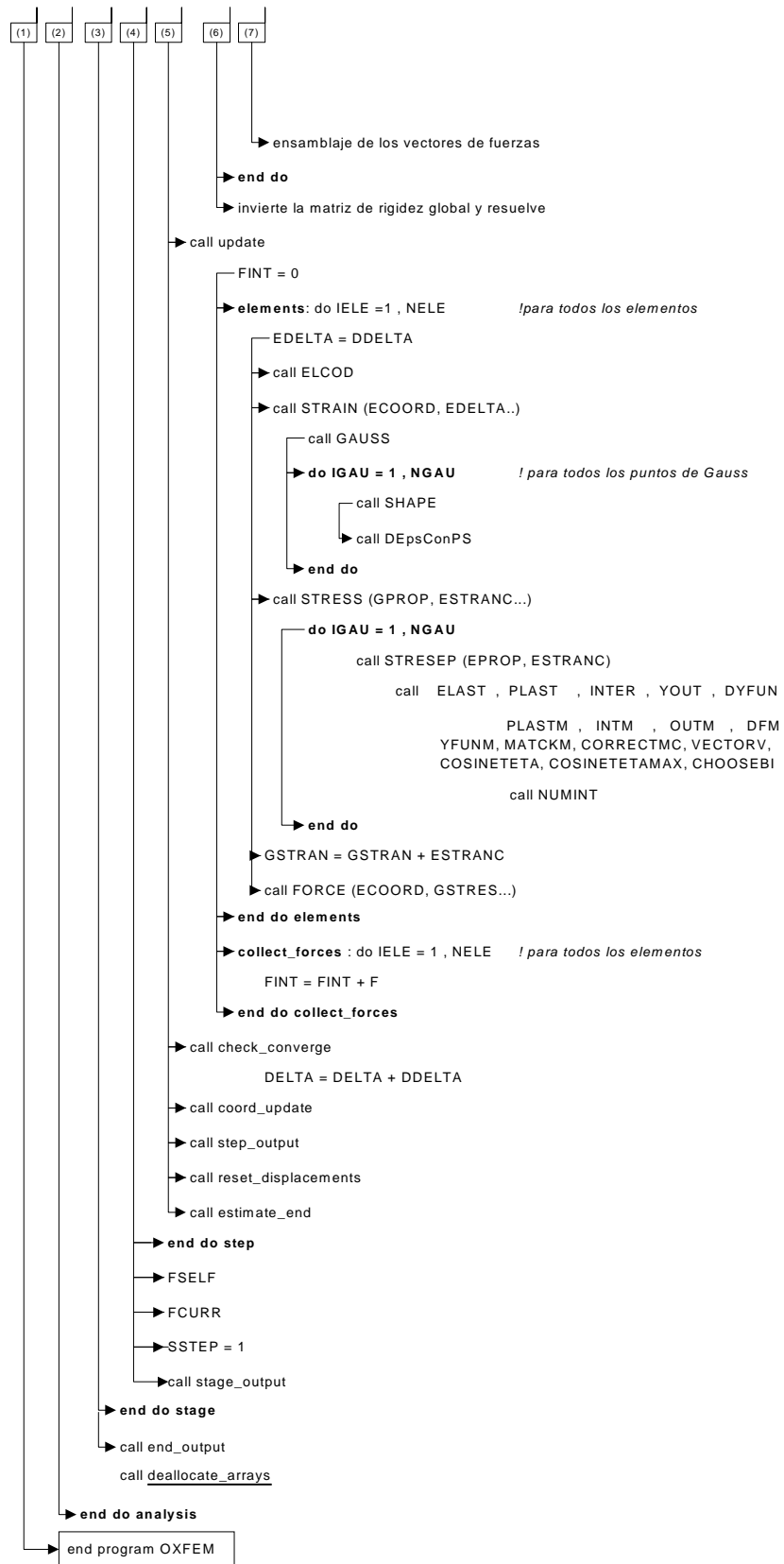


Figura D.3. Subrutinas modificadas y creadas para introducir la formulación de la degradación en OXFEM

**APÉNDICE E. RESULTADOS DE CARGA DE HUNDIMIENTO.
MODELO MATSUOKA-NAKAI GENERALIZADO**

E.1. RESULTADOS

En el Capítulo 5 se ha presentado el análisis de carga de hundimiento de una cimentación con objeto de verificar el funcionamiento del modelo de Matusoka-Nakai generalizado implementado en el programa OXFEM.

En este apéndice se presentan los gráficos correspondientes a los resultados obtenidos para los distintos casos analizados correspondientes a diferentes valores de los parámetros resistentes del suelo.

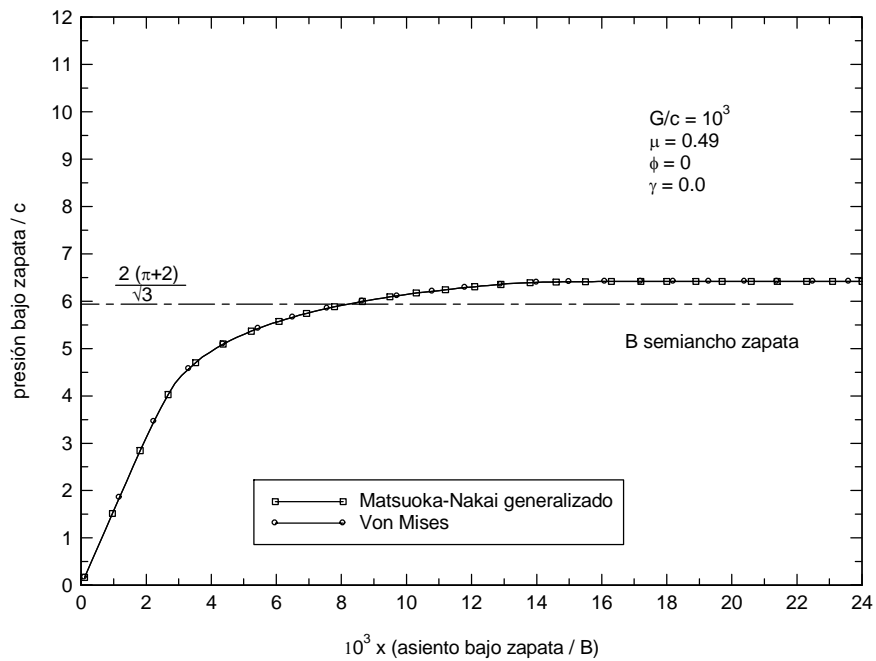


Figura E.1. Carga de hundimiento (Comparación Matsuoka-Nakai generalizado con $\phi = 0$ y Von Mises)

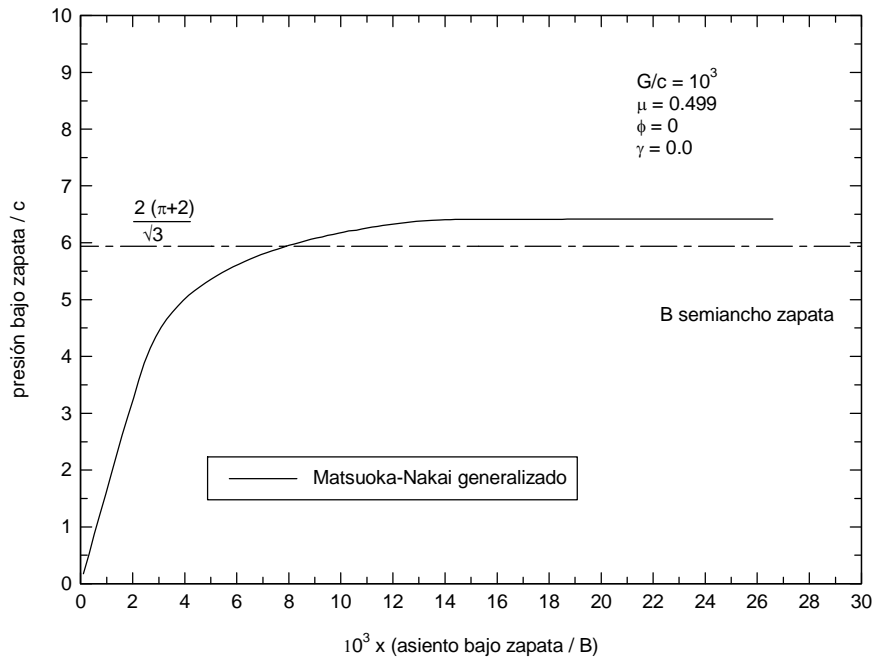


Figura E.2. Carga de hundimiento ($\phi = 0$)

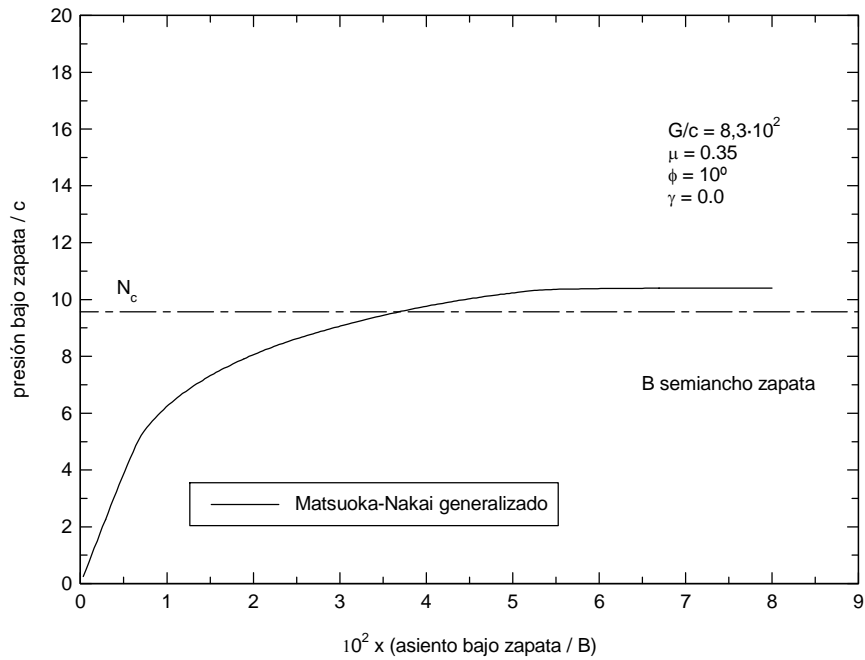


Figura E.3. Carga de hundimiento ($\phi = 10^\circ$)

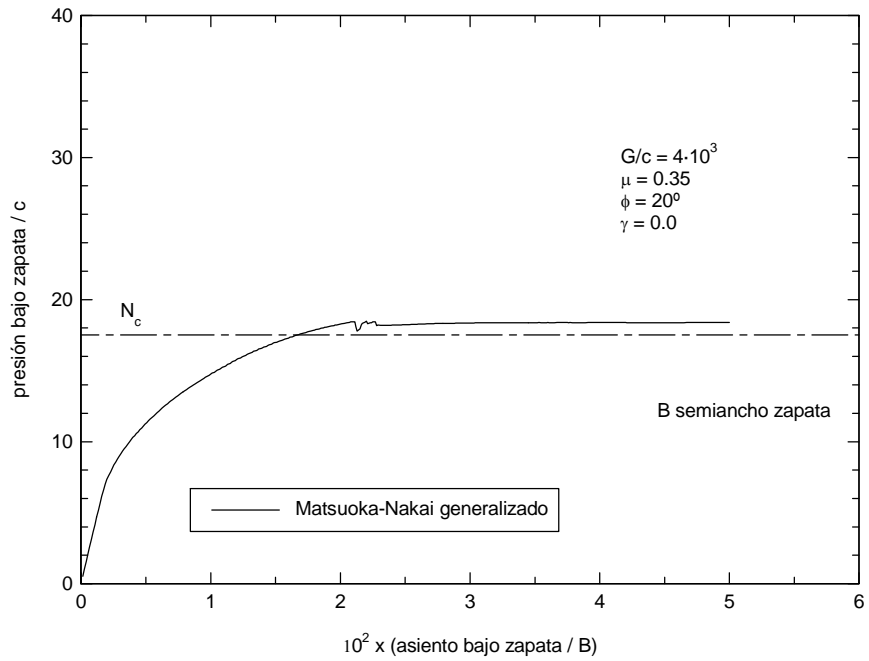


Figura E.4. Carga de hundimiento ($\phi = 20^\circ$)

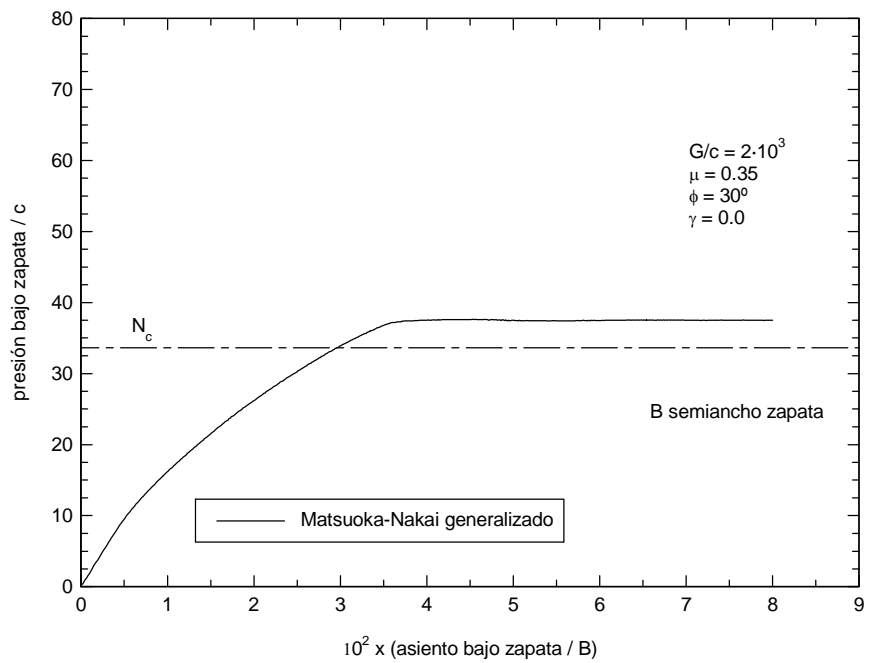


Figura E.5. Carga de hundimiento ($\phi = 30^\circ$)

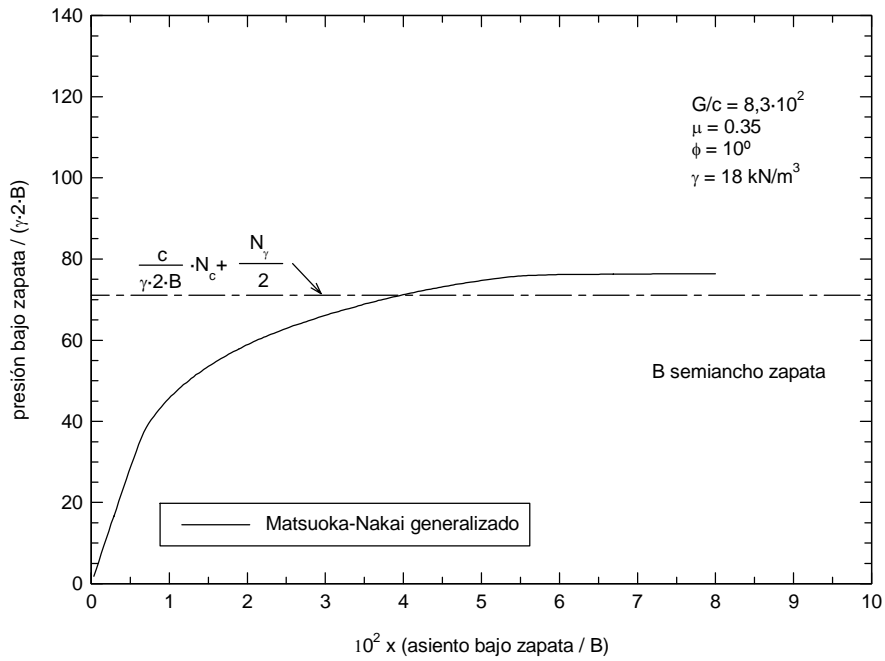


Figura E.6. Carga de hundimiento (c, ϕ, γ)

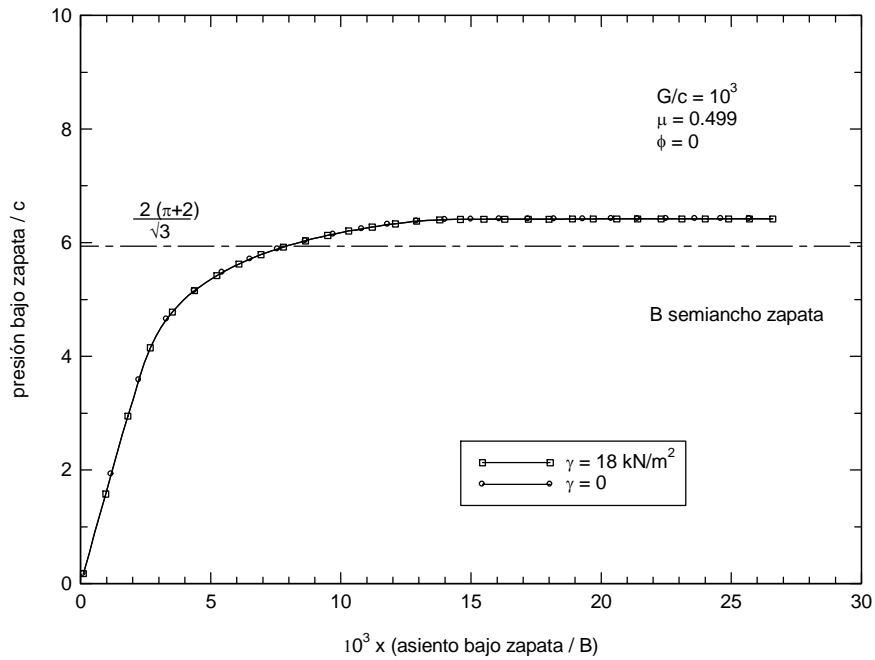


Figura E.7. Carga de hundimiento (c, γ)

**APÉNDICE F. RESULTADOS DEL ANÁLISIS DE DEGRADACIÓN
EN UNA CIMENTACIÓN SUPERFICIAL**

F.1. INTRODUCCIÓN

En el Capítulo 5 se ha presentado el análisis con el programa OXFEM de una cimentación superficial sometida en primer lugar a una fuerza vertical, y posteriormente a una degradación del terreno bajo el plano de cimentación.

Dicho análisis se realizó con objeto de comprobar el funcionamiento de la formulación desarrollada para representar la degradación del terreno en un caso más sencillo que el correspondiente a un talud. El análisis se ha realizado para dos casos, uno con ángulo de rozamiento nulo, y otro con ángulo de rozamiento igual a 15° . En el Capítulo 5 se han descrito las condiciones en cuanto a fuerza aplicada en la zona de la zapata, y en cuanto a las características de la degradación impuesta al terreno bajo ella para cada caso.

En este Apéndice se presentan los gráficos correspondientes a los resultados obtenidos. Por un lado se presentan las curvas carga-desplazamiento correspondientes a todo el proceso (aplicación de carga y fase de degradación del terreno), dadas de forma adimensional; y por otro, las curvas correspondientes al asiento que se va produciendo bajo el plano de cimentación a medida que avanzan los frentes de degradación, dadas también en forma adimensional. En estas últimas gráficas, los valores de las variables 'd1' y 'd2' representan la distancia recorrida hasta el momento por el primer y segundo frente de degradación respectivamente.

F.2. RESULTADOS CORRESPONDIENTES AL CASO $\phi = 0^\circ$

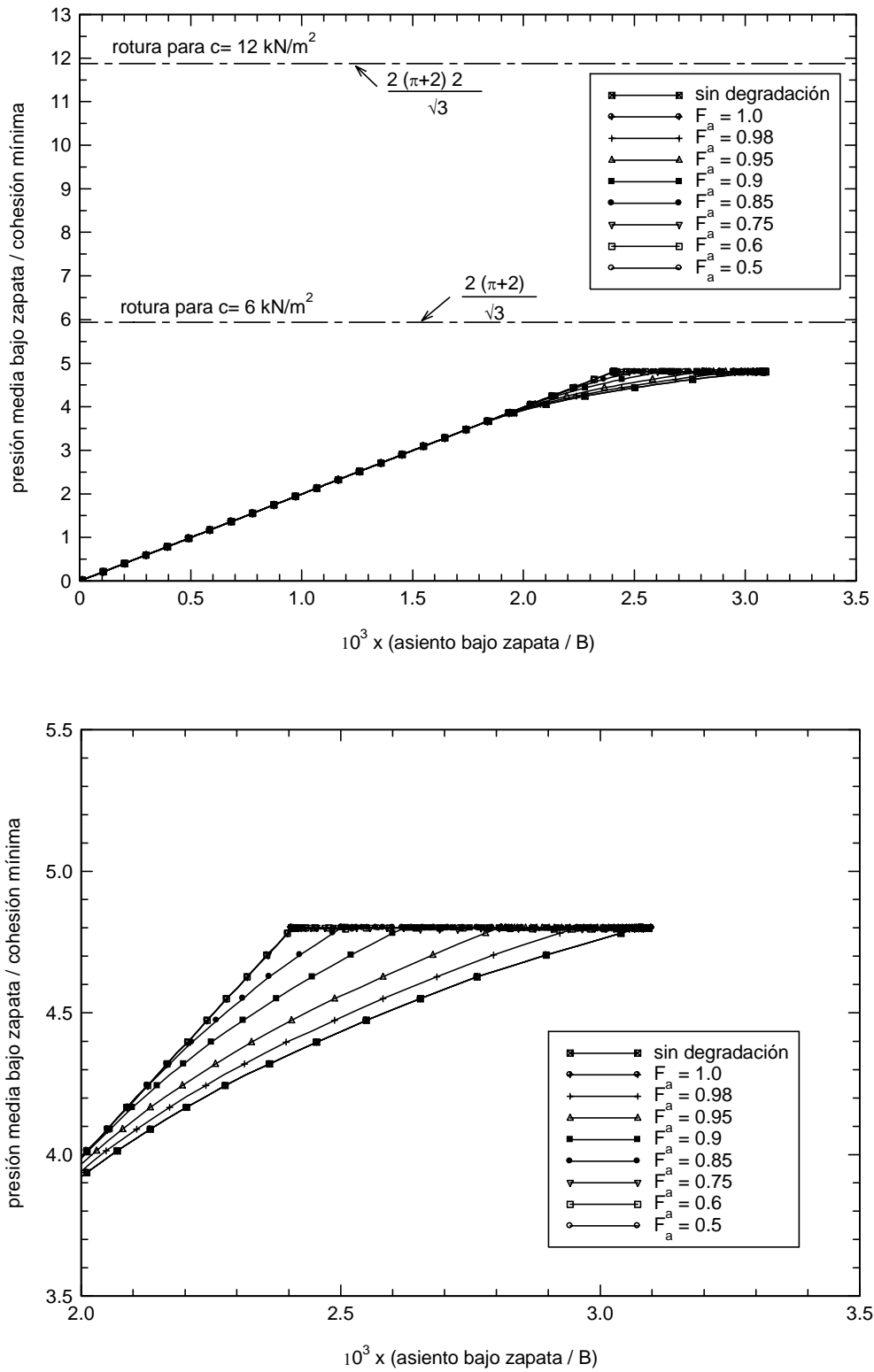


Figura F.1. Resultados de degradación en el caso de una cimentación superficial ($\phi = 0$)

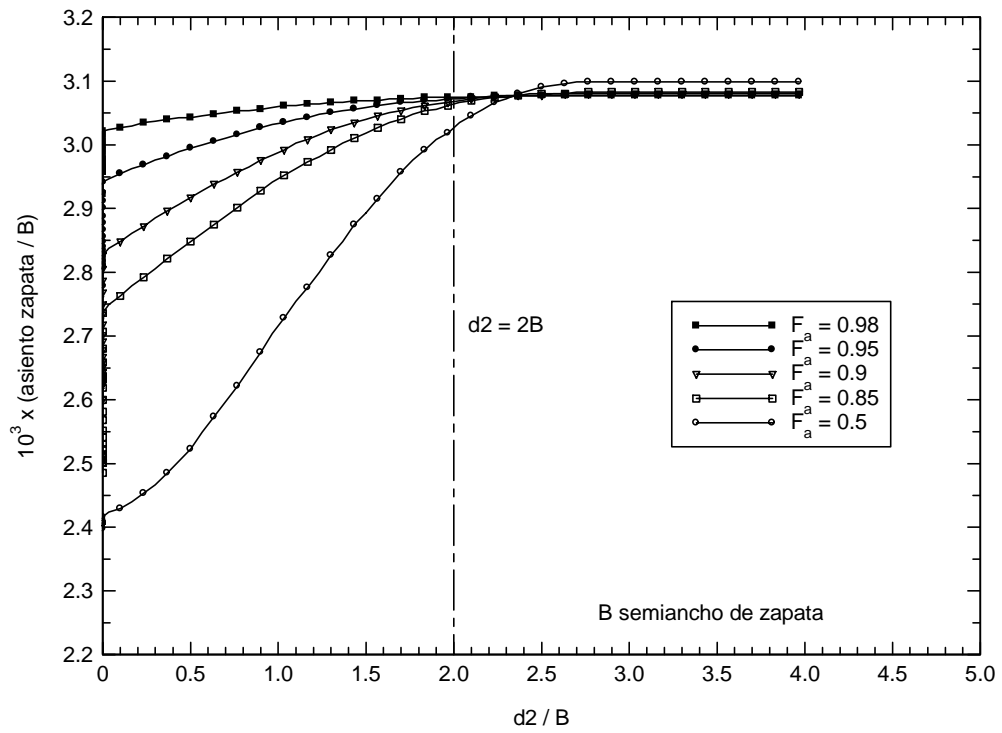
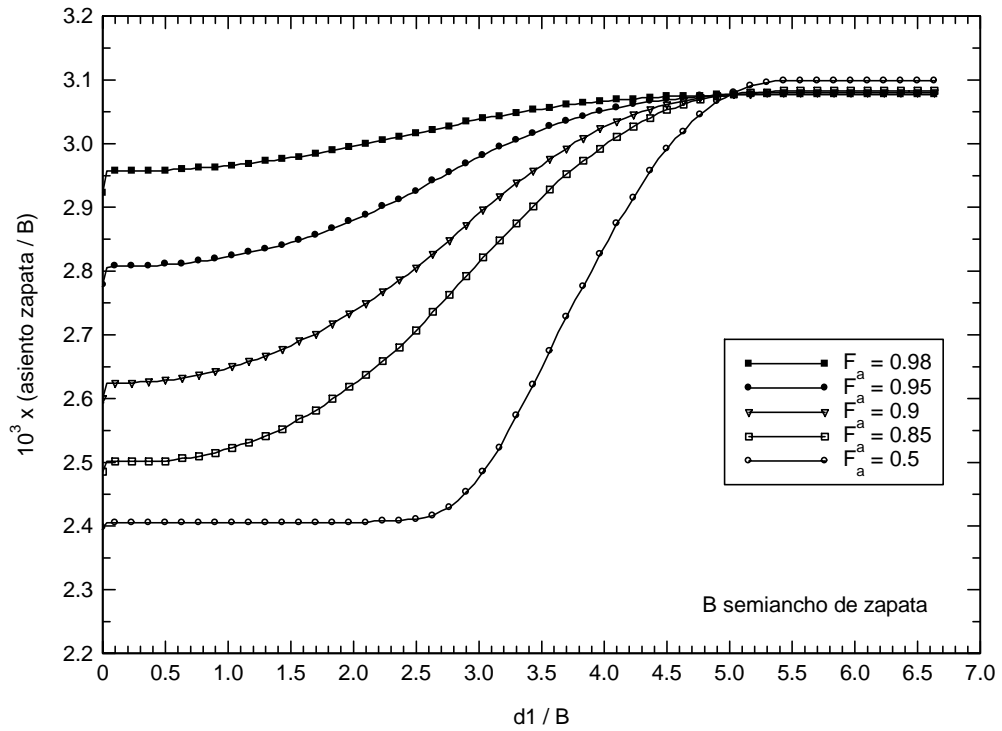


Figura F.2. Relación entre asiento bajo cimentación y frentes de degradación en el caso de una cimentación superficial ($\phi = 0$)

F.3. RESULTADOS CORRESPONDIENTES AL CASO $\phi = 15^\circ$

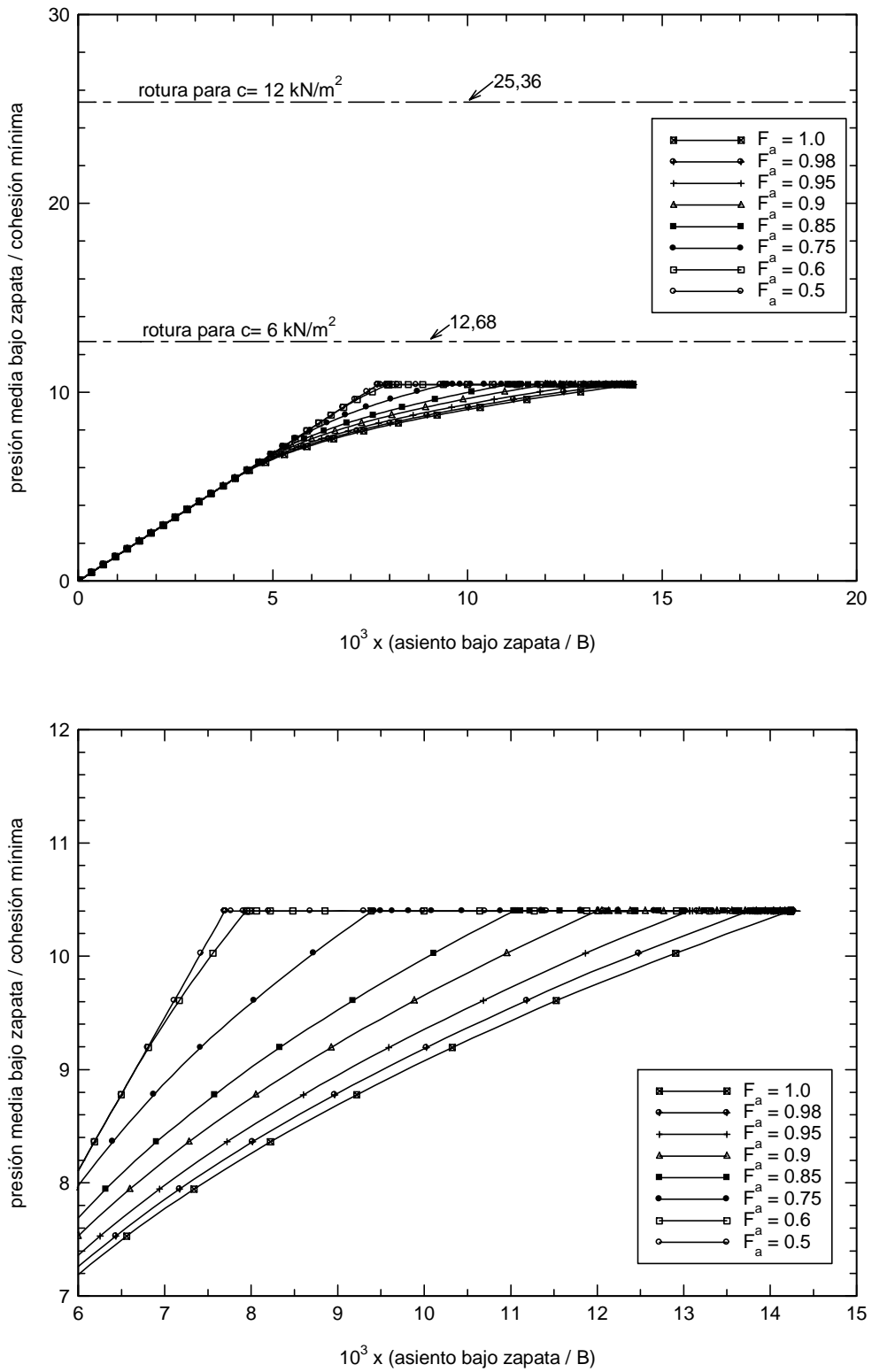


Figura F.3. Resultados de degradación en el caso de una cimentación superficial ($\phi = 15^\circ$)

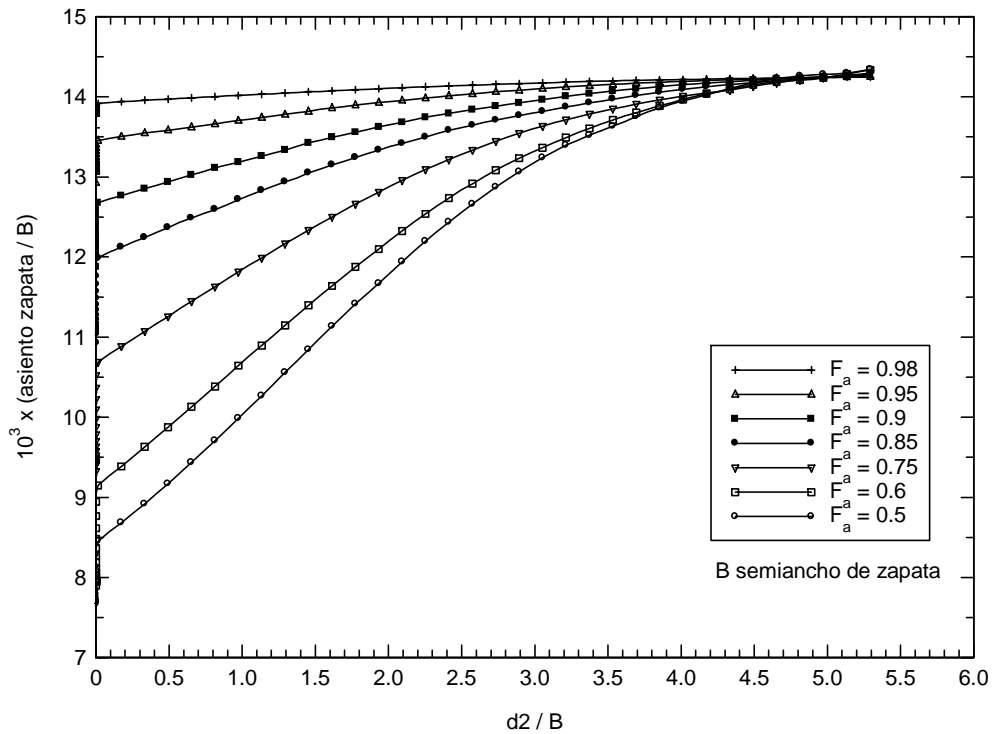
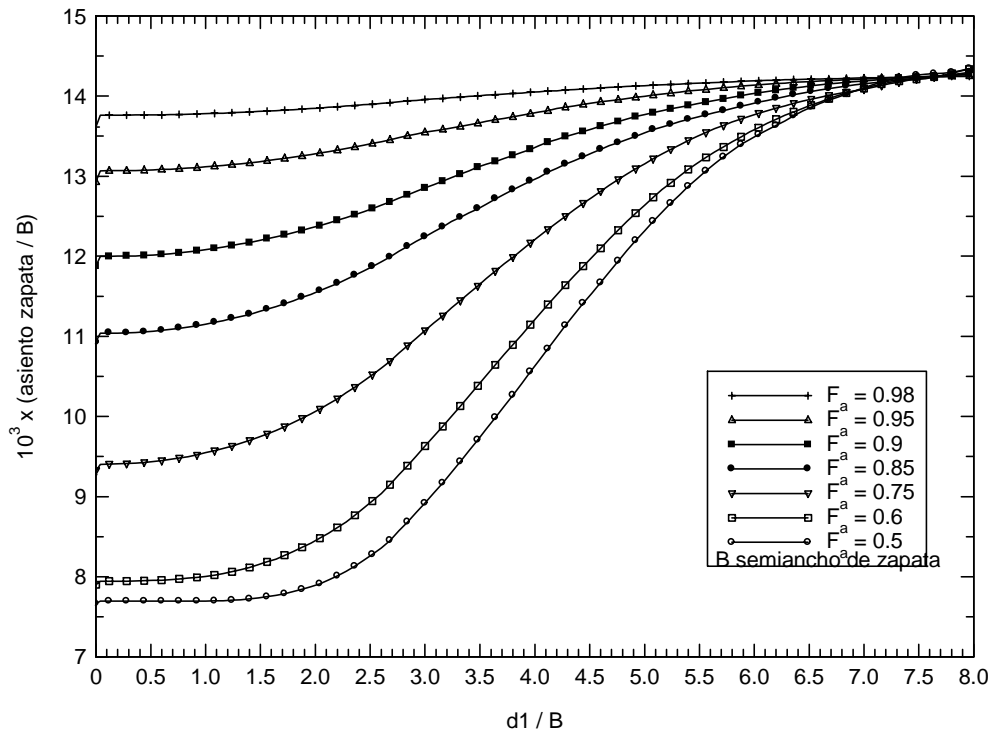


Figura F.4. Relación entre asiento bajo cimentación y frentes de degradación en el caso de una cimentación superficial ($\phi = 15^\circ$)

APÉNDICE G. CÓDIGO DE LAS SUBRUTINAS DESARROLLADAS

G.1. CÓDIGO DE LA SUBROUTINA PARA CÁLCULO DE LA MATRIZ DE RIGIDEZ CON CRITERIO DE PLASTIFICACIÓN DE MATSUOKA-NAKAI GENERALIZADO

```

SUBROUTINE MTYMD (INDEX,PROP,STRES,STATE,D)
!*****
! This subroutine returns the material stiffness matrix
! for a Matsuoka with cohesion material with constant elastic parameters
! using a plastic potential to derive plastic strain increments.
!
! If STATE(1) = Y = 0 then the elastic stiffness matrix is
! returned.
! If STATE(1) = Y = 1 then the elastic-plastic stiffness matrix is
! returned.
!
! CREATED BY A. DA COSTA 9/02/2002
!*****
use utils
use maxdim
use values
implicit none
INTEGER :: Y,INDEX(MINFO)
INTEGER :: I, J, K1
real(kind=dp) :: ACC3
real(kind=dp) :: STRES(MSTR), PROP(MPROP), D(MSTR,MSTR)
real(kind=dp) :: G, PHI, PSI, K, STATE(MAXSTA), C
real(kind=dp) :: SIGX, SIGY, SIGZ, TAU,V
real(kind=dp) :: I1, I2, I3, ALF, ALG, NU, ETA, ID2
real(kind=dp) :: A11, A22, A33, Q, R, THETA, CS,CS1,CS2,CS3
real(kind=dp) :: DFDI1, DFDI2, DFDI3, DGD11, DGD12, DGD13, DFDID2, DGDID2
real(kind=dp) :: DI1D1, DI1D2, DI1D3, DI1D4, DI2D1, DI2D2
real(kind=dp) :: DI2D3, DI2D4, DI3D1, DI3D2, DI3D3, DI3D4
real(kind=dp) :: DID2D1, DID2D2, DID2D3, DID2D4
real(kind=dp) :: A(5), B(5),W, ATDB, ATD
real(kind=dp) :: ABT(5,5), ABTD(5,5), DABTD(5,5)
PARAMETER (ACC3 = 1D-8)

```



```

REAL (KIND=DP) , PARAMETER :: ACC = 0.0001
D      = 0.0_dp
Y  = STATE(1)
G  = PROP(1)
K  = PROP(2)
PHI = PROP(3)
PSI = PROP(4)
C  = PROP(5)
if (PHI/=0.0) then
  V  = C/DTAN(PHI)
end if
SIGX = STRES(1)
SIGY = STRES(2)
SIGZ = STRES(3)
TAU  = STRES(4)
D(1,1) = K+4D0*G/3D0
D(1,2) = K-2D0*G/3D0
D(1,3) = D(1,2)
D(2,1) = D(1,2)
D(2,2) = D(1,1)
D(2,3) = D(1,2)
D(3,1) = D(1,2)
D(3,2) = D(1,2)
D(3,3) = D(1,1)
D(4,4) = G

! Include jaumann terms if required (2d only at present)
if(INDEX(indxIJAU) == 1)then
  !call status('value of indxIJAU',indxIJAU)
  D(1,5) = TAU
  D(2,5) = -TAU
  D(4,5) = (SIGY - SIGX)/2.0_dp
end if
IF (Y == 1) THEN
  I1 = SIGX + SIGY + SIGZ
  I2 = SIGX*SIGY + SIGX*SIGZ + SIGZ*SIGY - TAU*TAU
  I3 = SIGZ*(SIGX*SIGY - TAU*TAU)
  ID2 = I2-(I1*I1)/3

```

```

NU = DTAN(PHI)
ETA = DTAN(PHI)
ALF = 9.0 + 8.0*NU**2
ALG = 9.0 + 8.0*ETA**2
IF (ETA == 0.0) THEN
  DGD11 = 2.0*I1
  DGD12 = -3.0
  DGD13 = 0.0
  DGD12 = 0.0
ELSE
  IF (ETA == NU) THEN
    CS = C
  ELSE
    IF (((SIGX-V)<ACC).AND.((SIGY-V)<ACC).AND.((SIGZ-
V)<ACC).AND.((TAU)<ACC)) THEN
      CS = ETA*V
    ELSE

      A11 = -ETA*I1
      A22 = 3*ID2/4+ETA*ETA*I2
      A33 = -ETA*(9*I3-I1*I2)/8-ETA*ETA*ETA*I3
      Q = (3.0*A22 - A11**2)/9.0
      R = (9.0*A11*A22 - 27.0*A33 - 2.0*A11**3)/54.0
      IF (Q < 0.0) THEN
        IF(DABS(R/DSQRT(-Q*Q*Q))>1.0)THEN
          call status('solving cubic ec.,error',0)
          WRITE(chanCAL,(' ROUTINE MTYMD - ATTEMPT TO", " INVERT
COSINE OUT OF RANGE"))
          WRITE(chanCAL,(' ARGUMENT=",G20.10'))(R/DSQRT(-Q*Q*Q))
          !PROP(5)=REAL(Y)
          !PROP(6)=REAL(INDEX(1))
          CALL ERRORS(STRES,STRES,PROP,D(1,1))
          STOP
        END IF
        THETA = DACOS(R/DSQRT(-Q*Q*Q))/3.0
        CS1 = 2.0*DSQRT(-Q)*DCOS(THETA)- A11/3.0
        CS2 = 2.0*DSQRT(-Q)*DCOS(THETA + PI*2.0/3.0)- A11/3.0
        CS3 = 2.0*DSQRT(-Q)*DCOS(THETA + PI*4.0/3.0)- A11/3.0
        CS=MAX(CS1,CS2,CS3)

```

```

      IF (CS < 0.0) THEN
      WRITE(chanCAL,('Error-Selecting root at MTYMD'))
      DO I=1,4
          WRITE(chanCAL,('PROP(",I1,")=',G15.8))PROP(I)
      enddo
      DO I=1,4
          WRITE(chanCAL,(' STRES(",I1,") = ',G15.8))I,I)
      enddo
      CALL ERSTOP
      END IF

      ELSE
      WRITE(chanCAL,(' Error in Q at MTYMD '))
      CALL ERSTOP
      END IF

      END IF

      DGD11 = -ETA*I2+8*CS*CS*ETA
      DGD12 = -ETA*I1-8*CS*ETA*ETA
      DGD13 = 9*ETA+8*ETA*ETA*ETA
      DGDID2 = -6*CS

      END IF

      DFD11 = -NU*I2+8*NU*C*C
      DFD12 = -NU*I1-8*C*NU*NU
      DFD13 = ALF*NU
      DFDID2 = -6*C

      DI1D1 = 1.0
      DI1D2 = 1.0
      DI1D3 = 1.0
      DI1D4 = 0.0

      DI2D1 = SIGY + SIGZ
      DI2D2 = SIGX + SIGZ
      DI2D3 = SIGY + SIGX
      DI2D4 = -2.0 *TAU

      DI3D1 = SIGY*SIGZ
      DI3D2 = SIGX*SIGZ
      DI3D3 = SIGY*SIGX - TAU*TAU
      DI3D4 = -2.0*SIGZ*TAU

      DID2D1 = SIGY+SIGZ-2*I1/3
      DID2D2 = SIGX+SIGZ-2*I1/3

```

```

DID2D3 = SIGX+SIGY-2*I1/3
DID2D4 = -2*TAU
A(1) = DFDI1*DI1D1 + DFDI2*DI2D1 + DFDI3*DI3D1 + DFDID2*DID2D1
A(2) = DFDI1*DI1D2 + DFDI2*DI2D2 + DFDI3*DI3D2 + DFDID2*DID2D2
A(3) = DFDI1*DI1D3 + DFDI2*DI2D3 + DFDI3*DI3D3 + DFDID2*DID2D3
A(4) = DFDI1*DI1D4 + DFDI2*DI2D4 + DFDI3*DI3D4 + DFDID2*DID2D4
A(5) = 0.0
B(1) = DGDI1*DI1D1 + DGDI2*DI2D1 + DGDI3*DI3D1 + DGDID2*DID2D1
B(2) = DGDI1*DI1D2 + DGDI2*DI2D2 + DGDI3*DI3D2 + DGDID2*DID2D2
B(3) = DGDI1*DI1D3 + DGDI2*DI2D3 + DGDI3*DI3D3 + DGDID2*DID2D3
B(4) = DGDI1*DI1D4 + DGDI2*DI2D4 + DGDI3*DI3D4 + DGDID2*DID2D4
B(5) = 0.0
DO I=1, 5
  DO J=1, 5
    ABT(I,J) = B(I)*A(J)
  enddo
enddo
ATDB = 0.0
DO I=1, 5
  ATD = 0.0
  DO J=1, 5
    ATD = ATD + A(J)*D(J,I)
  enddo
  ATDB = ATDB + ATD*B(I)
enddo
DO I=1, 5
  DO J=1, 5
    W = 0.0
    DO K1=1, 5
      W = W + ABT(I,K1)*D(K1,J)
    enddo
    ABTD(I,J) = W
  enddo
enddo
DO I=1, 5
  DO J=1, 5
    W = 0.0
    DO K1=1, 5

```

```
      W = W + D(I,K1)*ABTD(K1,J)
    enddo
    DABTD(I,J) = W
  enddo
enddo
IF (ABS(ATDB) > ACC3) THEN
  DO I=1, 5
    DO J=1, 5
      D(I,J) = D(I,J) - DABTD(I,J)/ATDB
    enddo
  enddo
END IF
END IF

END subroutine mtymd
```

G.2. CÓDIGO DE LAS SUBRUTINAS RELACIONADAS CON LA DEGRADACIÓN DEL TERRENO

```

subroutine DEGRADATION (JREG, JSTEP, TNSTEP)
!*****
! This subroutine calculates the forces due to the degradation
! JREG: current stage
! JSTEP: current step
! TNSTEP: total number of steps in this stage
! FINT contains the forces due to degradation
!
! Created by A. da Costa 18/09/02
!*****

use utils
use maxdim
use values
use var_alloc
use var_restart
implicit none
integer :: IELE,JREG, JSTEP, TNSTEP, INOD, NENOD, IDIM, NDIM, IGAU,
NGAU,NDOFN,err,ELFAM
integer :: NEREC,IB,NANDR,IDOFGDOF, IFAIL,NUMSTEP, IOUT,ERROR
,ERR2,ERR1,material,ex ,i,j
real(kind=dp) :: Fa, Fb, CI, AF , z
real(kind=dp), dimension(2) ::P1,P2,P3, P4, P5, P6,a1,a2, G
real(kind=dp), dimension(3) ::Q1, Q2, Q3
real(kind=dp), dimension(2) ::GP1, GP2, GP3, GP4, GP5, GP6
real(kind=dp), dimension(MEDIM,MENOD) :: OCOORD
real(kind=dp), dimension(MDIM,MAXGAU) :: GCORD
real(kind=dp), dimension(MDIM,MENOD) :: ECOORD
real(kind=dp), dimension(MAXSTA) :: STATE
real(kind=dp) :: GP1GP2, GP2GP4, GP4GP3, GP3GP1, GP3GP4, GP4GP6, GP6GP5, GP5GP3,
GP6GP3
real(kind=dp) :: MGPI1, MGP2, MGP3, MGP4, MGP5, MGP6,L, T,TANALFA,Fj,Fi,P1P5,INCC,FUN
real(kind=dp) :: A12, A24, A43, A31, A34, A46, A65, A53, A63, ANG1, ANG2, ANG3, A, B, C, F1, F2

```

```

real(kind=dp), parameter :: ACC = 0.00001_dp
real(kind=dp), allocatable, dimension(:,:) :: F
logical, allocatable, dimension(:) :: PRESENT
logical :: check_tie
call status('Entering degradation', 0)

allocate(F(MAXTYP,MAXEL), PRESENT(MAXEL), stat = err)

P1(1) = DEGRAD(JREG,2)
P1(2) = DEGRAD(JREG,3)
P2(1) = DEGRAD(JREG,4)
P2(2) = DEGRAD(JREG,5)
a1(1) = DEGRAD(JREG,6)
a1(2) = DEGRAD(JREG,7)
a2(1) = DEGRAD(JREG,8)
a2(2) = DEGRAD(JREG,9)
Fa = DEGRAD(JREG,10)
Fb = DEGRAD(JREG,11)
CI = DEGRAD(JREG,12)
AF = DEGRAD(JREG,13)

!Calculaion of points P3, P4, P5 and P6 to define the front advance and the regions
if (JSTEP == 1) then
  P3 = P1
  P4 = P2
  P5 = P1
  P6 = P2
end if
TANALFA = (Fb-Fa)/AF
Fj = Fa
Fi = Fb
l = 1.0_dp/REAL(TNSTEP)
P1P5 = DSQRT((P1(1)-P5(1))*(P1(1)-P5(1))+(P1(2)-P5(2))*(P1(2)-P5(2)))
if (P1P5<AF) then
  Fj=Fb-P1P5*TANALFA
else !points P3 and P4 moving
  P3(1) = P3(1)+a1(1)*L
  P3(2) = P3(2)+a1(2)*L

```

```

P4(1) = P4(1)+a2(1)*L
P4(2) = P4(2)+a2(2)*L
end if
P5(1) = P5(1)+a1(1)*L
P5(2) = P5(2)+a1(2)*L
P6(1) = P6(1)+a2(1)*L
P6(2) = P6(2)+a2(2)*L

do IELE=1, NELE
!Check if the element has been excavated
ex = 0
do i=2, (MEXCAV+1)
do j=1, (JREG-1) !until stage before current
if (IELE == EXCAV(i,j)) then
ex=1
end if
end do
end do
if(ex==1) then
!for excavated elements do nothing
continue
else
!Calculation of OCOORD containing the original coordinates of the nodes of the current element
NDIM = GINDEX(indxNDIM,IELE)
NENOD = GINDEX(indxNENOD,IELE)
do INOD=1, NENOD !for all nodes of the element
do IDIM=1, NDIM !for all dimensions
if (GINDEX(indxICOORDUP,1) == 1) then !case updating coordenates
OCOORD(IDIM,INOD) = NODES(IELEM(INOD,IELE),IDIM)-
DELTA(NMAP(IELEM(INOD,IELE),IDIM+1))
else !case no updating coordenates
OCOORD(IDIM,INOD) = NODES(IELEM(INOD,IELE),IDIM)
end if
end do
end do
!Calculation of gauss points coordenates
call GCOR (GINDEX(1,IELE), OCOORD, GCORD)
NGAU = GINDEX(indxNGAU,IELE)

```



```

do IGAU=1, NGAU
  call check_material (GINDEX(1,IELE),material)
  if (material==1) then
    !material mat_ELAS_FRIC_COH_MATS
    G(1) = GCORD(1,IGAU)
    G(2) = GCORD(2,IGAU)
    !Vectors calculaion
    GP1(1) = P1(1)-G(1)
    GP1(2) = P1(2)-G(2)
    GP2(1) = P2(1)-G(1)
    GP2(2) = P2(2)-G(2)
    GP3(1) = P3(1)-G(1)
    GP3(2) = P3(2)-G(2)
    GP4(1) = P4(1)-G(1)
    GP4(2) = P4(2)-G(2)
    GP5(1) = P5(1)-G(1)
    GP5(2) = P5(2)-G(2)
    GP6(1) = P6(1)-G(1)
    GP6(2) = P6(2)-G(2)

    !Calculation of escalar products
    GP1GP2 = GP1(1)*GP2(1)+GP1(2)*GP2(2)
    GP2GP4 = GP2(1)*GP4(1)+GP2(2)*GP4(2)
    GP4GP3 = GP4(1)*GP3(1)+GP4(2)*GP3(2)
    GP3GP1 = GP3(1)*GP1(1)+GP3(2)*GP1(2)
    GP3GP4 = GP3(1)*GP4(1)+GP3(2)*GP4(2)
    GP4GP6 = GP4(1)*GP6(1)+GP4(2)*GP6(2)
    GP6GP5 = GP6(1)*GP5(1)+GP6(2)*GP5(2)
    GP5GP3 = GP5(1)*GP3(1)+GP5(2)*GP3(2)
    GP6GP3 = GP6(1)*GP3(1)+GP6(2)*GP3(2)

    !Calculation of modulus
    MGP1 = DSQRT(GP1(1)*GP1(1)+GP1(2)*GP1(2))
    MGP2 = DSQRT(GP2(1)*GP2(1)+GP2(2)*GP2(2))
    MGP3 = DSQRT(GP3(1)*GP3(1)+GP3(2)*GP3(2))
    MGP4 = DSQRT(GP4(1)*GP4(1)+GP4(2)*GP4(2))
    MGP5 = DSQRT(GP5(1)*GP5(1)+GP5(2)*GP5(2))
    MGP6 = DSQRT(GP6(1)*GP6(1)+GP6(2)*GP6(2))

```

```

!Calculation of angles
if ((P1(1) == P2(1)).and.(P1(2) == P2(2))) then
  A12 = 0.0_dp
else
  z= GP1GP2/(MGP1*MGP2)
  if ((z>1.0_dp).or.(z<-1.0_dp)) then
    call status ('element number',IELE)
  end if
  if ((1.0_dp<z).and.(z<1.00005_dp)) then
    z=1.0_dp
  end if
  if ((-1.00005_dp<z).and.(z<-1.0_dp)) then
    z=-1.0_dp
  end if
  A12 = DACOS(z)
end if
if ((P2(1) == P4(1)).and.(P2(2) == P4(2))) then
  A24 = 0.0_dp
else
  z= GP2GP4/(MGP2*MGP4)
  if ((z>1.0_dp).or.(z<-1.0_dp)) then
    call status ('element number',IELE)
  end if
  if ((1.0_dp<z).and.(z<1.00005_dp)) then
    z=1.0_dp
  end if
  if ((-1.00005_dp<z).and.(z<-1.0_dp)) then
    z=-1.0_dp
  end if
  A24 = DACOS(z)
end if
if ((P4(1) == P3(1)).and.(P4(2) == P3(2))) then
  A43 = 0.0_dp
else
  z= GP4GP3/(MGP4*MGP3)
  if ((z>1.0_dp).or.(z<-1.0_dp)) then
    call status ('element number',IELE)

```

```

        end if
        if ((1.0_dp < z).and.(z < 1.00005_dp)) then
            z = 1.0_dp
        end if
        if ((-1.00005_dp < z).and.(z < -1.0_dp)) then
            z = -1.0_dp
        end if
        A43 = DACOS(z)
    end if
    if ((P3(1) == P1(1)).and.(P3(2) == P1(2))) then
        A31 = 0.0_dp
    else
        z = GP3GP1/(MGP3*MGP1)
        if ((z > 1.0_dp).or.(z < -1.0_dp)) then
            call status ('element number', IELE)
        end if
        if ((1.0_dp < z).and.(z < 1.00005_dp)) then
            z = 1.0_dp
        end if
        if ((-1.00005_dp < z).and.(z < -1.0_dp)) then
            z = -1.0_dp
        end if
        A31 = DACOS(z)
    end if
    if ((P3(1) == P4(1)).and.(P3(2) == P4(2))) then
        A34 = 0.0_dp
    else
        z = GP3GP4/(MGP3*MGP4)
        if ((z > 1.0_dp).or.(z < -1.0_dp)) then
            call status ('element number', IELE)
        end if
        if ((1.0_dp < z).and.(z < 1.00005_dp)) then
            z = 1.0_dp
        end if
        if ((-1.00005_dp < z).and.(z < -1.0_dp)) then
            z = -1.0_dp
        end if
        A34 = DACOS(z)
    end if

```

```

end if
if((P4(1) == P6(1)).and.(P4(2) == P6(2))) then
  A46 = 0.0_dp
else
  z= GP4GP6/(MGP4*MGP6)
  if ((z>1.0_dp).or.(z<-1.0_dp)) then
    call status ('element number',IELE)
  end if
  if ((1.0_dp<z).and.(z<1.00005_dp)) then
    z=1.0_dp
  end if
  if ((-1.00005_dp<z).and.(z<-1.0_dp)) then
    z=-1.0_dp
  end if
  A46 = DACOS(z)
end if
if ((P6(1) == P5(1)).and.(P6(2) == P5(2))) then
  A65 = 0.0_dp
else
  z= GP6GP5/(MGP6*MGP5)
  if ((z>1.0_dp).or.(z<-1.0_dp)) then
    call status ('element number',IELE)
  end if
  if ((1.0_dp<z).and.(z<1.00005_dp)) then
    z=1.0_dp
  end if
  if ((-1.00005_dp<z).and.(z<-1.0_dp)) then
    z=-1.0_dp
  end if
  A65 = DACOS(z)
end if
if ((P5(1) == P3(1)).and.(P5(2) == P3(2))) then
  A53 = 0.0_dp
else
  z= GP5GP3/(MGP5*MGP3)
  if ((z>1.0_dp).or.(z<-1.0_dp)) then
    call status ('element number',IELE)
  end if

```

```

        if ((1.0_dp < z).and.(z < 1.00005_dp)) then
            z = 1.0_dp
        end if
        if ((-1.00005_dp < z).and.(z < -1.0_dp)) then
            z = -1.0_dp
        end if
        A53 = DACOS(z)
    end if

!Check in wich zone is the gauss point
ANG1 = (A12+A24+A43+A31)/RAD
ANG2 = (A34+A46+A65+A53)/RAD
if (DABS(360.0_dp-ANG1) < ACC) then
    !Gauss point inside zone 1 so F2 equals to Fj
    F2 = Fj
    GPROP(6,IGAU,IELE) = GPROP(7,IGAU,IELE)
    GPROP(7,IGAU,IELE) = F2
    GPROP(5,IGAU,IELE) = CI*F2
    !If the point goes out of the new yield surface, then change ISTATE
    call YOUT(GINDEX(1,IELE),GSTRES(1,IGAU,IELE),GPROP(1,IGAU,IELE),IOUT)
    GSTATE(1,IGAU,IELE) = IOUT
else if (DABS(360.0_dp-ANG2) < ACC) then

!Gauss point inside zone 2 so F2 between Fa and Fb, interpolation necessary
GPROP(6,IGAU,IELE) = GPROP(7,IGAU,IELE)
!Check inside which triangle is the gauus point
if ((P6(1) == P3(1)).and.(P6(2) == P3(2))) then
    A63 = 0.0_dp
else
    z = GP6GP3/(MGP6*MGP3)
    if ((z > 1.0_dp).or.(z < -1.0_dp)) then
        call status ('element number',IELE)
    end if
    if ((1.0_dp < z).and.(z < 1.00005_dp)) then
        z = 1.0_dp
    end if
    if ((-1.00005_dp < z).and.(z < -1.0_dp)) then
        z = -1.0_dp
    end if
end if

```

```

        end if
            A63 = DACOS(z)
        end if
    ANG3 = (A34+A46+A63)/RAD
    if (DABS(360.0_dp-ANG3)<ACC) then
        !Gauss point inside triangle 1
        !Interpolation between P3, P4, P6
        Q1(1) = P3(1)
        Q1(2) = P3(2)
        Q1(3) = Fj
        Q2(1) = P4(1)
        Q2(2) = P4(2)
        Q2(3) = Fj
        Q3(1) = P6(1)
        Q3(2) = P6(2)
        Q3(3) = Fi
    else
        !Gauss point inside triangle 2
        !Interpolation between P3, P6, P5
        Q1(1) = P3(1)
        Q1(2) = P3(2)
        Q1(3) = Fj
        Q2(1) = P5(1)
        Q2(2) = P5(2)
        Q2(3) = Fi
        Q3(1) = P6(1)
        Q3(2) = P6(2)
        Q3(3) = Fi
    end if
    !Interpolation
    A = ((Q2(2)-Q1(2))*(Q3(3)-Q1(3))-(Q2(3)-Q1(3))*(Q3(2)-Q1(2)))
    B = ((Q2(3)-Q1(3))*(Q3(1)-Q1(1))-(Q2(1)-Q1(1))*(Q3(3)-Q1(3)))
    C = ((Q2(1)-Q1(1))*(Q3(2)-Q1(2))-(Q2(2)-Q1(2))*(Q3(1)-Q1(1)))
    F2 = (A*(Q1(1)-G(1))+B*(Q1(2)-G(2)))/C+Q1(3)
    GPROP(7,IGAU,IELE) = F2
    GPROP(5,IGAU,IELE) = CI*F2
        !If the point goes out of the new yield surface, then change ISTATE
        call YOUT(GINDEX(1,IELE),GSTRES(1,IGAU,IELE),GPROP(1,IGAU,IELE),IOUT)

```

```

        GSTATE(1,IGAU,IELE) = IOUT
    end if
    call YOUT (GINDEX(1,IELE), GSTRES(1,IGAU,IELE), GPROP(1,IGAU,IELE), IOUT)
        if ((GPROP(6,IGAU,IELE) /= GPROP(7,IGAU,IELE)).and.(IOUT == 1)) then !add the
increment of stresses due to degrad
!degradation at this gauss point

!Calculation of the equivalent forces
        INCC = (GPROP(7,IGAU,IELE)-GPROP(6,IGAU,IELE))*CI
    T = 0.0_dp
    NUMSTEP = 100
        call STRESDEGRA (GINDEX(1,IELE), INCC, GPROP(1,IGAU,IELE), T,
GSTATE(1,IGAU,IELE), TOL, &
        & GSTRES(1,IGAU,IELE), IFAIL)
    if (IFAIL == 1) then

        call FIXSTRESDEGRA (GINDEX(1,IELE), INCC, GPROP(1,IGAU,IELE), T,
GSTATE(1,IGAU,IELE), NUMSTEP, &
        & GSTRES(1,IGAU,IELE), IFAIL)
    end if
        call MATCHKM2(GSTRES(1,IGAU,IELE),GPROP(1,IGAU,IELE),ERROR)
    if(ERROR == 1)then
!
! ONE OR MORE PRINCIPAL STRESSES HAVE BECOME TOO POSITIVE, update the stresses
to the vertex
!
        call ORIGSTRS (GSTRES(1,IGAU,IELE),GPROP(1,IGAU,IELE))
    end if
        call YFUNM(GSTRES(1,IGAU,IELE),GPROP(1,IGAU,IELE),FUN)
    call MATCHKM1(GSTRES(1,IGAU,IELE),GPROP(1,IGAU,IELE),ERR1)
        if( (DABS(FUN) >ACC).or.(ERR1==1) )then
! Unacceptable output stresses from stresdegra/fixstresdegra
! correct stresses to the yield surface
        call CORRECTMC
(GINDEX(1,IELE),GPROP(1,IGAU,IELE),GSTRES(1,IGAU,IELE),GSTRES(1,IGAU,IELE))
        call YFUNM(GSTRES(1,IGAU,IELE),GPROP(1,IGAU,IELE),FUN)
        if( DABS(FUN) >ACC )then
            call status('Subroutine CORRECTMC2: ERROR IN CORRECTED STRESSES',0)

```

```

    call ERTEXT('Subroutine CORRECTMC2: ERROR IN CORRECTED STRESSES')
    call ERTEXT('ERROR FUN:')
    call ERREAL(FUN)
    call ERSTOP
end if

call MATCHKM2(GSTRES(1,IGAU,IELE),GPROP(1,IGAU,IELE),ERR2)
if(ERR2 ==1)then
    call status('Subroutine CORRECTMC2.(b) Error in corrected stresses, down the vertex',0)
    call ERTEXT('Subroutine CORRECTMC2: UNACCEPTABLE STRESSES')
    call ERSTOP
end if
    end if
end if
    end if
end do !gauss point
!Calculation of the forces equivalents to the increment of stresses
call ELCOD (IELEM(1,IELE), GINDEX(1,IELE), NODES, ECOORD)
call check_alloc(err)
call FORCE (GINDEX(1,IELE), ECOORD, GSTRES(1,1,IELE), F(1,IELE), IELEM(1,IELE), &
    & NODES, RT)
end if
end do !elements
FINT = 0.0_dp
do IELE = 1,NELE
    PRESENT(ABS(LISTEL(IELE))) = (LISTEL(IELE) > 0)
end do
collect_forces: do IELE = 1, NELE
    if(PRESENT(IELE))then
        NENOD = GINDEX(indxNENOD,IELE)
        NDOFN = GINDEX(indxNDOFN,IELE)
        ELFAM = GINDEX(indxELFAM,IELE)
        NEREC = GINDEX(indxNEREC,IELE)
        IB = 0
        if (check_tie(ELFAM)) then
            NANDR = NENOD + NEREC
        else
            NANDR = NENOD

```



```
end if
do INOD = 1,NANDR
  if (check_tie(ELFAM)) then
    NDOFN = NMAP(IELEM(INOD,IELE),1)
  end if
  do IDOF = 1, NDOFN
    GDOF = NMAP(IELEM(INOD, IELE), IDOF + 1)
    FINT(GDOF) = FINT(GDOF) + F(IB + IDOF, IELE)
  end do
  IB = IB + NDOFN
end do
end if
end do collect_forces
deallocate(F, PRESENT, stat = err)
call check_dealloc(err)
call status('Leaving degradation',0)
return
end subroutine DEGRADATION
```

```

subroutine STRESDEGRA(INDEX, INCC, PROP, T, STATE, TOL, SIG, IFAIL)
!*****
!   This subroutine updates the stresses SIG due to the variation of cohesion
!   because degradation. T is the time corresponding to the start
!   of the calculation.
!   SIG contains the stresses at time T on entry to the subroutine
!   and contains the stresses at time 1 on exit.
!   If the number of iterations exceeds a set limit( MAXCNT )
!   Then the subroutine returns to the driving program with
!   the original stresses and time. In this case IFAIL is 1
!   on exit, otherwise IFAIL is 0.
!
!   Created by A. da Costa  18/09/02
!*****

use utils
use maxdim
use values
implicit none
integer :: I, EXIT, COUNT1, IFAIL,K,NSTR
integer, parameter :: MAXCNT = 300
integer, dimension(MINFO) :: INDEX
real(kind=dp), dimension(MSTR) :: SIG, DS, DS1, DS2, STRS
real(kind=dp), dimension(MSTR) :: DS3, DS4, DS5, DS6, RES, DSIG, SIG0
real(kind=dp), dimension(MAXSTA) :: STATE
real(kind=dp), dimension(MPROP) :: PROP
real(kind=dp) :: TOL,DEN,NUM, T, T0, DT, RATIO, Q,INCC, CP,CC
real(kind=dp), parameter :: LIMACC = 1.0e-10_dp

NSTR = INDEX(indxNSTR)
IFAIL = 0
T0 = T
DS = 0.0_dp
SIG0(1:NSTR) = SIG(1:NSTR)
if (T < 0.0_dp .or. T > 1.0_dp) then
  call status_real(' Subroutine STRESDEGRA: T out of bounds',T)
  call erstop
end if

```

```

! SET UP INITIAL INCREMENT SIZE
DT = 1.0_dp - T
CP = INCC * DT
if ((T + DT) > 1.0_dp) then
  DT = 1.0_dp - T
  EXIT = 1
else
  EXIT = 0
end if
COUNT1 = 0
CC = PROP(5)*PROP(6)/PROP(7) !cohesion at the start of the integration
mainloop : do
  COUNT1 = COUNT1 + 1
  if (COUNT1 > MAXCNT) then
    IFAIL = 1
    SIG(1:NSTR) = SIG0(1:NSTR)
    T = T0
    exit mainloop
  end if
! 4TH ORDER RUNGE-KUTTA INTEGRATION SCHEME WITH ERROR CORRECTION
CP = INCC * DT
  CC = CC + CP/2.0_dp !current cohesion
  DS(1:NSTR) = SIG(1:NSTR)
  call STRSDEGRACAL (INDEX, PROP, CC, DS, STRS)
  DO K=1,5
    DS1(K) = STRS (K)*CP
  END DO
  DS(1:NSTR) = SIG(1:NSTR) + DS1(1:NSTR) * 0.5_dp
  call STRSDEGRACAL (INDEX, PROP, CC, DS, STRS)
  DO K=1,5
    DS2(K) = STRS (K)*CP
  END DO
  DS(1:NSTR) = SIG(1:NSTR) + (DS1(1:NSTR) + DS2(1:NSTR)) * 0.25_dp
  call STRSDEGRACAL (INDEX, PROP, CC, DS, STRS)
  DO K=1,5
    DS3(K) = STRS (K)*CP
  END DO
  DS(1:NSTR) = SIG(1:NSTR) + DS3(1:NSTR) * 2.0_dp - DS2(1:NSTR)

```

```

call STRSDEGRACAL (INDEX, PROP, CC, DS, STRS)
DO K=1,5
  DS4(K) = STRS (K)*CP
END DO
do I = 1,NSTR
  DS(I) = SIG(I)+(7.0_dp*DS1(I)+10.0_dp*DS2(I)+DS4(I))/27.0_dp
end do
call STRSDEGRACAL (INDEX, PROP, CC, DS, STRS)
DO K=1,5
  DS5(K) = STRS (K)*CP
END DO
do I = 1,NSTR
  DS(I) = DS1(I)*28.0_dp-DS2(I)*125.0_dp+DS3(I)*546.0_dp
  DS(I) = SIG(I)+(DS(I)+DS4(I)*54.0_dp-DS5(I)*378.0_dp)/625.0_dp
end do
call STRSDEGRACAL (INDEX, PROP, CC, DS, STRS)
DO K=1,5
  DS6(K) = STRS (K)*CP
END DO
do I = 1,NSTR
  DSIG(I) = (DS1(I)+4.0_dp*DS3(I)+DS4(I))/6.0_dp
end do
do I = 1,NSTR
  RES(I) = -42.0_dp*DS1(I)-224.0_dp*DS3(I)-21.0_dp*DS4(I)+162.0_dp*DS5(I)
  RES(I) = (RES(I)+125.0_dp*DS6(I))/336.0_dp
end do
NUM = 0
DEN = 0
do I = 1,NSTR
  NUM = NUM + RES(I) * RES(I)
  DEN = DEN + DSIG(I) * DSIG(I)
end do
if (SQRT(DEN) == 0.0_dp) then
  RATIO = TOL * 0.8_dp / 1.4_dp
else
  RATIO = SQRT(NUM) / SQRT(DEN)
end if
if (RATIO <= TOL) then

```

```
T = T + DT
SIG(1:NSTR) = SIG(1:NSTR) + DSIG(1:NSTR)
if (EXIT == 1) then
  exit mainloop
end if
if (ABS(RATIO) < LIMACC) then
  Q = 5.0_dp
else
  Q = 0.8_dp * TOL / RATIO
  if (Q > 1.4_dp) then
    Q = 1.4_dp
  end if
  if (Q < 1.0_dp) then
    Q = 1.0_dp
  end if
end if
else
  Q = 0.8_dp * TOL / RATIO
  if (Q < 0.1_dp) then
    Q = 0.1_dp
  end if
end if
DT = DT * Q
if ((T + DT) > 1.0_dp) then
  DT = 1.0_dp - T
  EXIT = 1
else
  EXIT = 0
end if
end do mainloop
end subroutine STRESDEGRA
```

```

subroutine FIXSTRESDEGRA (INDEX, INCC, PROP, T, STATE, NUMSTEP, SIG, IFAIL)
!*****
! Update the stresses SIG due to the variation of cohesion
! because degradation.
! This subroutine is based on a Fifth order Runge-Kutta approach with fixed
! time steps.
! T is the time corresponding to the start of the calculation.
! SIG contains the stresses at time T on entry to the
! subroutine and contains the stresses at time 1 on exit.
!
! Created by A. da Costa 19/09/02
!*****
  use utils
  use maxdim
  use values
  implicit none

  integer :: K, INDEX(MINFO),NSTR
  integer :: IFAIL,ISTEP,NUMSTEP
  real(kind=dp) :: CP,SIG(MSTR),T,INCC,CC
  real(kind=dp) :: PROP(MPROP)
  real(kind=dp) :: DS(MSTR), DS1(MSTR), DS2(MSTR), DS3(MSTR), STRS(MSTR)
  real(kind=dp) :: DS4(MSTR), DS5(MSTR), DS6(MSTR)
  real(kind=dp) :: DT, DSIG(MSTR), STATE(MAXSTA)

  NSTR = INDEX(indxNSTR)

  if (T < 0.0_dp .or. T > 1.0_dp) then
    call status_real('FIXSTRESDEGRA: Value of T out of range: ',T)
    call ERTEXT('FIXSTRESDEGRA: T out of range')
    call ERDBLE(T)
    call ERSTOP
  else if (T == 1.0_dp) then
    return
  end if

  DT = (1.0_dp - T) / REAL(NUMSTEP)
!
! 5TH ORDER RUNGE-KUTTA INTEGRATION SCHEME WITH FIXED TIME STEPS.

```

```

!
CC = PROP(5)*PROP(6)/PROP(7) !cohesion at the start of the integration
CP = DT*INCC
do ISTEP = 1,NUMSTEP
  CC = CC + CP/2      !current cohesion
    DS(1:NSTR) = SIG(1:NSTR)
  call STRSDEGRACAL (INDEX, PROP, CC, DS, STRS)
  DO K=1,5
    DS1(K) = STRS (K)*CP
  END DO
  DS(1:NSTR) = SIG(1:NSTR) + 0.5_dp*DS1(1:NSTR)
  call STRSDEGRACAL (INDEX, PROP,CC, DS, STRS)
  DO K=1,5
    DS2(K) = STRS (K)*CP
  END DO
  DS(1:NSTR) = SIG(1:NSTR) + 0.25_dp*(DS1(1:NSTR) + DS2(1:NSTR))
  call STRSDEGRACAL (INDEX, PROP, CC, DS, STRS)
  DO K=1,5
    DS3(K) = STRS (K)*CP
  END DO
  DS(1:NSTR) = SIG(1:NSTR) - DS2(1:NSTR) + 2.0_dp*DS3(1:NSTR)
  call STRSDEGRACAL (INDEX, PROP, CC, DS, STRS)
  DO K=1,5
    DS4(K) = STRS (K)*CP
  END DO
  DS(1:NSTR) = SIG(1:NSTR) + (7.0_dp*DS1(1:NSTR) + 10.0_dp*DS2(1:NSTR) + &
&          DS4(1:NSTR)) / 27.0_dp
  call STRSDEGRACAL (INDEX, PROP, CC, DS, STRS)
  DO K=1,5
    DS5(K) = STRS (K)*CP
  END DO
  DS(1:NSTR) = SIG(1:NSTR) + (DS1(1:NSTR)*28.0_dp - DS2(1:NSTR)*125.0_dp + &
&          DS3(1:NSTR)*546.0_dp + DS4(1:NSTR)*54.0_dp - &
&          DS5(1:NSTR)*378.0_dp) / 625.0_dp
  call STRSDEGRACAL (INDEX, PROP, CC, DS, STRS)
  DO K=1,5
    DS6(K) = STRS (K)*CP
  END DO

```

```
DSIG(1:NSTR) = (14.0_dp*DS1(1:NSTR) + 35.0_dp*DS4(1:NSTR) +      &
&      162.0_dp*DS5(1:NSTR) + 125.0_dp*DS6(1:NSTR)) / 336.0_dp
SIG(1:NSTR) = SIG(1:NSTR) + DSIG(1:NSTR)
end do
return
end subroutine FIXSTRESDEGRA
```



```

subroutine STRSDEGRACAL (INDEX,PROP,CC,STRES,SIG)
!*****
!   This subroutine calculates the first factor in the equation of
!   stresses increment due to degradation, This factor is a vector
!   STRES contains the stresses at the considered point
!   SIG contains the first factor (vector) in the equation of
!   stresses increment due to degradation
!
!       Created by A. DA COSTA 20/09/02 for soil degradation
!*****
use maxdim
use values
use utils
implicit none
real (kind=dp) :: STRES(MSTR),PROP(MPROP),SIG(MSTR),CC
integer :: INDEX(MINFO) , I, J
real (kind=dp) :: G,K,PHI,PSI,C,SIGX, SIGY, SIGZ, TAU ,z
real (kind=dp) :: CS,CS1,CS2,CS3, NU, ETA, ALF, ALG,I1, I2, I3,ID2
real (kind=dp) :: DFDI1, DFDI2, DFDI3, DGDI1, DGDI2, DGDI3, DFDID2, DGDID2
real (kind=dp) :: DI1D1, DI1D2, DI1D3, DI1D4, DI2D1, DI2D2
real (kind=dp) :: DI2D3, DI2D4, DI3D1, DI3D2, DI3D3, DI3D4
real (kind=dp) :: DID2D1, DID2D2, DID2D3, DID2D4,DFDC
real (kind=dp) :: D(5,5),A(5), B(5), ATDB, ATD, DDG(5),DDG2(5)
real (kind=dp) :: A11, A22, A33, Q, R, THETA

G = PROP(1)
K = PROP(2)
PHI = PROP(3)
PSI = PROP(4)
C = CC

SIGX = STRES(1)
SIGY = STRES(2)
SIGZ = STRES(3)
TAU = STRES(4)

DO I=1,5
  DO J=1,5

```

```

      D(I,J)=0.0_dp
    ENDDO
  ENDDO
!*****
!CALCULATION OF THE ELASTIC STIFFNESS MATRIX
D(1,1) = K+4.0_dp*G/3.0_dp
D(1,2) = K-2.0_dp*G/3.0_dp
D(1,3) = D(1,2)
D(2,1) = D(1,2)
D(2,2) = D(1,1)
D(2,3) = D(1,2)
D(3,1) = D(1,2)
D(3,2) = D(1,2)
D(3,3) = D(1,1)
D(4,4) = G

!Include Jauman terms if required (2D only)
If (INDEX(indxIAU) == 1) then
  D(1,5)=TAU
  D(2,5)=-TAU
  D(4,5)=(SIGY-SIGX)/2.0_dp
end if
!*****
!CALCULATION OF THE INVARIANTS
I1 = SIGX + SIGY + SIGZ
I2 = SIGX*SIGY + SIGX*SIGZ + SIGZ*SIGY - TAU*TAU
I3 = SIGZ*(SIGX*SIGY - TAU*TAU)
ID2 = I2-(I1*I1)/3.0_dp

NU = DTAN(PHI)
ETA = DTAN(PSI)
ALF = 9.0_dp + 8.0_dp*NU**2
ALG = 9.0_dp + 8.0_dp*ETA**2
!*****
!CALCULATION OF DGDI
IF (ETA == 0.0_dp) THEN
  DGDII = 2.0_dp*I1
  DGDII2 = -3.0_dp

```

```

    DGDI3 = 0.0_dp
    DGDID2 = 0.0_dp
ELSE
IF (ETA == NU) THEN
    CS = C
ELSE
    A11 = -ETA*I1
    A22 = 3.0_dp*ID2/4+ETA*ETA*I2
    A33 = -ETA*(9.0_dp *I3-I1*I2)/8.0_dp -ETA*ETA*ETA*I3
    Q = (3.0_dp *A22 - A11**2)/9.0_dp
    R = (9.0_dp *A11*A22 - 27.0_dp *A33 - 2.0_dp *A11**3)/54.0_dp
    IF (Q < 0.0_dp) THEN
    IF(DABS(R/DSQRT(-Q*Q*Q))>1.0_dp)THEN
        WRITE(chanCAL,(' ROUTINE ISTRESS- ATTEMPT TO', " INVERT
COSINE OUT OF RANGE"))
        WRITE(chanCAL,(' ARGUMENT=',G20.10))(R/DSQRT(-Q*Q*Q))
        CALL ERRORS(STRES,STRES,PROP,D(1,1))
        STOP
    END IF
    z= R/DSQRT(-Q*Q*Q)
        if ((z>1.0).or.(z<-1.0)) then
            call status_real ('value costheta ec cubic',z)
        end if
        THETA = DACOS(R/DSQRT(-Q*Q*Q))/3.0_dp
    CS1 = 2.0_dp *DSQRT(-Q)*DCOS(THETA)- A11/3.0_dp
    CS2 = 2.0_dp *DSQRT(-Q)*DCOS(THETA + PI*2.0_dp /3.0_dp)-
A11/3.0_dp
    CS3 = 2.0_dp *DSQRT(-Q)*DCOS(THETA + PI*4.0_dp /3.0_dp)-
A11/3.0_dp
    CS=MAX(CS1,CS2,CS3)
    IF (CS < 0.0_dp) THEN
    WRITE(chanCAL,('Error-Selecting root at ISTRESS'))
    DO I=1,4
        WRITE(chanCAL,('PROP(",I1,")=',G15.8'))PROP(I)
    enddo
    DO I=1,4
        WRITE(chanCAL,(' STRES(",I1,") = ',G15.8'))I,I)
    enddo

```

```

          CALL ERSTOP
        END IF
      ELSE
        WRITE(chanCAL,(' Error in Q at ISTRESS'))
        CALL ERSTOP
      END IF
    END IF
    DGDI1 = -ETA*I2+8.0_dp *CS*CS*ETA
    DGDI2 = -ETA*I1-8.0_dp *CS*ETA*ETA
    DGDI3 = 9.0_dp *ETA+8.0_dp *ETA*ETA*ETA
    DGDID2 = -6.0_dp *CS
  END IF
  !*****
  !CALCULATION OF DFDI
  DFDI1 = -NU*I2+8.0_dp *NU*C*C
  DFDI2 = -NU*I1-8.0_dp *C*NU*NU
  DFDI3 = ALF*NU
  DFDID2 = -6.0_dp *C
  !*****
  !CALCULATION OF DIDSIG
  DI1D1 = 1.0_dp
  DI1D2 = 1.0_dp
  DI1D3 = 1.0_dp
  DI1D4 = 0.0_dp
  DI2D1 = SIGY + SIGZ
  DI2D2 = SIGX + SIGZ
  DI2D3 = SIGY + SIGX
  DI2D4 = -2.0_dp *TAU
  DI3D1 = SIGY*SIGZ
  DI3D2 = SIGX*SIGZ
  DI3D3 = SIGY*SIGX - TAU*TAU
  DI3D4 = -2.0_dp *SIGZ*TAU
  DID2D1 = SIGY+SIGZ-2.0_dp *I1/3.0_dp
  DID2D2 = SIGX+SIGZ-2.0_dp *I1/3.0_dp
  DID2D3 = SIGX+SIGY-2.0_dp *I1/3.0_dp
  DID2D4 = -2.0_dp *TAU
  !*****
  !CALCULATION OF DFDSIG

```

A(1) = DFDI1*DI1D1 + DFDI2*DI2D1 + DFDI3*DI3D1 + DFDID2*DID2D1

A(2) = DFDI1*DI1D2 + DFDI2*DI2D2 + DFDI3*DI3D2 + DFDID2*DID2D2

A(3) = DFDI1*DI1D3 + DFDI2*DI2D3 + DFDI3*DI3D3 + DFDID2*DID2D3

A(4) = DFDI1*DI1D4 + DFDI2*DI2D4 + DFDI3*DI3D4 + DFDID2*DID2D4

A(5) = 0.0_dp

!*****

!CALCULATION OF DGDSIG

B(1) = DGDI1*DI1D1 + DGDI2*DI2D1 + DGDI3*DI3D1 + DGDID2*DID2D1

B(2) = DGDI1*DI1D2 + DGDI2*DI2D2 + DGDI3*DI3D2 + DGDID2*DID2D2

B(3) = DGDI1*DI1D3 + DGDI2*DI2D3 + DGDI3*DI3D3 + DGDID2*DID2D3

B(4) = DGDI1*DI1D4 + DGDI2*DI2D4 + DGDI3*DI3D4 + DGDID2*DID2D4

B(5) = 0.0_dp

!*****

!CALCULATION OF DFDISG*D AND DFDSIG*D*DGDSIG

ATDB = 0.0_dp

DO I=1, 5

ATD = 0.0_dp

DO J=1, 5

ATD = ATD + A(J)*D(J,I)

enddo

ATDB = ATDB + ATD*B(I)

enddo

!*****

!CALCULATION OF D*DGDSIG

DO I=1,5

DDG(I)=0.0_dp

ENDDO

DO I=1,5

DO J=1,5

DDG(I)=DDG(I)+D(I,J)*B(J)

ENDDO

ENDDO

!*****

!CALCULATION OF DFDC

DFDC=-6.0_dp *ID2+8.0_dp *(-3.0_dp *C*C+2.0_dp *C*NU*I1-NU*NU*I2)

DO I=1,5

DDG2(I)=DDG(I)*DFDC

ENDDO

```
!*****  
!  
!CALCULATION OF VECTOR SIG  
DO I=1,5  
  SIG(I) = 0.0_dp  
ENDDO  
DO I=1,5  
  SIG(I) = -DDG2(I)/ATDB  
ENDDO  
END SUBROUTINE STRSDEGRACAL
```

```
subroutine ORIGSTRS (STRES,PROP)
!*****
! This subroutine update the stresses values to the yield funtion vertex
!
! Created by A. DA COSTA 20/09/02 for soil degradation
!*****

use utils
use maxdim
use values
use var_alloc
use var_restart
implicit none
real(kind=dp) :: C,PHI
real(kind=dp), dimension(MSTR) ::STRES
real(kind=dp), dimension(MPROP) ::PROP

C = PROP(5)
PHI = PROP(3)

STRES(1) = C/DTAN(PHI)
STRES(2) = C/DTAN(PHI)
STRES(3) = C/DTAN(PHI)
STRES(4) = 0.0_dp
end subroutine ORIGSTRS
```

```
subroutine check_material (INDEX,material)
!*****
! This subroutine check that the material is possible
! to be degraded
!
! Created by A. DA COSTA 20/09/02 for soil degradation
!*****

use utils
use maxdim
use values
use var_alloc
use var_restart
implicit none

integer :: INDEX(MINFO),MP,material

MP=INDEX(indxMP)
if (MP==matELAS_FRIC_COH_MATS) then
  material=1
else
  material=0
end if
end subroutine
```